

PREDISEÑO DE LA SUPERESTRUCTURA PARA PUENTE PEATONAL EN  
GUADUA, EN EL KILÓMETRO 48+500 DE LA AUTOPISTA BOGOTÁ VILLETA

CRISTHIAN ALEJANDRO MEJÍA LEMUS

UNIVERSIDAD SANTO TOMAS  
FACULTAD DE INGENIERIA CIVIL  
BOGOTÁ D.C.  
OCTUBRE DE 2018

PREDISEÑO DE LA SUPERESTRUCTURA PARA PUENTE PEATONAL EN  
GUADUA, EN EL KILÓMETRO 48+500 DE LA AUTOPISTA BOGOTÁ VILLETA

CRISTHIAN ALEJANDRO MEJÍA LEMUS

Trabajo De Grado Como Requisito Para Optar Al Título profesional De Ingeniero Civil

Director: Jorge Enrique Franco Carbonell  
Ingeniero Civil

Par Académico: Ricardo Correa Uribe  
Ingeniero Civil

Universidad Santo Tomas  
Facultad De Ingeniería Civil  
Bogotá D.C.  
Octubre De 2018

Nota de aceptación:

---

---

---

---

Firma del presidente del jurado

Firma de jurado

Firma de jurado

Bogotá D.C., Octubre de 2018

## Dedicatoria

El presente trabajo está dedicado, principalmente a Dios y a mis padres Aura Yaneth y Luis Eugenio, quienes han estado pendientes de cada paso que doy, siempre acompañado y guiado por ellos, personas con quienes, sin lugar a dudas, podré contar por el resto de mis días.

A mis hermanos Andrés Fernando y Luis Miguel, quienes me han aportado experiencias inolvidables, preservando mi felicidad, armonía y tranquilidad.

También hago una dedicatoria muy especial a mis abuelos paternos Ignacio (Q.E.P.D.) y Flor Alba Mejía, quienes desde los dos meses de edad me acogieron en su hogar para formarme e inculcarme sus principios, a quienes no me alcanzará la vida para agradecerles, lo que hicieron y hacen por mí.

A mis tíos, tías, primos y demás familiares.

*Cristhian Alejandro Mejía Lemus*

## **Agradecimientos**

Inicialmente agradezco al Ingeniero Jorge Enrique Franco Carbonell, el cual desde las aulas de clase y laboratorios, me ha enseñado las facultades y las bondades del bambú o guadua. Material por el cual se rige este trabajo, y también me ha motivado a seguir trabajando e investigando con este material en un futuro.

Al ingeniero Ricardo Correa Uribe, quien, muy atentamente se prestó para controlar y hacer claras sus posiciones en cuanto a este proyecto, y compartir sus conocimientos en puentes.

También agradezco a los docentes de la universidad santo tomas, quienes han intervenido en mi proceso de formación, tanto en la parte técnica profesional, ético-humanística, etc.

A todas las personas que en su vida, que sin importar su nivel de educación. Han hecho aportes sin medir su cantidad y calidad, al crecimiento y posicionamiento del bambú en sus miles de usos, en Colombia.

## Tabla de Contenido

|  |    |
|--|----|
| Glosario .....   | 11 |
| Resumen .....  | 12 |
| Introducción .....   | 13 |
| 1. Formulación Del Problema .....  | 14 |
| 1.1. Descripción Detallada Del Proyecto .....  | 14 |
| 2. Justificación .....   | 14 |
| 3. Objetivos .....   | 15 |
| 3.1. Objetivo General.....   | 15 |
| 3.2. Objetivos Específicos .....   | 15 |
| 4. Marco Referencial .....   | 15 |
| 4.1. Marco Científico.....   | 15 |
| 4.2. Marco Teórico.....  | 16 |
| 4.3. Marco Tecnológico .....   | 16 |
| 4.4. Marco Histórico (Estado Del Arte).....  | 17 |
| 5. Localización Del Proyecto .....   | 18 |
| 6. Fases A Desarrollar.....  | 20 |
| 7. Levantamiento Topográfico Del Sector .....  | 20 |
| 7.1. Metodología.....  | 20 |
| 7.2. Equipo Utilizado.....   | 21 |
| 7.3. Datos Utilizados Para El Amarre.....  | 22 |
| 7.4. Datos Procesados De La Cartera Electrónica.....   | 23 |
| 8. Dimensionamiento Arquitectónico .....   | 23 |
| 8.1. Parámetros Arquitectónicos Para El Diseño De Puentes Peatonales En<br>Vías 4g En Sectores Rurales ..... | 24 |
| 8.1.1. Gálibo .....  | 24 |
| 8.1.2. Ancho De Tablero.....   | 24 |
| 8.1.3. Pendiente De Tablero.....   | 25 |
| 8.1.4. Cubierta.....   | 26 |
| 9. Elaboración De Modelo Alámbrico .....   | 27 |

|           |   |    |
|-----------|---|----|
| 10.       | Desarrollo Del Análisis Estructural En Programa Sap-2000 .....  | 29 |
| 10.1.     | Materiales.....   | 29 |
| 10.2.     | Materiales Estructurales .....  | 30 |
| 10.3.     | Descripción De La Estructura .....  | 30 |
| 10.4.     | Análisis Estructural .....  | 30 |
| 10.5.     | Verificación De Esfuerzos.....  | 31 |
| 10.6.     | Características Del Análisis Estructural .....  | 31 |
| 10.7.     | Análisis De Cargas .....  | 31 |
| 10.7.1.   | Evaluación De Cargas En El Tablero .....  | 31 |
| 10.7.2.   | Carga Muerta (Scp).....   | 31 |
| 10.7.2.1. | Carga Muerta Cordones Superiores (Arco Superior).....   | 32 |
| 10.7.2.2. | Carga Muerta Cordones Inferior (Arco Inferior) .....  | 32 |
| 10.7.3.   | Carga Permanente Debido Al Peso De Los Elementos Guadua,<br>Tablero De Piso Y Membrana En Cubierta..... | 33 |
| 10.7.4.   | Carga Viva .....  | 33 |
| 10.7.4.1. | Carga Viento (W) .....  | 33 |
| 10.7.6.   | Presión De Viento Perpendicular A La Cubierta Ascendente Y<br>Descendente.....                          | 35 |
| 10.7.7.   | Carga Muerta Cordón Superior Interno De Cubierta.....   | 35 |
| 10.7.8.   | Carga Muerta Cordones Superior Externos De Cubierta .....   | 35 |
| 10.7.9.   | Carga Viva De Barandas.....   | 36 |
| 10.7.10.  | Vehículo De Carga.....  | 36 |
| 10.8.     | Cargas Sísmicas .....   | 36 |
| 10.8.1.   | Casos De Carga.....   | 42 |
| 10.8.2.   | Ánalisis De Combinaciones De Carga Para Carga Viva.....   | 43 |
| 10.8.3.   | Combinaciones De Carga Según Ccp14 .....  | 44 |
| 10.8.3.1. | Combinaciones De Carga De Resistencia Última (Strength I, ii, iii, iv<br>Y V) .....                     | 44 |
| 10.8.3.2. | Denominación De Cargas .....  | 45 |
| 10.8.3.3. | Combinaciones De Carga De Eventos Extremos (Extreme Event I Y<br>ii): .....                             | 46 |
| 10.8.3.4. | Combinación De Carga De Fatiga Y Fractura (Fatigue) .....   | 46 |

|           |  |    |
|-----------|--|----|
| 10.8.4.   | Combinaciones De Carga .....   | 47 |
| 10.8.5.   | Definición Del Nivel De Comodidad.....   | 48 |
| 10.8.5.1. | Aceleración Rangos Asociados A Niveles De Confort.....   | 48 |
| 10.9.     | Análisis Dinámico De La Estructura.....  | 50 |
| 10.9.1.   | Deflexión .....  | 55 |
| 11.       | Calculo De Elementos Según El Título G-12 Del Reglamento Colombiano<br>De Construcción Sismo Resistente Nsr-10 ..... | 55 |
| 11.1.     | Diseño De Elementos En Guadua .....  | 55 |
| 11.2.     | Esfuerzos Admisibles Y Módulos De Elasticidad .....  | 57 |
| 11.2.1.   | Coeficientes De Modificación .....   | 58 |
| 11.3.     | Diseño De Elementos Sometidos A Flexión.....   | 59 |
| 11.3.1.   | Luz De Diseño.....   | 60 |
| 11.3.2.   | Deflexiones .....  | 60 |
| 11.3.3.   | Análisis De Vibraciones Según Documento Setra .....  | 61 |
| 12.       | Conclusiones .....   | 67 |
| 13.       | Planos Estructurales De La Superestructura Del Puente .....  | 68 |
|           | Bibliografia.....  | 69 |
|           | Anexos .....   | 71 |
| 1.        | Cartera Topográfica.....   | 72 |
| 2.        | Plano De Levantamiento Topográfico .....   | 89 |
| 3.        | Cd Con Tabla Periodos Y Frecuencias Para 10 Modos De Vibración<br>(Completa) .....                                   | 89 |
| 4.        | Cd Con Tabla De Cálculos De Elementos En Guadua Según Nsr10<br>(Completo) .....                                      | 89 |

## **Índice de ilustraciones**

|  |    |
|--|----|
| Ilustración 1: Ubicación Del Proyecto A Nivel Departamental FUENTE: GOOGLE<br>MAPS .....                       | 19 |
| Ilustración 2: Ubicación Del Proyecto A Nivel Municipal FUENTE: GOOGLE MAPS<br>.....                           | 19 |
| Ilustración 3: fotografía aérea de la ubicación del proyecto FUENTE: Concesión<br>sabana de occidente SAS..... | 20 |

|  |    |
|--|----|
| Ilustración 4: equipo topográfico TOPCON 245NW, FUENTE: FABRICANTE .....   | 22 |
| Ilustración 5: Descripción de punto materializado municipio de La Vega,<br>Cundinamarca FUENTE: INSTITUTO GEOGRÁFICO AGUSTÍN CODAZZI (IGAC)<br>..... | 23 |
| Ilustración 6 : Galibo implementado .....  | 24 |
| Ilustración 7: Render de la superestructura enfatizando el detalle del ancho de<br>tablero .....   | 25 |
| Ilustración 8: Render arquitectónico de detalle del tablero y la pendiente .....   | 25 |
| Ilustración 9: render de detalle de cubierta del puente .....  | 26 |
| Ilustración 10: render de detalle de cubierta .....  | 26 |
| Ilustración 11: Modelo alámbrico en vista lateral.....   | 27 |
| Ilustración 12: modelo alámbrico, detalle de placa inferior y estructura de cubierta<br>.....  | 28 |
| Ilustración 13: Modelo alámbrico detalle de arcos y cubierta. ....   | 28 |
| Ilustración 14: Módulos de elasticidad Ei. Tomada de NSR-10 Titulo G.12.....   | 30 |
| Ilustración 15: dimensiones en centro de luz .....   | 34 |
| Ilustración 16: mapa de valores Ss. Fuente: código colombiano de puentes CCP-<br>14 .....  | 37 |
| Ilustración 17: mapa de valores S1. Fuente: código colombiano de puentes CCP-<br>14 .....  | 38 |
| Ilustración 18: Espectro elástico de aceleraciones. Fuente. Código Colombiano de<br>Puentes CCP-14.....  | 41 |
| Ilustración 19: Espectro elástico de diseño. Fuente. Elaboración propia .....  | 42 |
| Ilustración 20: modelo del puente cargado a programa SAP-2000 .....  | 51 |
| Ilustración 21: colocación de la carga (CVT) Carga viva en tablero al modelo en<br>SAP2000 .....   | 51 |
| Ilustración 22: colocación de la carga (CVT_2_A) al modelo en SAP2000 .....  | 52 |
| Ilustración 23: colocación de la carga (CVT_2_P ) al modelo en SAP2000 .....   | 52 |
| Ilustración 24: colocación de la carga (SCP) Sobre carga permanente al modelo en<br>SAP2000 .....  | 53 |
| Ilustración 25: colocación de la carga (WB) al modelo en SAP2000 .....   | 53 |
| Ilustración 26: colocación de la carga (WH) al modelo en SAP2000 .....   | 54 |
| Ilustración 27: colocación de la carga (WH2) al modelo en SAP2000 .....  | 54 |
| Ilustración 28: colocación de la carga (WS) al modelo en SAP2000 .....   | 55 |
| Ilustración 29: Definición de cargas básicas en SAP-2000 .....   | 56 |
| Ilustración 30: Definición de cargas básicas en SAP-2000 CONTINUACION .....  | 57 |

## Índice de tablas

|   |    |
|---|----|
| Tabla 1: Datos utilizados para el amarre..... | 22 |
|---|----|

|   |    |
|---|----|
| Tabla 2: Características del análisis y diseño estructural.....   | 31 |
| Tabla 3: Valores del Factor sitio Fa en el intervalo de periodos de vibración cortos del espectro de aceleraciones. Fuente. Norma Colombiana de Diseño de Puentes CCP-14..... | 39 |
| Tabla 4: Valores del factor sitio Fpga, en el periodo de vibración cero del espectro de aceleraciones. Fuente: Norma colombiana de diseño de puentes CCP-14.....              | 40 |
| Tabla 5: Valores del factor sitio Fv, en el intervalo de periodos de vibración largos del espectro de aceleraciones. Fuente: código colombiano de puentes CCP-14 ..           | 40 |
| Tabla 6: Datos del espectro de diseño. Fuente. Elaboración propia .....   | 41 |
| Tabla 7: Combinaciones de carga. Fuente. Código Colombiano de Puentes CCP-14 ..   | 44 |
| Tabla 8: Factores para carga permanente. Fuente. Código Colombiano de Puentes CCP-14.....   | 47 |
| Tabla 9: Rango de aceleraciones (m/s <sup>2</sup> ) para vibración vertical (Sétra, 2006).....  | 48 |
| Tabla 10: Rango de aceleraciones (m/s <sup>2</sup> ) para vibración horizontal (Sétra, 2006): .....   | 49 |
| Tabla 11: Rango frecuencias (Hz) para vibración vertical y longitudinal (Sétra, 2006) .....   | 49 |
| Tabla 12: Rango frecuencias (Hz) para vibración horizontal lateral (Sétra, 2006) ..   | 50 |
| Tabla 13: Esfuerzos admisibles Fi CH=(12%) Fuente: NSR 10 CAPITULO G12 ..   | 57 |
| Tabla 14: Módulos de elasticidad, Ei (MPa), CH=12% Fuente: NSR 10 CAPITULO G12.....   | 58 |
| Tabla 15: Cálculo de deflexiones Fuente NSR10 CAPITULO G12 .....  | 60 |
| Tabla 16: Deflexiones admisibles δ (mm) Fuente NSR10 CAPITULO G12.....  | 61 |
| Tabla 17: Periodos y frecuencias para 10 modos de vibración .....   | 61 |
| Tabla 18: resultados de solicitudes de tensión en elementos SAP2000.....  | 63 |
| Tabla 19: Diseño de elementos en guadua según título G12 NSR200 .....   | 64 |
| Tabla 20: Diseño de elementos en guadua según título G12 NSR200 Continuacion .....  | 65 |
| Tabla 21: resultado en cantidades de guadua .....   | 66 |
| Tabla 22: Resultados SAP2000 .....  | 66 |

## GLOSARIO

Flexión: deformación que presenta un elemento estructural alargado en una dirección perpendicular a su eje longitudinal.

Contra flecha: ligera curvatura, convexa, que se realiza en una viga o cercha para compensar cualquier flecha prevista cuando soporte un peso.

Compresión: es la resultante de las tensiones o presiones que existen dentro de un sólido deformable o medio continuo, caracterizada porque tiende a una reducción de volumen del cuerpo, y a un acortamiento del cuerpo en determinada dirección

Cercha: estructura o armadura de cubierta que sirve de base para la construcción de arcos, bóvedas y otras estructuras.

Tensión: fuerza por unidad de área en el entorno de un punto material sobre la superficie de un cuerpo.

Preservación: cuidar, amparar o defender algo con anticipación, con el objetivo de evitar un eventual perjuicio o deterioro.

Diámetro externo: diámetro de una sección transversal de una pieza de guadua medido desde dos puntos opuestos en la superficie externa.

Tallo o culmo: eje aéreo segmentado formado por nudos y entrenudos.

Entrenudo: parte del tallo comprendida entre dos nudos de donde sale otra rama.

Contenido de humedad: contenido de agua al interior de un cuerpo expresado como la relación en porcentaje entre el peso del agua contenida y el peso del material anhidro.

## **RESUMEN**

En Colombia en los últimos años se ha tenido un notable desarrollo en su infraestructura vial, este fenómeno se llama cuarta generación de concesiones viales (4G).

Estas nuevas vías reducen los tiempos de viaje de los usuarios, además que permiten mejores experiencias al encontrar un número más grande de asistencias viales. Cuando hablamos de reducción de tiempos de viaje una de sus variables más importantes. Es la velocidad que aumenta con la que los usuarios abordan estas vías, esto se convierte en un inconveniente para las poblaciones, comunidades y vecinos de estas vías.

En la doble calzada Bogotá-Villeta en el sector del laurel en jurisdicción del municipio de La Vega Cundinamarca, en la vía se denota con la abscisa km 48+500. Se ha concluido que este sector es óptimo para la implantación de un puente peatonal.

La facultad de ingeniería civil de la universidad santo tomas. Y su línea de investigación de estructuras en guadua. Conoció esta necesidad que existía y se aprobó que en este sector se puede construir un puente en guadua.

En este trabajo se realiza un prediseño de la superestructura de un puente el cual consta de dos arcos (superior e inferior), con elementos de amarre tipo lápiz en guadua. Y una cubierta en guadua y membrana que resguarda la estructura de la lluvia.

En Colombia y sus principales normatividades de construcción entiéndase código colombiano de puentes 2014 (CCP14) y norma colombiana de construcciones sismo resistentes de 2010 (NSR-10) no se encuentra información y recomendaciones acerca de este tipo de estructuras. Pero desde la academia se ha venido trabajando en realizar recomendaciones y normatividad para este problema

Para la elaboración de este trabajo se consultará normatividad internacional, manuales nacionales e internacionales.

## **INTRODUCCIÓN**

Este documento contiene la memoria de cálculo, el análisis y diseño estructural del puente de dos arcos con tensores de guadua que se proyecta construir en el sector. El laurel de la autopista Bogotá-Villeta en la abscisa km 48+ 500. Las memorias de cálculo incluyen datos e información realizadas por el autor y recolectada en campo junto con esta se citan normas, códigos, reglamentos y criterios de análisis y diseño basados en bibliografía y experiencias recolectadas por el autor, que se han considerado para realizar el análisis y diseño de la estructura en estudio.

El presente documento contempla el análisis y diseño estructural de un puente peatonal proyectado en guadua. El análisis incluye el planteamiento de la información geométrica y mecánica de los diferentes materiales que constituirán la estructura proyectada.

Con base a esta información se plantearán modelos matemáticos simples y compuestos para evaluar los diferentes esfuerzos a los que encuentran sometidos los diferentes elementos estructurales. Una vez obtenidas las solicitudes en los diferentes elementos se aplica para el diseño de estos la metodología propuesta para el diseño de elementos en guadua Capítulo G.12 del Reglamento NSR10.

## **1. Formulación Del Problema**

Colombia en su plan de desarrollo vial muy atrasado en los últimos 50 años ha generado dificultades para aquellos centros poblados, caseríos, municipios, dificultades para atravesar estas grandes vías; por este motivo es que en kilómetro 48+500 de la autopista Bogotá - Villeta hemos decidido solucionar este problema con el diseño de un puente peatonal poliédrico en guadua como una alternativa de los pobladores de la región.

Este puente en el sitio tendrá una luz de 42.6 metros que se salvará, con dicho diseño

### **1.1. Descripción Detallada Del Proyecto**

En la autopista Bogotá Villeta en el kilómetro 48+500 se encuentra un caserío el cual requiere que los transeúntes y pobladores de la región puedan atravesar libremente la vía hacia el municipio de San Francisco Cundinamarca la luz a salvar seria de 42.6 metros

Este proyecto se desarrollara acudiendo al Código Colombiano De Puentes CCP14, y las recomendaciones del Reglamento Colombiano Sismo Resistencia NSR-10

El puente estará constituido por una infraestructura en concreto, con unas rampas en espiral y una superestructura constituida por arcos en guadua, un piso diseñado con latas en guadua y un acabado en pisos en caucho con retal de llanta y barandas de aluminio.

## **2. Justificación**

El desarrollo de este proyecto como requisito de la universidad santo tomas como trabajo de grado para optar al título de ingeniero civil.

Este proyecto también está encaminado como ejercicio académico en el diseño de puentes en guadua, ya que no existe en el código colombiano de puentes una metodología para el cálculo de puentes con este material

Para usuarios, habitantes, vecinos y demás actores involucrados en la utilización de la doble calzada, es necesario que puedan atravesar esta vía de forma segura y cómoda, y con esto la reducción de la tasa de accidentes en la vía.

### **3. Objetivos**

#### **3.1. Objetivo general**

Realizar un Predimensionamiento estructural de la superestructura de un puente peatonal en guadua de geometría poliédrica y de 42.6 metros de luz, en el kilómetro 48+500 de la autopista Bogotá Villeta

#### **3.2. Objetivos específicos**

- Realizar el pre dimensionamiento estructural del puente peatonal poliédrico en guadua en el programa AUTOCAD
- Realizar el cálculo de la superestructura del puente peatonal en bambú guadua con ayuda del programa SAP-2000 para realizar el análisis y el capítulo G.12 para el diseño de los elementos en guadua , Reglamento Colombiano de Construcción Sismo Resistente NSR-10, Código Colombiano de Puentes CCP 14 y guías internacionales para el cálculo de puentes
- Elaborar los planos correspondientes del diseño definitivo

### **4. Marco referencial**

#### **4.1. Marco científico**

La guadua conocida comúnmente como bambú leñoso, pertenece a la familia de las gramíneas, con una población alrededor de 1.400 especies en el mundo, de las cuales, 48 aproximadamente se encuentran en nuestro país. Colombia cuenta con una especie que posee excelentes propiedades físico-mecánicas de su familia denominada Guadua *Angustifolia Kunth*. En estado natural en Colombia, esta gramínea alcanza alturas máximas de 30 metros y diámetros de hasta 22 centímetros<sup>1</sup>. Su morfología está compuesta por la raíz o rizoma, el tallo o culmo y las ramas, el culmo se va angostando a medida que va creciendo, siendo la cepa la sección basal con mayor diámetro, y la copa la sección con menor diámetro. La lignina, la cutina y el sílice son los químicos naturales que le dan la dureza, la resistencia, y el color característico a la guadua. Presenta condiciones ideales para su aprovechamiento, debido a que se automultiplica vegetativamente al no

---

<sup>1</sup> ECOHABITAR. Óp. cit.

depender de una semilla para su reproducción, además, su crecimiento es rápido, alrededor de 11 centímetros por día, convirtiéndolo en un recurso renovable y sostenible.

#### **4.2. Marco Teórico**

El bambú guadua como elemento constructivo se cree que se empezó a utilizar en Colombia por los indígenas paece en el Cauca, quienes desarrollaron novedosas técnicas de construcción de puentes usando elementos estructurales creados con esta gramínea de una manera empírica. Gracias al estudio de estos puentes creados por los indígenas, se ha logrado adaptar las técnicas de construcción para su uso en las obras ingenieriles, ya que no se posee actualmente ningún manual o norma de construcción para puentes en bambú guadua debido al crecimiento cónico de su tallo o culmo, provocando que el cálculo estándar de estos elementos varié en relación con su espesor, diámetro y altura.

Sin embargo, existen recomendaciones aplicables a los elementos estructurales en bambú guadua, donde se resalta la manera de cultivación, recolección y preservación del material, comúnmente denominado proceso de silvicultura, así como los ensayos elaborados para determinar las propiedades físico - mecánicas.

Para que un bambú guadua sirva como elemento de construcción debe presentar una edad de maduración (hecha) entre los 4 y 6 años, en donde se identifique la presencia de líquenes y la desaparición en el tallo del lustre en el entrenudo, además de contar con un contenido de humedad entre el 18% y el 20%. El corte del tallo o culmo para su posterior disposición debe realizarse en el primer o segundo nudo y con un ángulo del 15° para evitar que las raíces se pudran por acción del empozamiento del agua, preferiblemente en una fase cuarto menguante entre las 11 pm y las 4 am para evitar el ataque de los insectos xilófagos, para así concluir con su posterior avinagrado, preservación y secado.

La mayoría de puentes que se han construido en este material presentan una estructura basada en cerchas, con una contraflecha que permite la formación de un arco que compensa el asentamiento del armazón.

#### **4.3. Marco tecnológico**

Debido a que en Colombia no se dispone de tecnología para el diseño y realización de estructuras de puentes en guadua, se consultara la información de puentes construidos en Colombia

#### **4.4. Marco histórico (estado del arte)**

La humanidad en producto a la necesidad social de comunicarse, conectar y relacionarse en todo su entorno, ha desafiado a la misma naturaleza con la construcción de puentes; con las cuales han permitido cruzar distintos tipos de desafíos y problemas que esto genera debido a los accidentes geográficos que se dan a lo largo de los años en el mundo, desde la inmensidad del mar, los riachuelos y los grandes cañones<sup>2</sup>.

Inicialmente se utilizaban métodos arcaicos y muy complicados para superar estos desafíos como troncos de árboles de orilla a orilla; a lo largo de los años, las diferentes generaciones han desafiado y superado los grandes retos generados por la naturaleza con estructuras inigualables y asombrosas como: Los puentes Golden Gate en Estados Unidos, el Jangyn en China o el Humber en Inglaterra<sup>3</sup>. Estos puentes ocupan un gran lugar en la historia puesto que tiene mucha importancia las técnicas desarrolladas en ellos, el uso de materiales como hormigón o acero, entre otros materiales, no obstante, también se han realizado construcciones más efectivas, no solo como paso físico de comunicación, sino como iconos arquitectónicos que integran recursos renovable e interesantes técnicas constructivas; estos son los puentes en guadua<sup>4</sup>.

La guadua es un tipo de planta que presenta como características físicas su forma de tubo ligeramente cónico, su diámetro exterior puede variar entre 3,0 – 25,0 cm y unas cualidades físicas y mecánicas que lo han llevado a ser llamado “acero vegetal”; Tienen diferentes especies: Amplexifolia, Angustifolia, Glomerata, Paraguayensis, Sacrocarpa, tessmanii, Trinii y Weberbaueri<sup>5</sup>.

Existen casos de puentes en el continente americano que tienen como registros el uso de guadua como materiales estructurales en las culturas indígenas Inca, en Perú y Paeces, en Colombia; pero debido a la aparición de los nuevos materiales como el concreto o el acero, la utilización de la guadua decayó en su utilización de las obras y se delimitó a utilizarse en acabados arquitectónicos, artesanías, objetos decorativos y mobiliario<sup>6</sup>.

Colombia ha sido pionero en utilizar como material de construcción de puentes la guadua, debido a la realización de trabajos arquitectónicos, ingenieros, academia y centros de investigación forestal y maderera. Existe muy poca información con respecto a las estructuras que se han construido puesto que el método y el material de construcción esta naciente, pero uno de las construcciones más relevantes que se pueden destacar en el territorio colombiano es el Puente Jenny Garzón,

---

<sup>2</sup> REDACCION M&M. Puentes en Guadua: Pasos sobre Material Constructivo Eficiente. En: Revista M&M. Edición no 72. p. 46.

<sup>3</sup> Ibid., p. 46.

<sup>4</sup> Ibid., p. 46.

<sup>5</sup> Ibid. p. 47.

<sup>6</sup> Ibid. p. 47.

construido en Bogotá para uso peatonal con 3.000 guaduas y un peso de 130 Ton, ubicado en la carrera 119 con calle 80<sup>7</sup>. Como lo expresa la revista M&M “La obra, que fue diseñada por Simón Vélez y Marcelo Villegas, quien se encargó del montaje estructural, consiste en un viaducto de 45 metros de longitud y 3.0 de ancho, que resisten 36 toneladas y cuyo techo, elaborado en bambú y materiales sintéticos, garantiza una vida útil de 200 años para la estructura”<sup>8</sup>.

Lo que sí podemos decir es que en Latino américa hay construcciones con más de 300 años y en Colombia, en especial en el Eje Cafetero, hay construcciones con más de 150 años de antigüedad realizadas inicialmente con guadua y con algunas transformaciones que, familias prominentes, arrieras y creativas, han llevado a que hoy sea El Paisaje Cultural Cafetero de Colombia (PCC) declarado por la UNESCO. Teniendo estas estructuras como una carta abierta en estructuras podemos decir que una casa en guadua, bien diseñada, bien procesado el material y con una mano de obra calificada, podemos decir que la garantía de estas casas deben ser para toda la vida<sup>9</sup>.

## 5. Localización del proyecto

El proyecto se encuentra localizado en zona rural del municipio de la vega Cundinamarca en la vereda el laurel. Dentro de la doble calzada Bogotá- Villeta en la abscisa km 48+500

---

<sup>7</sup> Ibid. p. 50.

<sup>8</sup> REDACCION M&M. Puentes en Guadua: Pasos sobre Material Constructivo Eficiente. En: Revista M&M. Edición no 72. p. 50.

<sup>9</sup> Ibíd., p. 52.

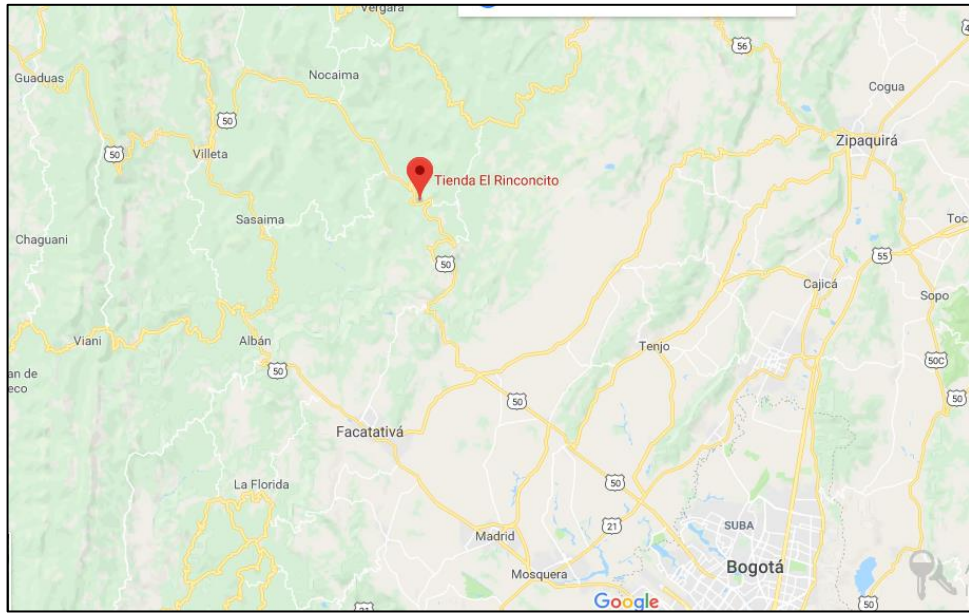


Ilustración 1: Ubicación Del Proyecto A Nivel Departamental FUENTE: GOOGLE MAPS

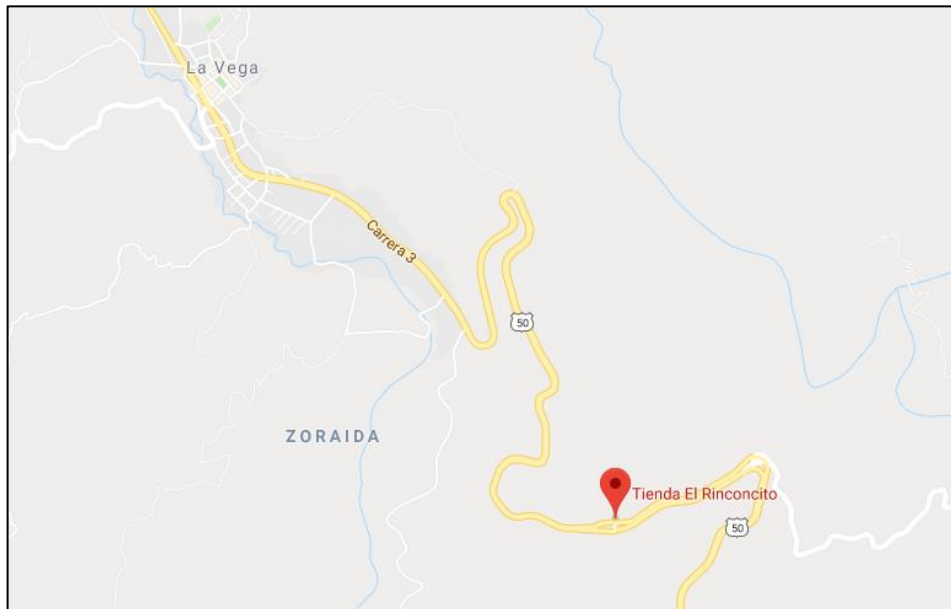


Ilustración 2: Ubicación Del Proyecto A Nivel Municipal FUENTE: GOOGLE MAPS



Ilustración 3: fotografía aérea de la ubicación del proyecto FUENTE: Concesión sabana de occidente SAS.

## 6. Fases a desarrollar

La elaboración de este proyecto, con la totalidad de sus objetivos propuestos; se va a realizar en una única fase el cual comprende seis (meses) con dos entregas trimensuales.

## 7. Levantamiento topográfico del sector

Se lleva a cabo para determinar la posición relativa entre varios puntos sobre el plano horizontal en el terreno, es decir mediante planimetría. Para así poder determinar la altura entre varios puntos del plano horizontal.

Se realiza con el fin de saber las condiciones del terreno y replanteo del mismo.

### 7.1. Metodología

El levantamiento planimétrico y altimétrico de la zona de estudio se ha realizado en un área aproximada de 22863m<sup>2</sup> que comprende por el oriente a la vía que comunica al municipio San Francisco Cundinamarca, por el sur la doble calzada Villota- El Rosal ruta nacional 50, por el occidente hacia la vereda San Juan jurisdicción de La Vega Cundinamarca y por el norte con la vía que llega hacia La Vega.

Este levantamiento topográfico se amarró a las coordenadas del sistema de la Red Geodésica del Área departamental de tercer orden -CT -IGAC y los niveles a los cambios existentes de la construcción de la doble calzada, para esto se realizó un poligonal de amarre que tuvo como puntos de inicio los puntos GPS-C-T--32, 25402009.

Ubicados estos puntos se realizó una poligonal cerrada y puntos auxiliares los cuales nos servirán para ir localizando vías, paramentos, cajas, pozos, postes, árboles, andenes cercas, hidrantes, sumideros, válvulas de servicios públicos, separadores, etc. La poligonal se inició armados en GPS-C-T- 32 localizado en el sitio tienda el rinconcito, tomando línea al 25402009. Localizado en la los alrededores de la doble calzada, con el equipo armado en D10 se tomó Línea en el D400 que pertenece a la poligonal del levantamiento y armados en D400 se leyó el ángulo y la distancia al D1 de esta misma poligonal para de esta dar por terminado el amarre.

Posteriormente se dio inicio a una poligonal cerrada armando en el D1 y tomamos línea en el D400 y así se realizaron las primera radiaciones de los paramentos, vías, andenes, jardineras, postes, pozos, válvulas de acueducto y demás detalles para la elaboración del plano; se continuo colocando los deltas restantes de la poligonal con sus punto auxiliares y se tomaron los detalles como en la primera armada y también se fue realizando una nube de puntos en la zona que no está construida para generar curvas de nivel cada 0.50 ms, en el recorrido se detalló la cerca que limita el área del predio.

En resumen la base de datos topográficos tomados con la estación y almacenados en la cartera electrónica fue de 1120 puntos, incluyendo coordenadas y elevaciones, a lo largo y ancho de predio. Finalmente este trabajo de campo fue procesado y ajustado con el fin de ser plasmado el plano.

## 7.2. Equipo utilizado

El levantamiento topográfico se realizó teniendo como base el siguiente equipo: Estación total Topcon 245NW Es un equipo electro-óptico utilizado en topografía, cuyo funcionamiento se apoya en la tecnología electrónica que consiste en la incorporación de un distanciómetro y un microprocesador a un teodolito electrónico.

Tiene la posibilidad de guardar información en formato electrónico, lo cual permite utilizarla posteriormente en ordenadores personales. Vienen provistas de diversos programas sencillos que permiten, entre otras capacidades, el cálculo de coordenadas en campo, replanteo de puntos de manera sencilla y eficaz y cálculo

de azimuts y distancias. La figura 2 muestra la estación total utilizada en el levantamiento.



Ilustración 4: equipo topográfico TOPCON 245NW, FUENTE: FABRICANTE

### 7.3. Datos utilizados para el amarre

Tabla 1: Datos utilizados para el amarre

| Coordenadas |            |            |         |   |
|-------------|------------|------------|---------|---|
| Punto       | Norte      | Este       | Altura  | Descripción                               |
| GPS-C-T-32  | 1041659.1  | 976558.963 | 1274.00 | Colegio "Ricardo Inestrosa"               |
| 25402014    | 1041722.4  | 976033.157 | 1314.20 | intercomunicador Bogotá-Villeta km 52+900 |
| 25402013    | 1041784.9  | 974545.899 | 1359.80 | intercomunicador Bogotá-Villeta km 52+000 |
| 25402011    | 1041804.5  | 973967.396 | 1485.27 | intercomunicador Bogotá-Villeta km 49+850 |
| 25402009    | 1041856.59 | 973244.315 | 1649.98 | intercomunicador Bogotá-Villeta km 47+600 |

| DESCRIPCIÓN DE PUNTO MATERIALIZADO DE CONTROL HORIZONTAL   |  |   |  | FECHA (DD/MM/AAAA)<br>29/11/2004   |               |               |  |  |   |  |   |  |                          |  |
|--|--|---|--|--|---------------|---------------|--|--|---|--|---|--|--------------------------|--|
| DIVISIÓN DE GEODESIA   |  |   |  | CÁNCER IR. CENFRAL   |               |               |  |  |   |  |   |  |                          |  |
| Departamento<br><b>CUNDINAMARCA</b>  | Municipio<br><b>LA VEGA</b>  | Vereda o barrio<br><b>COLEGIO "RICARDO HINESTROZA DAZA"</b> | Fincia o dirección<br><b>ESTADIO MUNICIPAL "DIANA TURBAY Q."</b> |  |               |               |  |  |   |  |   |  |                          |  |
| Nomenclatura estandarizada<br><b>GPS-C-T-32</b>  | Nombre del punto (Estampado en placa)<br><b>GPS-C-T-32</b>   |   |  |  |               |               |  |  |   |  |   |  |                          |  |
| Distancias y direcciones a la señal de Azimut y objetos sobresalientes que pueden observarse desde el vértice  |  |   |  |  |               |               |  |  |   |  |   |  |                          |  |
| OBJETO   | AZIMUT MAGNÉTICO   | DISTANCIA EN METROS   | DIRECCIONES  |  |               |               |  |  |   |  |   |  |                          |  |
| 1 PLACA MONUMENTO  | 270  | 1.05  |  |  |               |               |  |  |   |  |   |  |                          |  |
| 2 CENTRO ARCO CANCHA DE FUTBOL   | 230  | 25.43   |  |  |               |               |  |  |   |  |   |  |                          |  |
| 3 CENTRO ENTRADA PRINCIPAL   | 50   | 10.05   |  |  |               |               |  |  |   |  |   |  |                          |  |
| 4 CONSTRUCCION CAMERINOS   | 315  | 36.53   |  |  |               |               |  |  |   |  |   |  |                          |  |
| 5 GPS-C-T-31   | 9  | 769.82  |  |  |               |               |  |  |   |  |   |  |                          |  |
| <b>Acceso (Croquis general)</b><br>Partiendo del parque principal del casco urbano del municipio de La Vega, se toma la vía que conduce a Bogotá y se recorren 1100 m por ella para encontrar al costado derecho de la vía el acceso principal del estadio municipal "Diana Turbay Quintero", en donde se localiza el punto.   |  |   |  |  |               |               |  |  |   |  |   |  |                          |  |
|  |  |   |  |  |               |               |  |  |   |  |   |  |                          |  |
| <b>Descripción (Croquis detallado)</b><br>El vértice se encuentra ubicado cerca al monumento, al costado norte de la cancha de fútbol.   |  |   |  |  |               |               |  |  |   |  |   |  |                          |  |
| <table border="1"> <thead> <tr> <th>Determinación</th> <th>Monumentación</th> </tr> </thead> <tbody> <tr> <td>GPS <input checked="" type="checkbox"/><br/>CONVENCIONAL <input type="checkbox"/></td> <td>Incrustación <input type="checkbox"/><br/>Plastre <input type="checkbox"/><br/>Otro <input type="checkbox"/> Mojón <input checked="" type="checkbox"/><br/>De concreto 30 x 30 cm. de lado<br/>Sobresale 20 cms.</td> </tr> <tr> <td colspan="2">Nota: En la fecha _____ se encontró el vértice destruido _____ movido _____</td> </tr> <tr> <td colspan="2">Coordenadas MAGNA-SIRGAS (WGS84) aproximadas:<br/>φ= 04°59'29"N<br/>λ= 74°19'52"W<br/>h= 1274 m.</td> </tr> <tr> <td colspan="2">Nombre _____ Firma _____</td> </tr> </tbody> </table> |  |   |  |  | Determinación | Monumentación | GPS <input checked="" type="checkbox"/><br>CONVENCIONAL <input type="checkbox"/> | Incrustación <input type="checkbox"/><br>Plastre <input type="checkbox"/><br>Otro <input type="checkbox"/> Mojón <input checked="" type="checkbox"/><br>De concreto 30 x 30 cm. de lado<br>Sobresale 20 cms. | Nota: En la fecha _____ se encontró el vértice destruido _____ movido _____ |  | Coordenadas MAGNA-SIRGAS (WGS84) aproximadas:<br>φ= 04°59'29"N<br>λ= 74°19'52"W<br>h= 1274 m. |  | Nombre _____ Firma _____ |  |
| Determinación  | Monumentación  |   |  |  |               |               |  |  |   |  |   |  |                          |  |
| GPS <input checked="" type="checkbox"/><br>CONVENCIONAL <input type="checkbox"/>   | Incrustación <input type="checkbox"/><br>Plastre <input type="checkbox"/><br>Otro <input type="checkbox"/> Mojón <input checked="" type="checkbox"/><br>De concreto 30 x 30 cm. de lado<br>Sobresale 20 cms. |   |  |  |               |               |  |  |   |  |   |  |                          |  |
| Nota: En la fecha _____ se encontró el vértice destruido _____ movido _____  |  |   |  |  |               |               |  |  |   |  |   |  |                          |  |
| Coordenadas MAGNA-SIRGAS (WGS84) aproximadas:<br>φ= 04°59'29"N<br>λ= 74°19'52"W<br>h= 1274 m.  |  |   |  |  |               |               |  |  |   |  |   |  |                          |  |
| Nombre _____ Firma _____   |  |   |  |  |               |               |  |  |   |  |   |  |                          |  |
|  <p>Activar<br/>Ir a config<br/>Materializo <input checked="" type="checkbox"/><br/>Actualizo <input type="checkbox"/><br/>Folio 00000000000000000000</p>   |  |   |  |  |               |               |  |  |   |  |   |  |                          |  |
| Hoja No. 51  |  |   |  |  |               |               |  |  |   |  |   |  |                          |  |

Ilustración 5: Descripción de punto materializado municipio de La Vega, Cundinamarca FUENTE: INSTITUTO GEOGRÁFICO AGUSTÍN CODAZZI (IGAC)

## 7.4. Datos procesados de la cartera electrónica

Los datos de esta cartera se pueden ver en detalle en la sección de anexos al final del documento el cual lleva por nombre Anexo 1. Cartera topográfica

## 8. Dimensionamiento arquitectónico

Se realiza una vez hecho el levantamiento topográfico y el replanteo del terreno ya que lo que se busca es encontrar las dimensiones orientativas de la estructura del puente para poder iniciar con el diseño. Todo esto con ayuda de un profesional en arquitectura y diseñador.

## **8.1. Parámetros arquitectónicos para el diseño de puentes peatonales en vías 4g en sectores rurales**

En la fase de diseño de puentes peatonales se establecen los siguientes parámetros:

- Se diseña de tal manera que, la población con discapacidad no tenga complicaciones durante el uso de la estructura y sus accesos
- Se diseña de acuerdo a la norma técnica colombiana NTC- 4774 y la ley 361 de 1997 y aquellas que la modifiquen y la complementen.
- En el diseño de este puente peatonal se contempla la obra vecina. La vía Bogotá – Villette la cual está totalmente terminada y se deben respetar los espacios que ella tiene de reducción de velocidad y viceversa.

### **8.1.1. Gálibo**

Se diseña la superestructura del puente peatonal, con un gálibo mínimo de 5m + 0.50 m para garantizar el gálibo mínimo. Durante eventos tales como mantenimiento y reparaciones en la vía la cual atraviesa la estructura.

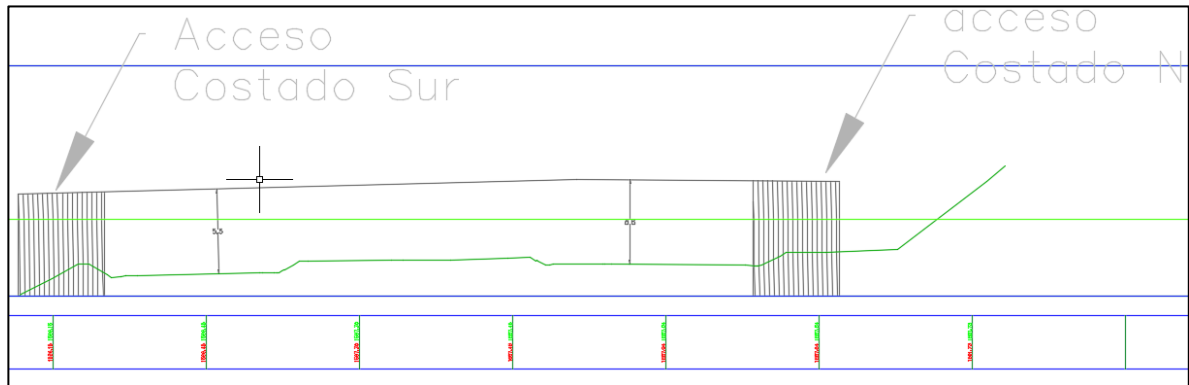


Ilustración 6 : Galibio implementado

No existen edificaciones a menos de 5 metros a la redonda de la implementación del puente

### **8.1.2. Ancho de tablero**

Para este diseño se hace un diseño en parábola donde en la parte de ingreso al puente el ancho del tablero es de 3 m, y en su punto medio es de dos metros



Ilustración 7: Render de la superestructura enfatizando el detalle del ancho de tablero

### 8.1.3. Pendiente de tablero

La pendiente del tablero alcanza un 10% en su punto más alto, se implementa esta pendiente. Para que el diseño en arco del puente sea más resistente. Aunque su pendiente de ascenso este en un punto máximo.

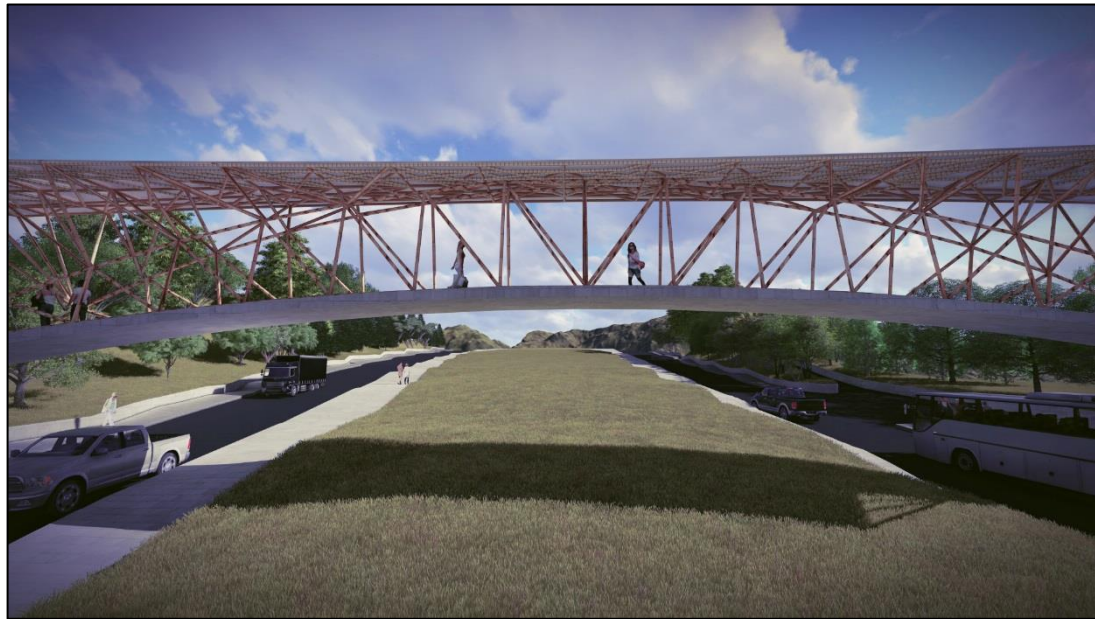


Ilustración 8: Render arquitectónico de detalle del tablero y la pendiente

#### 8.1.4. Cubierta

Para esta estructura de guadua en la parte superior, es necesaria una protección contra la lluvia. Principal agente de deterioro del material para esto se considera una cubierta con estructura en guadua y membrana de tela industrial para esta estructura.



Ilustración 9: render de detalle de cubierta del puente



Ilustración 10: Render de detalle de cubierta

## 9. Elaboración de modelo alámbrico

El modelo alámbrico del puente es una representación del esqueleto o de todas sus vistas en tercera dimensión (3D) a escala real mediante curvas y líneas y curvas.

Los modelos alámbricos constan únicamente de puntos, líneas y curvas que describen las aristas. Del objeto dado que los objetos que conforman un modelo alámbrico deben dibujarse y ubicarse de forma independiente, es muy probable que la creación de este tipo de modelos requiera un tiempo superior al de otros modelos.

Utilizando este tipo de modelos se puede:

- Analizar relaciones espaciales incluida la distancia más corta entre esquinas y lados y comprobar las posibles interferencias
- Generar automáticamente vistas auxiliares
- Ver el modelo desde cualquier punto de vista
- Generar fácilmente vistas descompuestas

El modelo alámbrico de este proyecto se realizó en AutoCAD, para posteriormente ser llevado al programa SAP-2000.

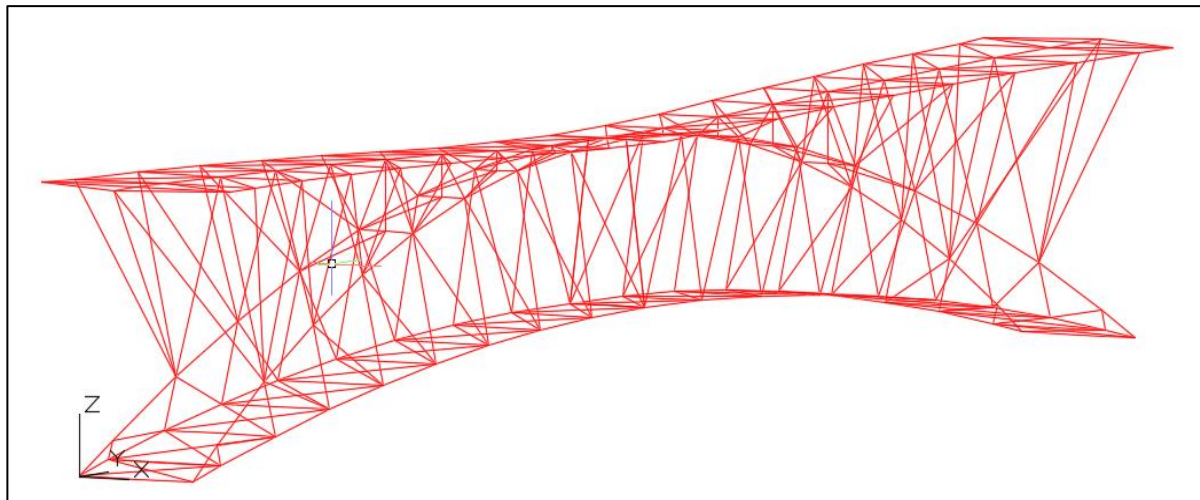


Ilustración 11: Modelo alámbrico en vista lateral

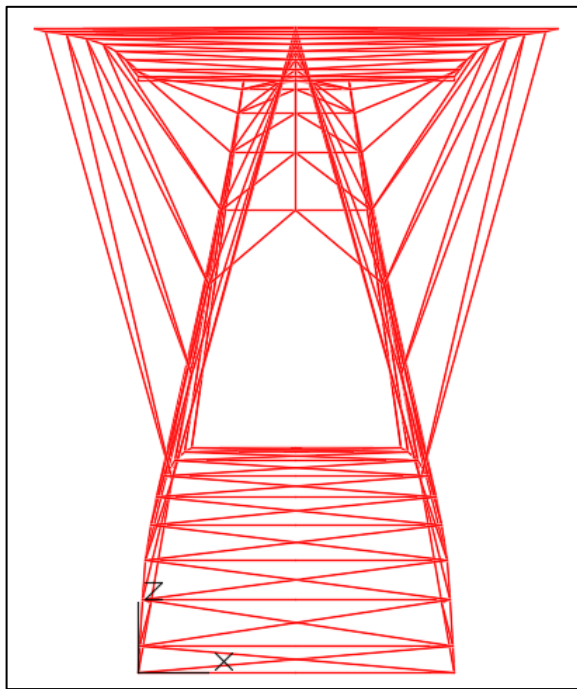


Ilustración 12: modelo alámbrico, detalle de placa inferior y estructura de cubierta

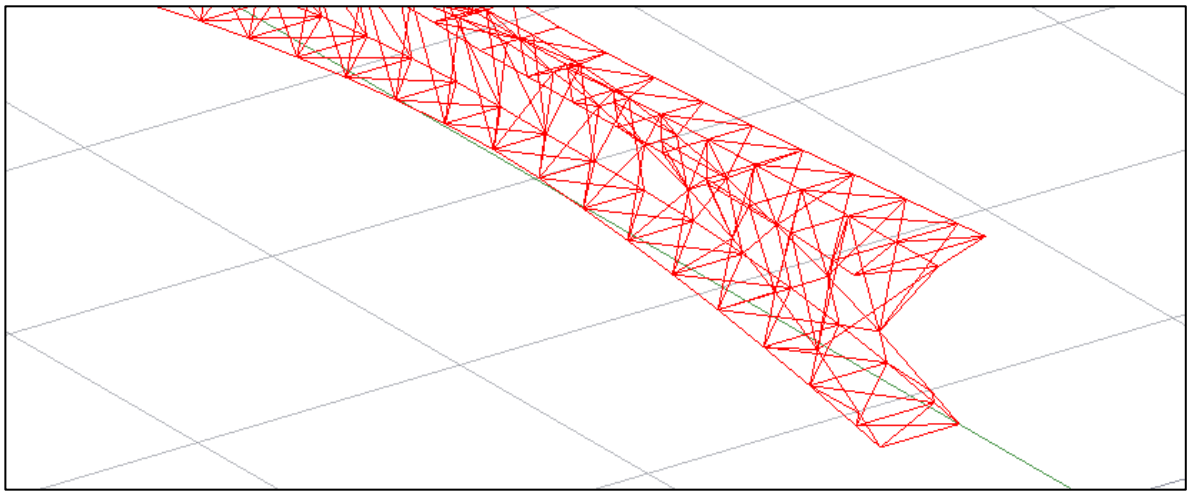


Ilustración 13: Modelo alámbrico detalle de arcos y cubierta.

## **10. Desarrollo del análisis estructural en programa SAP-2000**

El prediseño de los elementos se desarrolló utilizando los siguientes códigos de diseño:

- Reglamento colombiano de Construcción Sismo Resistente. NSR – 10. Asociación Colombiana de Ingeniería Sísmica. Ley 400 de 1997. Capítulo G.12, Título B, Título C.
- Building Code Requirements for Reinforced Concrete Design. ACI – 318. American Concrete Institute.
- Guía de Puentes de Colombia 2014 AIS.
- Guía de especificaciones para el diseño de puentes peatonales publicado Por la Asociación Americana de Carreteras de Estado y Funcionarios del Transporte Guía de puentes de Colombia,
- Guía de puentes de la AASHTO, 1997
- Technical guide Footbridges, Assessment of vibrational behaviour of footbridges under pedestrian loading, publicado por Service d'Études techniques des routes at autoroutes SETRA, 2006.

### **10.1. Materiales**

Se empleó la siguiente nomenclatura para materiales::

- De = diámetro exterior de la guadua
- f<sub>0.05i</sub> = esfuerzo del percentil 5 en la solicitud i
- f<sub>ki</sub> = valor característico en la solicitud i
- t = espesor de la pared de la guadua

## 10.2. Materiales estructurales

El material estructural componente del puente serán formados en guadua se toman las propiedades recomendadas en el Reglamento NSR-10.

**Tabla G.12.7-2**  
**Módulos de elasticidad,  $E_i$  (MPa), CH=12%**

| Módulo promedio $E_{0.5}$ | Módulo percentil 5 $E_{0.05}$ | Módulo mínimo $E_{\min}$ |
|---------------------------|-------------------------------|--------------------------|
| 9.500                     | 7.500                         | 4.000                    |

Ilustración 14: Módulos de elasticidad  $E_i$ . Tomada de NSR-10 Titulo G.12.

## 10.3. Descripción de la Estructura

Puente en arco de uso peatonal particular, de paso inferior construido en Guadua, con uniones empernadas y canutos rellenos en mortero 1:3. Su configuración geométrica corresponde a tipo pratt.

El tablero es en latas de guadua con recubrimiento en retal de caucho, este está apoyado sobre vigas transversales en guadua, que a su vez están atornilladas a la parte inferior de los paralelos.

La cubierta está construida en guadua a dos aguas, bajo el cual se encuentran los arrostramientos diagonales en X, y transversales, también en guadua.

## 10.4. Análisis Estructural

Para el análisis de la estructura se utilizó el programa de computador SAP 2000 V20, utilizando un modelo tridimensional en el cual se involucran los diferentes tipos de elementos, materiales y propiedades estructurales. El programa está basado en el método de las rigideces para la solución del modelo estructural.

Para el análisis de la carga muerta el programa automáticamente genera los diferentes pesos de la estructura, al ser habilitado el multiplicador de peso propio.

Sin embargo, para este trabajo se determinaron los pesos de la guadua por evaluación de pesos por considerarse con mayor exactitud.

## **10.5. Verificación De Esfuerzos**

Se efectúa la revisión de esfuerzos de los elementos estructurales mediante el uso del post-procesador de diseño del Sap2000

## **10.6. Características Del Análisis Estructural**

La estructura del puente se analizó para cargas gravitacionales, fuerzas horizontales de viento y fuerzas horizontales de sismo, se diseñaron los elementos por el método de esfuerzos admisibles. En la Tabla 2 se muestra un resumen de las características de análisis y diseño utilizados.

| PARÁMETRO                                    | VALOR                |
|--|----------------------|
| Espectro de diseño                           | Elástico             |
| Método de análisis sísmico                   | Modal espectral      |
| Modelo matemático                            | Matricial espacial   |
| Método de diseño                             | Esfuerzos Admisibles |
| Programas utilizados (solo para el análisis) | SAP2000              |
| Material - estructura                        | Guadua angustifolia  |

*Tabla 2: Características del análisis y diseño estructural*

## **10.7. Análisis de cargas**

### **10.7.1. Evaluación de cargas en el tablero**

### **10.7.2. Carga muerta (SCP)**

La sobrecarga permanente (SCP) es el peso de los elementos que no hacen parte del peso propio de la estructura, pero son permanentes durante su vida útil.

- Luz del puente: 42.60m
- Ancho de tablero medio:  $(3.0+1.0)m/2=2.0m$
- Ancho aferente: 2.51m
- Peso de guadua/m: 3.0 kg/m
- Cordón superior 4 guaduas: 12.0 Kg/m
- Cordón inferior 8 guaduas/cordón en promedio: 24.0 Kg/m
- Otros elementos 1gadua: 3.0 Kg/m
- Peso de tableta de caucho: 20 Kg/m<sup>2</sup>
- Soporte de loseta de caucho en latas de guadua vertical: 25Kg/m<sup>2</sup>
- Peso de placas planas de asbesto –cemento e=1.0cm: 15kg/m<sup>2</sup>
- Peso de baranda: 10kg/m (aplicado cordón superior externos)
- Peso por mortero en nodos:  $(0.3m^*.0038m^2*2200Kg/m^3) =2.55Kg$
- Peso de cubierta tipo tenso estructura:4kg/m<sup>2</sup>

Este peso se distribuye por m en cada guadua, 2.55kg es el peso de cada nodo, se multiplica por dos por lo que son dos extremos  $2.55*2=5.1kg$ , se toma una longitud promedio de guadua de 2.5m,  $5.1kg/2.5m=2.04kg/m$ .

#### **10.7.2.1. Carga Muerta Cordones Superiores (Arco Superior)**

Cordón superior 4 guaduas: 12.0 Kg/m

Peso por mortero 2.55kg es el peso de cada nodo/2.56m (longitud de cada segmento cordón superior)= $2.55kg/2.56m=1.0kg/m$

#### **10.7.2.2. Carga Muerta Cordones Inferior (Arco Inferior)**

Tableta de caucho:  $1.0m*20kg/m^2= 28.8kg/m$

Latas de guadua:  $2.0m*25kg/m^2= 50kg/m$

Cordón inferior 8 guaduas:  $24Kg/m$

Peso de baranda:  $10kg/m$

Peso de mortero= $2.04kg/m$

Peso por lámina asbesto-cemento  $15kg/m^2*2.0m=30.0kg/m$

Total, carga muerta= $144.84kg/m$

### **10.7.3. Carga permanente debido al peso de los elementos guadua, tablero de piso y membrana en cubierta**

Longitud elementos guaduas: 1156m

Peso:  $1156 \times 3.0 \text{ kg/m} = 3468 \text{ kg}$

Longitud de tablero: 43m

Peso:  $25 \text{ kg/m}^2 \times 43 \text{ m} \times 1.80 \text{ m} = 1935 \text{ kg}$

Peso por membrana:  $4 \text{ kg/m}^2 \times 42 \text{ m} \times 3.68 \text{ m} = 618 \text{ kg}$

Total peso permanente: 6021kg

Fuerza sísmica:

$V_s = SDS = 1.3 \times 0.6 = 0.78$

$V_s = 0.78 \times 6021 \text{ kg} = 4696 \text{ kg}$

### **10.7.4. Carga viva**

La carga viva (CV) la constituyen las fuerzas producidas por el uso y ocupación de la estructura especificadas para el proyecto como:

$CV = 4.50 \text{ kN/m}^2$  (sobre los elementos estructurales de piso)

Carga viva=  $450 \text{ kg/m}^2$

Ancho aferente medio=  $(3+2)\text{m}/2 = 2.5\text{m}$

Carga viva= $450 \text{ kg/m}^2 \times 2.5 \text{ m} / 2 = 562.5 \text{ k/m}$

#### **10.7.4.1. Carga viento (W)**

Se tomó una presión de  $171 \text{ kg/m}^2$  incidiendo sobre el área vertical comprendida entre el cordón superior e inferior. Además, se aplicará presión del viento vertical por levantamiento de  $0.020 \text{ ksf}$  ( $0.96 \text{ kN/m}^2$ ) [1]

Una carga de viento de la intensidad siguiente se aplicará horizontalmente, en ángulo recto con el eje longitudinal de la estructura. La carga del viento se aplica en

el área vertical proyectada de todos los elementos de la superestructura, incluyendo miembros de la armadura expuestas en el entramado de sotavento.

Para armaduras y arcos: 75 libras por pie cuadrado (Psf) ó 366,18 (Kgf/m<sup>2</sup>)

Para vigas y viguetas: 50 libras por pie cuadrado (Psf) ó 244,12 (Kgf/m<sup>2</sup>)

Para puentes armadura abierta, donde el viento puede pasar fácilmente a través de los elementos. Los puentes se pueden diseñar para una carga horizontal mínima de 35 libras por pie cuadrado ó 170,88 (Kgf/m<sup>2</sup>) en el área vertical total proyectada del puente, como si fuese encerrado [1].

Se tomó 1.71kN/m<sup>2</sup>, según al siguiente esquema se tiene:

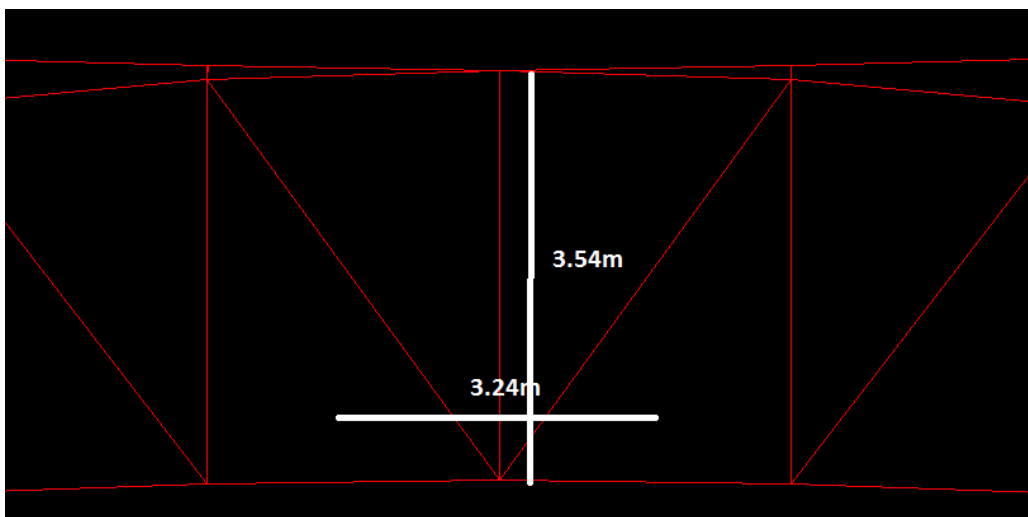


Ilustración 15: dimensiones en centro de luz

Para un área de  $3.24\text{m} \times 3.54\text{m} = 11.47\text{m}^2$

Fuerza que ejerce la presión del viento:  $1.71\text{kN/m}^2 \times 11.47\text{m}^2 = 19.6\text{kN}$ , fuerza que se aplicará en el paral, diagonales y en el cordón superior e inferior a:

Longitud de cordón superior e inferior+long. De paral+Long.  
Diagonales= $3.24 \times 2 + 3.54 + 4.26 = 14.28\text{m}$

Fuerza por/m en barlovento= $19.6\text{kN}/14.28\text{m} = 1.37\text{kN/m}$  aplicada a los cordones superior e inferior, diagonales y paralelos

En el plano de sotavento se toma un factor de resguardo de 0.5 por lo cual esta carga se reduce a la mitad (0.685 kN/m).

#### **10.7.5. Presión De Viento Horizontal Perpendicular A La Longitud Del Puente**

Fuerza por/m en barlovento=19.6kN/14.28m=1.37kN/m se considera alto

Se tomó la proyección del diámetro de la guadua de 12cm de diámetro.

$$171\text{kg/m}^2 \cdot 12\text{m} = 20.52\text{kg/m}$$

#### **10.7.6. Presión De Viento Perpendicular A La Cubierta Ascendente Y Descendente**

0.96kN/m<sup>2</sup>) (Barlovento) referencia

0.48kN/m<sup>2</sup>) (Sotavento)

#### **10.7.7. Carga Muerta Cordón Superior Interno De Cubierta**

Ancho aferente medio= 1.72m

Peso cubierta tenso estructura:  $1.72\text{m}^2 \cdot 4\text{kg/m}^2 = 6.88\text{g/m}$

Peso por cordón 1 guadua: 3Kg/m

Peso de mortero= 2.04kg/m

Total, carga muerta 11.92 aproximada 12kg/m

Carga viva= No se considero

#### **10.7.8. Carga Muerta Cordones Superior Externos De Cubierta**

Ancho aferente medio= 0.86m

Total, carga muerta 6kg/m

Carga viva= No se considero

#### **10.7.9. Carga Viva De Barandas**

De acuerdo con B.4.2.2. NSR 10 la carga viva de diseño para barandas peatonales debe ser de 100kgf/m o 74.4 kgf/m actuando simultáneamente en dirección horizontal y vertical, se aplicará 100kgf/m equivalente 1.00kN/m

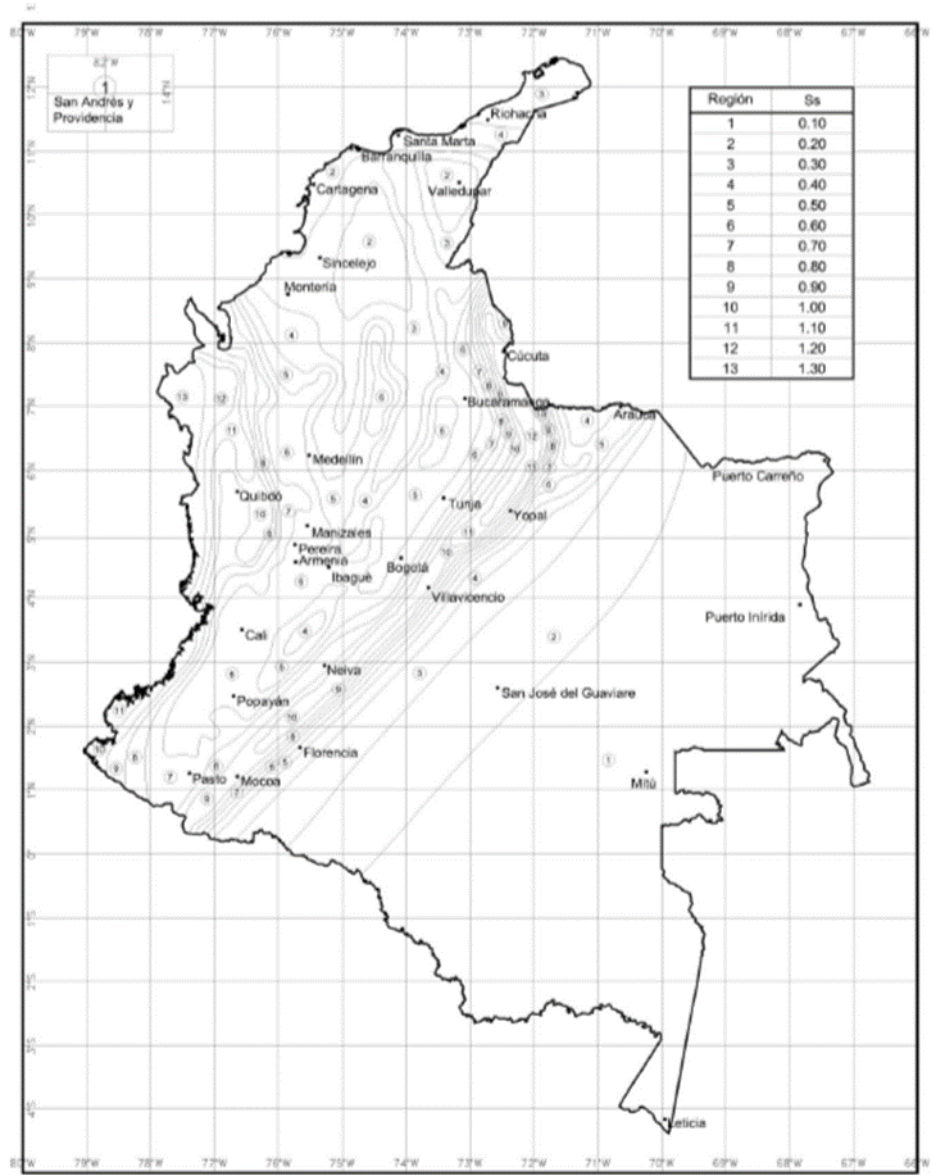
La aplicación de la carga simultánea horizontal y vertical aplicará para el cordón superior de la cercha que sirve como pasamanos.

#### **10.7.10. Vehículo de Carga**

Los Puentes para Peatones/Bicicletas deben ser diseñados para una sola carga ocasional del vehículo de mantenimiento, siempre y cuando el acceso de vehículos no esté físicamente impedido. Para este caso no se empleará vehículo de mantenimiento.

### **10.8. Cargas Sísmicas**

La ubicación del puente se encuentra en la zona rural del municipio de San Francisco Cundinamarca.



MAPA DE VALORES Ss

Ilustración 16: mapa de valores Ss. Fuente: código colombiano de puentes CCP-14

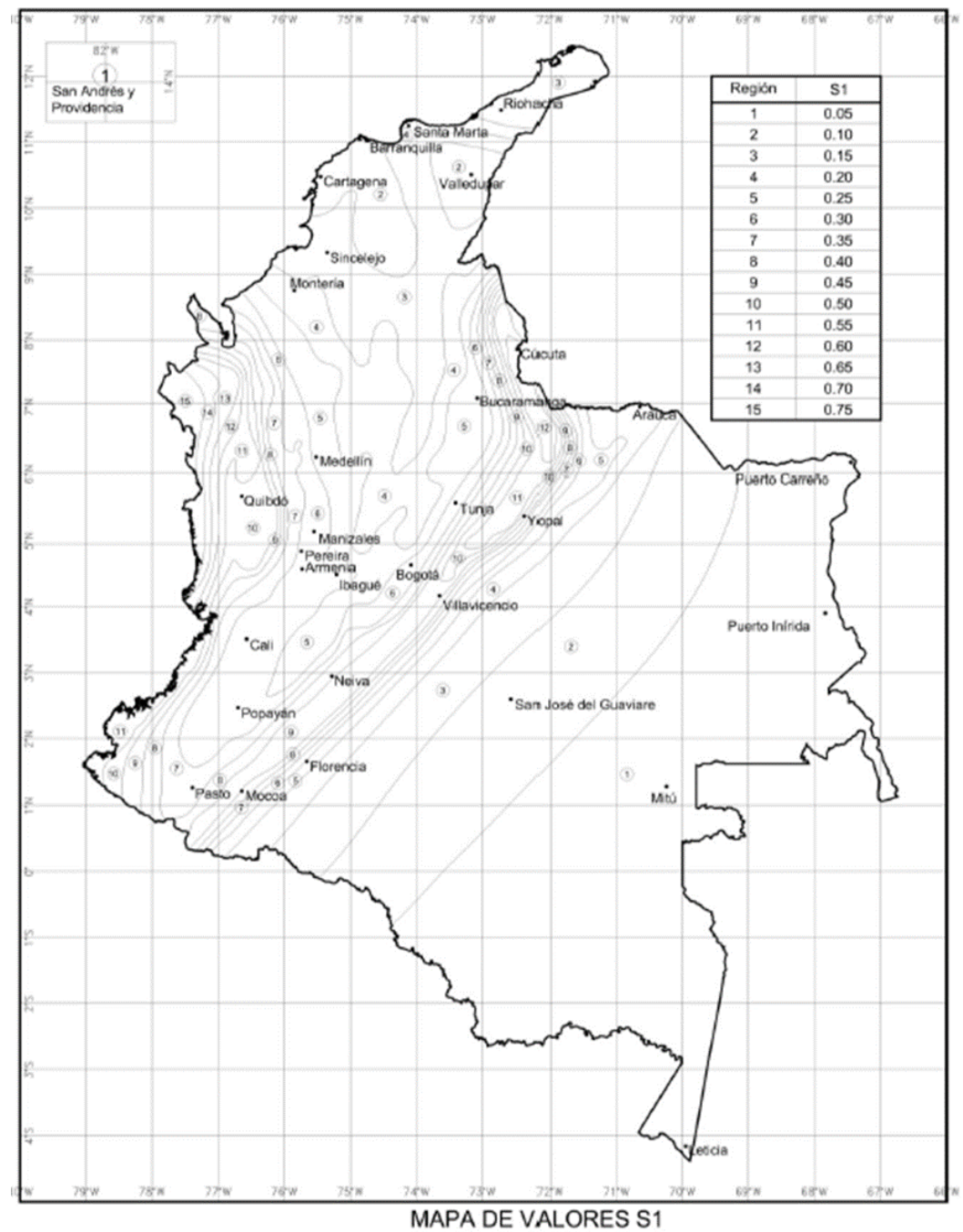


Ilustración 17: mapa de valores S1. Fuente: código colombiano de puentes CCP-14

De conformidad al estudio de suelo el perfil del suelo es D.

S<sub>s</sub>: Coeficiente de Aceleración Espectral Horizontal para un período de vibración de 0.2 segundos ( S<sub>s</sub> ) para 5% del amortiguamiento crítico y con 7% de probabilidad de excedencia en 75 años (aproximadamente 1000 años de período promedio de retorno) expresada en la aceleración de la gravedad ( g )=0.60 (Región 6)

PGA: Aceleración Pico Horizontal del Terreno (PGA) con 7% de probabilidad de excedencia en 75 años (aproximadamente 1000 años de período promedio de retorno) expresada en la aceleración de la gravedad (g)=0.25 (Región 5)

S1: Coeficiente de Aceleración Espectral Horizontal para un período de vibración de 1.0 segundos (1 S) para 5% del amortiguamiento crítico y con 7% de probabilidad de excedencia en 75 años (aproximadamente 1000 años de período promedio de retorno) expresada en la aceleración de la gravedad ( g )=0.30 (Región 6)

**Tabla 3.10.3.2-2 — Valores del factor de Sitio,  $F_a$ , en el intervalo de períodos de vibración cortos del Espectro de Aceleraciones**

| Tipo de Perfil | Coeficiente de aceleración espectral para período de vibración de 0.2s<br>(Véase la Nota 1) |              |              |              |                 |
|----------------|---|--------------|--------------|--------------|-----------------|
|                | $S_s \leq 0.25$   | $S_s = 0.50$ | $S_s = 0.75$ | $S_s = 1.00$ | $S_s \geq 1.25$ |
| A              | 0.8   | 0.8          | 0.8          | 0.8          | 0.8             |
| B              | 1.0   | 1.0          | 1.0          | 1.0          | 1.0             |
| C              | 1.2   | 1.2          | 1.1          | 1.0          | 1.0             |
| D              | 1.6   | 1.4          | 1.2          | 1.1          | 1.0             |
| E              | 2.5   | 1.7          | 1.2          | 0.9          | 0.9             |
| F              | véase nota 2  | véase nota 2 | véase nota 2 | véase nota 2 | véase nota 2    |

**Notas:**

1. Se debe usar una interpolación lineal para valores intermedios de  $S_s$
2. Para el perfil tipo F debe realizarse un estudio de sitio particular para el lugar específico y debe llevarse a cabo un análisis de amplificación de onda.

Tabla 3: Valores del Factor sitio Fa en el intervalo de períodos de vibración cortos del espectro de aceleraciones.  
Fuente. Norma Colombiana de Diseño de Puentes CCP-14

Para tipo de perfil de suelo D y S<sub>s</sub>=0.60

Fa=1.32

**Tabla 3.10.3.2-1 — Valores del factor de Sitio,  $F_{pga}$ , en el período de vibración cero del Espectro de Aceleraciones**

| Tipo de Perfil | Intensidad de los movimientos sísmicos <small>(Véase la Nota 1)</small> |              |              |              |                |
|----------------|---|--------------|--------------|--------------|----------------|
|                | $PGA \leq 0.1$  | $PGA = 0.2$  | $PGA = 0.3$  | $PGA = 0.4$  | $PGA \geq 0.5$ |
| A              | 0.8   | 0.8          | 0.8          | 0.8          | 0.8            |
| B              | 1.0   | 1.0          | 1.0          | 1.0          | 1.0            |
| C              | 1.2   | 1.2          | 1.1          | 1.0          | 1.0            |
| D              | 1.6   | 1.4          | 1.2          | 1.1          | 1.0            |
| E              | 2.5   | 1.7          | 1.2          | 0.9          | 0.9            |
| F              | véase nota 2  | véase nota 2 | véase nota 2 | véase nota 2 | véase nota 2   |

Tabla 4: Valores del factor sitio  $F_{pga}$ , en el período de vibración cero del espectro de aceleraciones. Fuente: Norma colombiana de diseño de puentes CCP-14

Para tipo de perfil de suelo D y  $PGA=0.25$ ,  $F_{pga}=1.3$

**Tabla 3.10.3.2-3 — Valores del factor de Sitio,  $F_v$ , en el intervalo de períodos de vibración largos del Espectro de Aceleraciones**

| Tipo de Perfil | Coeficiente de aceleración espectral para período de vibración de 1.0s <small>(Véase la Nota 1)</small> |              |              |              |                 |
|----------------|---|--------------|--------------|--------------|-----------------|
|                | $S_1 \leq 0.10$   | $S_1 = 0.20$ | $S_1 = 0.30$ | $S_1 = 0.40$ | $S_1 \geq 0.50$ |
| A              | 0.8   | 0.8          | 0.8          | 0.8          | 0.8             |
| B              | 1.0   | 1.0          | 1.0          | 1.0          | 1.0             |
| C              | 1.7   | 1.6          | 1.5          | 1.4          | 1.3             |
| D              | 2.4   | 2.0          | 1.8          | 1.6          | 1.5             |
| E              | 3.5   | 3.2          | 2.8          | 2.4          | 2.4             |
| F              | véase nota 2  | véase nota 2 | véase nota 2 | véase nota 2 | véase nota 2    |

**Notas:**

1. Se debe usar una interpolación lineal para valores intermedios de  $S_1$
2. Para el perfil tipo F debe realizarse un estudio de sitio particular para el lugar específico y debe llevarse a cabo un análisis de amplificación de onda.

Tabla 5: Valores del factor sitio  $F_v$ , en el intervalo de períodos de vibración largos del espectro de aceleraciones. Fuente: código colombiano de puentes CCP-14

$F_v=1.8$

Para la evaluación sísmica de todos los elementos estructurales constitutivos se utilizó el espectro de diseño dado por el Código Colombiano de Puentes CCP-14

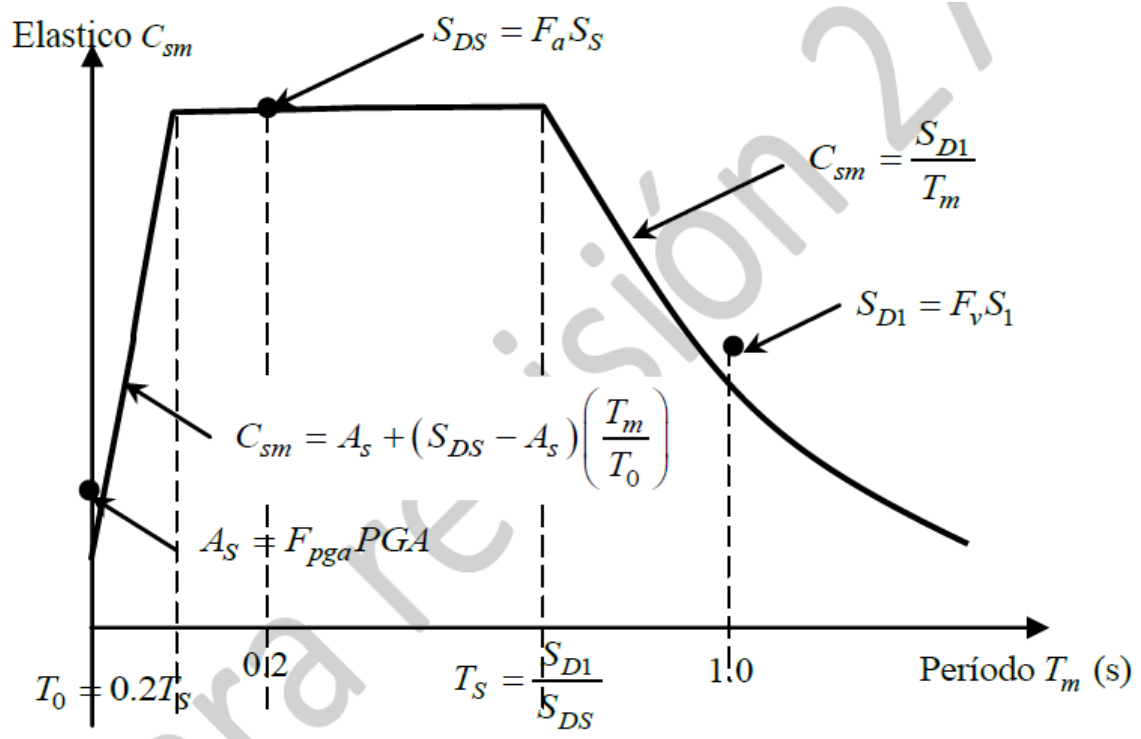


Ilustración 18: Espectro elástico de aceleraciones. Fuente. Código Colombiano de Puentes CCP-14

|             |                 |        |         |          |       |
|-------------|-----------------|--------|---------|----------|-------|
| $FV = 1.8$  | $TS = 0.68$     | $CSM$  | $T (s)$ | $0.2077$ | $2.6$ |
| $S1 = 0.3$  | $To = 0.14$     | 0.3250 | 0       | 0.1929   | 2.8   |
| $SD1 = 0.5$ |                 | 0.7920 | 0.14    | 0.1800   | 3     |
| $Fa = 1.3$  | $PGA = 0.25$    | 0.7920 | 0.2     | 0.1688   | 3.2   |
| $SS = 0.6$  | $F_{pga} = 1.3$ | 0.7920 | 0.4     | 0.1588   | 3.4   |
| $SDS = 0.8$ | $AS = 0.325$    | 0.7920 | 0.6     | 0.1500   | 3.6   |
|             |                 | 0.7920 | 0.68    | 0.1421   | 3.8   |
|             |                 | 0.6750 | 0.8     | 0.1350   | 4     |
|             |                 | 0.5400 | 1       | 0.1286   | 4.2   |
|             |                 | 0.4500 | 1.2     | 0.1227   | 4.4   |
|             |                 | 0.3857 | 1.4     | 0.1174   | 4.6   |
|             |                 | 0.3375 | 1.6     | 0.1125   | 4.8   |
|             |                 | 0.3000 | 1.8     | 0.1080   | 5     |
|             |                 | 0.2700 | 2       |          |       |
|             |                 | 0.2455 | 2.2     |          |       |
|             |                 | 0.2250 | 2.4     |          |       |

Tabla 6: Datos del espectro de diseño. Fuente. Elaboración propia

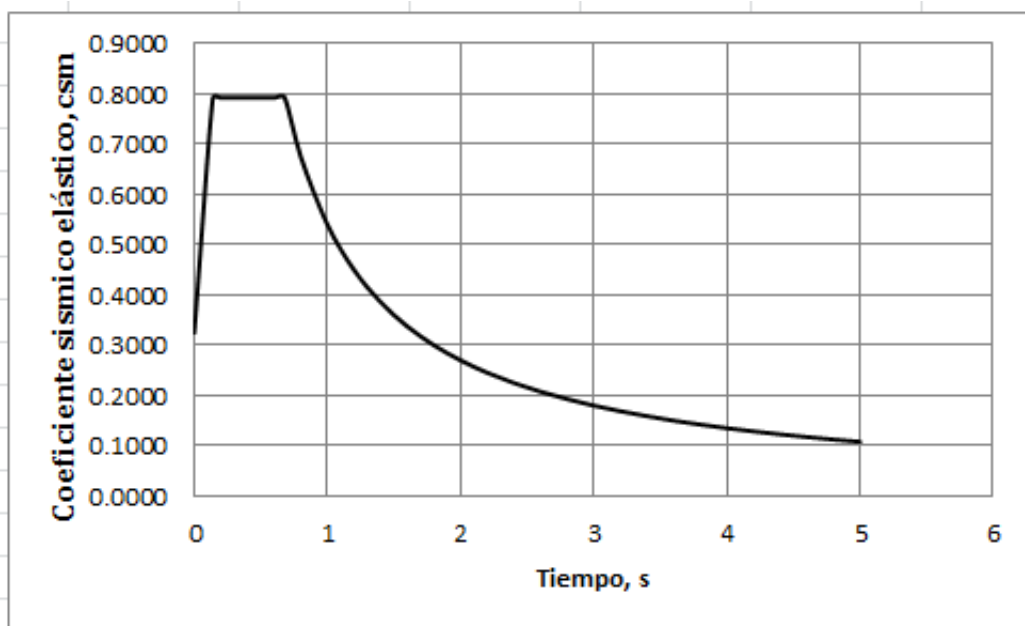


Ilustración 19: Espectro elástico de diseño. Fuente. Elaboración propia

Coeficiente de capacidad de disipación de energía ( $R$ ) = 1.0 (Estructura Articulada)

Para la combinación ortogonal de fuerzas sísmicas se asume que los valores en el sentido ortogonal al eje principal (x o y) son iguales al 30%.

La masa será ingresada de acuerdo a la evaluación de cargas.

#### 10.8.1. Casos De Carga

- CARGA MUERTA (CM)
- CARGA VIVA (CV1)
- CARGA VIVA (CV2)
- CARGA VIVA (CV3)
- CARGA VIVA (CV4) etc.
- CARGA DE VIENTO (WB) – viento barlovento
- CARGA DE VIENTO (WS) – viento sotavento
- EQx – sismo dirección Longitudinal
- EQy - sismo dirección transversal

CV1, CV2 , CV3 , CV4, etc., corresponden a la carga viva aplicada en cada una de las luces del puente por separado, con el objeto de considerar las diferentes posiciones de la carga viva en la luz del puente de manera que se produzcan los

mayores esfuerzos en los elementos del puente y considerando condiciones de carga excéntrica.

#### **10.8.2. Análisis de Combinaciones de carga para carga viva**

Se determina la envolvente de carga viva (CV) bajo las siguientes posibilidades de combinación.

PP- Peso propio de la estructura y soportes

Caso1 = CM Carga permanente debido al peso de la losa

Caso 2=CM + CV1(carga viva sobre toda la superficie del tablero)

Caso 3=CM + CV4(carga viva sobre la mitad de la superficie del tablero carga excéntrica anterior).

Caso 4=CM + CV5(carga viva sobre la mitad de la superficie del tablero carga excéntrica posterior).

Caso 5=CM + CV7(carga viva horizontal y vertical sobre las barandas del tablero, )

Caso 6= Presión del viento en barlovento y sotavento, horizontal perpendicular al eje del puente, longitudinal, ascendente y descendente.

### 10.8.3. Combinaciones De Carga según CCP14

| Estado Límite de la Combinación de carga               | <i>DC</i>  | <i>DD</i>     | <i>DW</i> | <i>EH</i> | <i>EV</i> | <i>ES</i> | <i>EL</i> | <i>PS</i>     | <i>CR</i>     | <i>SH</i> | <i>LL</i> | <i>IM</i> | <i>CE</i> | <i>BR</i> | <i>PL</i> | <i>LS</i> | <i>WA</i> | <i>WS</i> | <i>WL</i> | <i>FR</i> | <i>TU</i> | <i>TG</i> | <i>SE</i> | <i>EQ</i> | <i>BL</i> | <i>IC</i> | <i>CT</i> | <i>CV</i> | Use uno de estos a la vez |   |   |  |
|--|------------|---------------|-----------|-----------|-----------|-----------|-----------|---------------|---------------|-----------|-----------|-----------|-----------|-----------|-----------|-----------|-----------|-----------|-----------|-----------|-----------|-----------|-----------|-----------|-----------|-----------|-----------|-----------|---------------------------|---|---|--|
|  |            |               |           |           |           |           |           |               |               |           |           |           |           |           |           |           |           |           |           |           |           |           |           |           |           |           |           |           |                           |   |   |  |
| Resistencia I (a menos que se indique)                 | $\gamma_p$ | 1.75          | 1.00      | -         | -         | 1.00      | 0.50/1.20 | $\gamma_{TG}$ | $\gamma_{SE}$ | -         | -         | -         | -         | -         | -         | -         | -         | -         | -         | -         | -         | -         | -         | -         | -         | -         | -         | -         | -                         |   |   |  |
| Resistencia II   | $\gamma_p$ | 1.35          | 1.00      | -         | -         | 1.00      | 0.50/1.20 | $\gamma_{TG}$ | $\gamma_{SE}$ | -         | -         | -         | -         | -         | -         | -         | -         | -         | -         | -         | -         | -         | -         | -         | -         | -         | -         | -         | -                         |   |   |  |
| Resistencia III  | $\gamma_p$ | -             | 1.00      | 1.40      | -         | 1.00      | 0.50/1.20 | $\gamma_{TG}$ | $\gamma_{SE}$ | -         | -         | -         | -         | -         | -         | -         | -         | -         | -         | -         | -         | -         | -         | -         | -         | -         | -         | -         | -                         |   |   |  |
| Resistencia IV   | $\gamma_p$ | -             | 1.00      | -         | -         | 1.00      | 0.50/1.20 | -             | -             | -         | -         | -         | -         | -         | -         | -         | -         | -         | -         | -         | -         | -         | -         | -         | -         | -         | -         | -         | -                         | - |   |  |
| Resistencia V  | $\gamma_p$ | 1.35          | 1.00      | 0.40      | 1.0       | 1.00      | 0.50/1.20 | $\gamma_{TG}$ | $\gamma_{SE}$ | -         | -         | -         | -         | -         | -         | -         | -         | -         | -         | -         | -         | -         | -         | -         | -         | -         | -         | -         | -                         |   |   |  |
| Evento Extremo I                                       | $\gamma_p$ | $\gamma_{EQ}$ | 1.00      | -         | -         | 1.00      | -         | -             | -             | -         | -         | -         | -         | -         | -         | -         | -         | -         | -         | -         | -         | -         | -         | -         | -         | -         | -         | -         | -                         | - |   |  |
| Evento Extremo II                                      | $\gamma_p$ | 0.50          | 1.00      | -         | -         | 1.00      | -         | -             | -             | -         | -         | -         | -         | -         | -         | -         | -         | -         | -         | 1.00      | 1.00      | 1.00      | 1.00      | 1.00      | 1.00      | 1.00      | 1.00      | 1.00      | 1.00                      |   |   |  |
| Servicio I   | 1.00       | 1.00          | 1.00      | 0.30      | 1.0       | 1.00      | 1.00/1.20 | $\gamma_{TG}$ | $\gamma_{SE}$ | -         | -         | -         | -         | -         | -         | -         | -         | -         | -         | -         | -         | -         | -         | -         | -         | -         | -         | -         | -                         | - |   |  |
| Servicio II  | 1.00       | 1.30          | 1.00      | -         | -         | 1.00      | 1.00/1.20 | -             | -             | -         | -         | -         | -         | -         | -         | -         | -         | -         | -         | -         | -         | -         | -         | -         | -         | -         | -         | -         | -                         | - | - |  |
| Servicio III   | 1.00       | 0.80          | 1.00      | -         | -         | 1.00      | 1.00/1.20 | $\gamma_{TG}$ | $\gamma_{SE}$ | -         | -         | -         | -         | -         | -         | -         | -         | -         | -         | -         | -         | -         | -         | -         | -         | -         | -         | -         | -                         | - |   |  |
| Servicio IV  | 1.00       | -             | 1.00      | 0.70      | -         | 1.00      | 1.00/1.20 | -             | 1.0           | -         | -         | -         | -         | -         | -         | -         | -         | -         | -         | -         | -         | -         | -         | -         | -         | -         | -         | -         | -                         | - |   |  |
| Fatiga I-<br>Sólo <i>LL</i> , <i>IM</i> & <i>CE</i>    | -          | 1.50          | -         | -         | -         | -         | -         | -             | -             | -         | -         | -         | -         | -         | -         | -         | -         | -         | -         | -         | -         | -         | -         | -         | -         | -         | -         | -         | -                         | - | - |  |
| Fatiga I II-<br>Sólo <i>LL</i> , <i>IM</i> & <i>CE</i> | -          | 0.75          | -         | -         | -         | -         | -         | -             | -             | -         | -         | -         | -         | -         | -         | -         | -         | -         | -         | -         | -         | -         | -         | -         | -         | -         | -         | -         | -                         | - | - |  |

Tabla 7: Combinaciones de carga. Fuente. Código Colombiano de Puentes CCP-14

#### 10.8.3.1. Combinaciones de Carga de Resistencia Última (STRENGTH I, II, III, IV y V)

Contienen cargas permanentes y cargas transitorias de alta probabilidad de ocurrencia, con factores de mayoración, utilizadas en el diseño bajo el paradigma de cargas últimas resistentes como en los elementos de hormigón armado o de acero al carbono.

### 10.8.3.2. Denominación de cargas

- Cargas permanentes

|           |   |
|-----------|---|
| <i>CR</i> | = fuerzas debidas al flujo plástico   |
| <i>DD</i> | = fuerza de fricción negativa [downdrag]  |
| <i>DC</i> | = peso propio de los componentes estructurales y de los accesorios no estructurales   |
| <i>DW</i> | = peso propio carpeta de rodamiento y de las instalaciones  |
| <i>EH</i> | = empuje horizontal del suelo   |
| <i>EL</i> | = fuerzas misceláneas resultantes del proceso de construcción, incluyendo el izaje de voladizos en construcción por segmentos |
| <i>ES</i> | = sobrecarga de suelo   |
| <i>EV</i> | = presión vertical del peso propio del suelo de relleno   |
| <i>PS</i> | = fuerzas secundarias debidas a pretensado  |
| <i>SH</i> | = fuerzas debidas a retracción  |

- Cargas transitorias

|           |  |
|-----------|--|
| <i>BL</i> | = carga de explosión                     |
| <i>BR</i> | = fuerza de frenado vehicular            |
| <i>CE</i> | = fuerza centrífuga vehicular            |
| <i>CT</i> | = fuerza de colisión vehicular           |
| <i>CV</i> | = fuerza de colisión de embarcaciones    |
| <i>EQ</i> | = carga sísmica                          |
| <i>FR</i> | = carga de fricción                      |
| <i>IC</i> | = carga de hielo                         |
| <i>IM</i> | = incremento de carga dinámica vehicular |
| <i>LL</i> | = carga viva vehicular                   |

|           |  |
|-----------|--|
| <i>LS</i> | = sobrecarga de carga viva                   |
| <i>PL</i> | = carga viva peatonal                        |
| <i>SE</i> | = fuerzas debidas a asentamiento             |
| <i>TG</i> | = fuerzas debidas a gradiente de temperatura |
| <i>TU</i> | = fuerza debida a temperatura uniforme       |
| <i>WA</i> | = carga de agua y presión de la corriente    |
| <i>WL</i> | = carga de viento sobre la carga viva        |
| <i>WS</i> | = carga de viento sobre la estructura        |

### **10.8.3.3. Combinaciones de Carga de Eventos Extremos (EXTREME EVENT I y II):**

Contienen cargas permanentes de alta probabilidad de ocurrencia y cargas ocasionales de muy baja probabilidad de ocurrencia (sismos severos, socavación extrema, etc.). Las cargas permanentes y ocasionales son afectadas por factores de mayoración, y las acciones extremas no son mayoradas.

### **10.8.3.4. Combinación de Carga de Fatiga y Fractura (FATIGUE)**

Permite incluir el efecto dinámico de las cargas vivas de alta probabilidad de ocurrencia repetitiva. Fundamentalmente se utiliza en elementos de acero.

El factor que afecta a las cargas vivas como producto de los sismos  $\gamma_{EQ}$  se debe determinar en función de la carga viva más probable durante la ocurrencia del sismo de diseño. Generalmente se considera como una pequeña fracción de la carga viva ( $\gamma_{EQ} * 0.15-0.25$ ), excepto en puentes ubicados en zonas urbanas de alta densidad en que la fracción es más alta ( $\gamma_{EQ} * 0.25-0.50$ ).

A continuación se presenta una tabla que define el factor  $\alpha_P$  que afecta a las cargas gravitacionales en las combinaciones de carga.

- Servicio I — Combinación de carga relacionada con la operación normal de uso del puente con un viento de 90 km/h y con todas las cargas tomadas en sus valores nominales. También relacionada con control de deflexiones en estructuras metálicas enterradas, revestimientos de túneles, y tubería termoplástica, para control de la anchura de fisura en estructuras de concreto reforzado, y para análisis transversal relacionado con tracción en vigas de concreto por segmentos. Esta combinación de carga también debe utilizarse para la investigación de la estabilidad de taludes.
- Servicio II — Combinación de carga para controlar fluencia de estructuras de acero y deslizamiento de conexiones a deslizamiento crítico debido a carga viva vehicular.
- Servicio III — Combinación de carga para análisis longitudinal relacionado con tracción en superestructuras de concreto pre esforzado con el objetivo de control de fisuras y de la tracción principal en las almas de vigas de concreto por segmentos.
- Servicio IV — Combinación de carga relacionada solamente con tracción en columnas de concreto pre esforzado con el objetivo de control de fisuras.

**Tabla 3.4.1-2 — Factores para cargas permanentes,  $\gamma_p$**

| Tipo de Carga, tipo de Cimentación, y Método para Calcular la fricción negativa |  | Factor de Carga     |                      |
|---|--|---------------------|----------------------|
|   |  | Máximo              | Mínimo               |
| <i>DC</i> : Sólo Resistencia IV   |  | 1.25                | 0.90                 |
| <i>DC</i> : Componentes y Accesorios  |  | 1.50                | 0.90                 |
| <i>DD</i> : Fricción negativa   | Pilas, Método $\alpha$ Tomlinson<br>Pilas, Método $\lambda$<br>Pozos perforados, Método O'Neill and Reese (1999) | 1.4<br>1.05<br>1.25 | 0.25<br>0.30<br>0.35 |
| <i>DW</i> : Superficie de rodadura e instalaciones                              |  | 1.50                | 0.65                 |
| <i>EH</i> : Presión horizontal de suelo   |  |                     |                      |
| • Activa  |  | 1.50                | 0.90                 |
| • En reposo   |  | 1.35                | 0.90                 |
| • <i>AEP</i> para muros anclados  |  | 1.35                | N/A                  |
| <i>EL</i> : Tensiones residuales de Construcción                                |  | 1.00                | 1.00                 |
| <i>EV</i> : Presión vertical de suelo   |  |                     |                      |
| • Estabilidad general   |  | 1.00                | N/A                  |
| • Muros de Contención y Estriplos   |  | 1.35                | 1.00                 |
| • Estructuras Rígidas Enterradas  |  | 1.30                | 0.90                 |
| • Marcos Rígidos  |  | 1.35                | 0.90                 |
| • Estructuras Flexibles Enterradas  | ○ Alcantarillas Metálicas y Alcantarillas Armadas Estructurales Corrugas Profundas                               | 1.5                 | 0.9                  |
|   | ○ Alcantarillas Termoplásticas   | 1.3                 | 0.9                  |
|   | ○ Todas las demás  | 1.95                | 0.9                  |
| <i>ES</i> : Sobrecarga de suelo   |  | 1.50                | 0.75                 |

Tabla 8: Factores para carga permanente. Fuente. Código Colombiano de Puentes CCP-14

#### 10.8.4. Combinaciones De Carga

Resistencia I: 1.25DC+1.75PL+1.2TU

Resistencia II: 1.25DC+1.35PL+1.2TU

Resistencia III: 1.25DC+1.4WS

Resistencia IV: 1.5DC+1.2TU

Resistencia V: 1.25DC+1.35PL+0.4WS+1.2TU

Evento extremo I: 1.25DC+0.5PL+1.0EQ

Fatiga II. 0.75PL

DC: Carga muerta de los componentes y auxiliares

PL: Carga viva de peatones

TU: Temperatura uniforme

WS: Efecto del viento sobre la estructura

EQ: Efecto sísmico

### **10.8.5. Definición del nivel de comodidad.**

La comodidad o el confort es muy subjetivo y particular, a un nivel de aceleración, esta se experimentará de manera diferente, dependiendo de la persona (edad, sexo o peso), a continuación se indica los diferentes tipos de comodidad o confort (5).

Máximo confort: Las aceleraciones que sufre la estructura son prácticamente imperceptibles para los usuarios.

2. Comodidad Media: Las aceleraciones sufridas por la estructura son simplemente perceptibles por los usuarios.

3. Comodidad Mínima: Las aceleraciones sufridas por la estructuras, son percibidos por los usuarios, pero no se convierten en intolerables.

#### **10.8.5.1. Aceleración rangos asociados a niveles de confort**

La Tabla 9 y la Tabla 10. Definen 4 rangos de valor 1, 2, 3 y 4, para las aceleraciones verticales y lateral respectivamente. En orden ascendente, los tres primeros rangos corresponden a los valores máximo, media y mínima de niveles de confort. El rango cuarto corresponde a niveles de aceleración incómoda que no son aceptables.

| Rango de aceleraciones | 0    | 0.5   | 1      | 2 | .5       |
|------------------------|------|-------|--------|---|----------|
| Rango 1                | Max. |       |        |   |          |
| Rango 2                |      | Medio |        |   |          |
| Rango 3                |      |       | Mínimo |   |          |
| Rango 4                |      |       |        |   | Incómodo |

Tabla 9: Rango de aceleraciones ( $m/s^2$ ) para vibración vertical (Sétra, 2006)

| Rango de aceleraciones | 0    | 0 .1 | 0 .15 | 0 .3   | 0 .8 |
|------------------------|------|------|-------|--------|------|
| Rango 1                | Max. |      |       |        |      |
| Rango 2                |      |      | Medio |        |      |
| Rango 3                |      |      |       | Mínimo |      |
| Rango 4                |      |      |       |        | Red  |

Tabla 10: Rango de aceleraciones (m/s<sup>2</sup>) para vibración horizontal (Sétra, 2006):

Se puede calcular la frecuencia y el riesgo de resonancia, hay cuatro rangos de frecuencia a tener en cuenta:

- Rango 1: riesgo máximo de resonancia.
- Rango 2: riesgo medio de resonancia.
- Rango 3: bajo riesgo de resonancia para las situaciones de carga estándar.
- Rango 4: riesgo insignificante de resonancia.

| Rango de frecuencias | 0     | 1    | 1.7 | 2.1  | 2.6    | 5     |
|----------------------|-------|------|-----|------|--------|-------|
| Rango 1              |       |      | Red |      |        |       |
| Rango 2              |       | Pink |     | Pink |        |       |
| Rango 3              |       |      |     |      | Yellow |       |
| Rango 4              | Green |      |     |      |        | Green |

Tabla 11: Rango frecuencias (Hz) para vibración vertical y longitudinal (Sétra, 2006)

| Rango de frecuencias | 0 | 0.3 | 0.5 | 1.1 | 1.3 | 2.5 |
|----------------------|---|-----|-----|-----|-----|-----|
| Rango 1              |   |     |     |     |     |     |
| Rango 2              |   |     |     |     |     |     |
| Rango 3              |   |     |     |     |     |     |
| Rango 4              |   |     |     |     |     |     |

Tabla 12: Rango frecuencias (Hz) para vibración horizontal lateral (Sétra, 2006)

### 10.9. Análisis Dinámico De La Estructura

El análisis dinámico de la estructura se realizó utilizando el programa de computo elaborado por Computers and Structures, Inc. denominado SAP 2000 (Structural Analysis Program) versión 14.2.5. Es un programa desarrollado en la Universidad de Berkeley, California, EEUU. Con el programa se puede diseñar con diferentes reglamentos; ofrece análisis estático, análisis dinámico modal espectral para elementos y placas. También diseña elementos de acero y concreto, además efectúa análisis dinámico, tiempo historia y análisis de elementos planos de puentes y análisis dinámico tiempo historia no lineal (amortiguadores o disipadores, aisladores de base) y ofrece además análisis pushover 3-D estático. Como se puede apreciar sus propósitos son múltiples en lo que respecta al análisis y diseño de estructuras.

Con el programa mencionado, las armaduras se modelaron con elementos frame (barras), ver 'Figura Modelo tridimensional del proyecto definitivo del puente peatonal'.

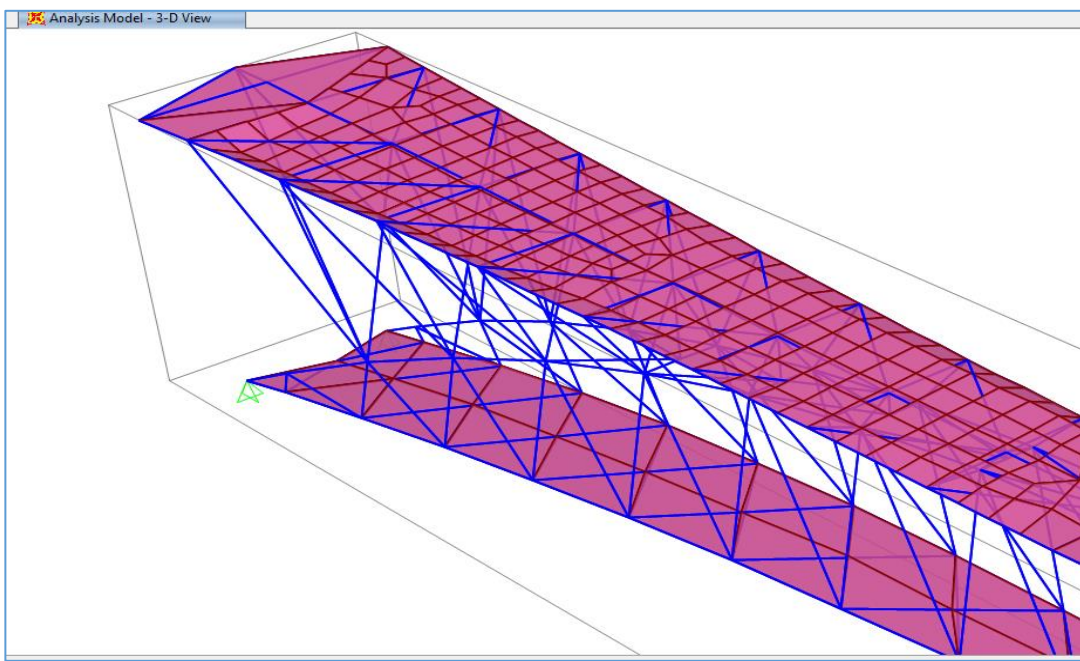


Ilustración 20: modelo del puente cargado a programa SAP-2000

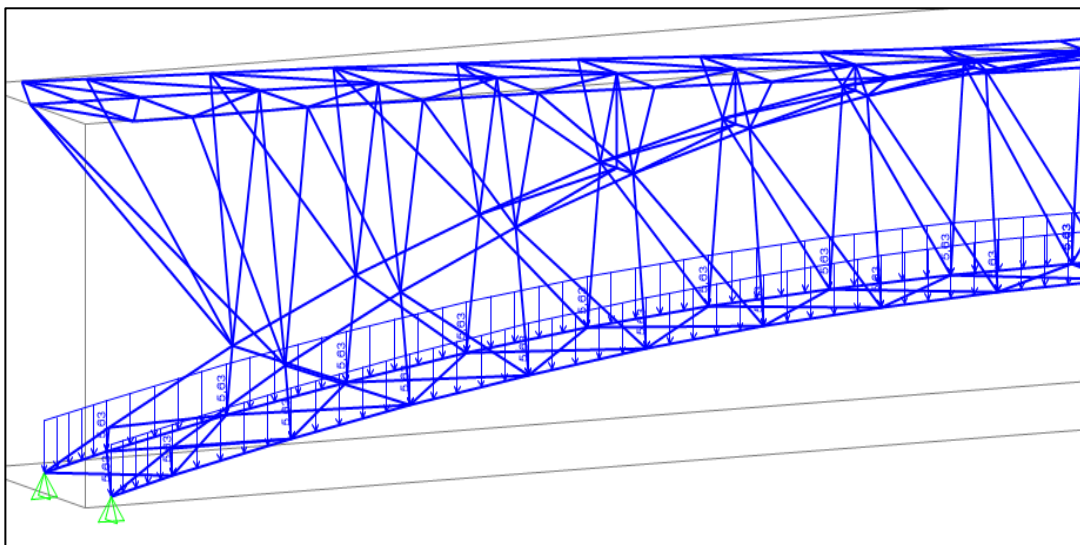


Ilustración 21: colocación de la carga (CVT) Carga viva en tablero al modelo en SAP2000

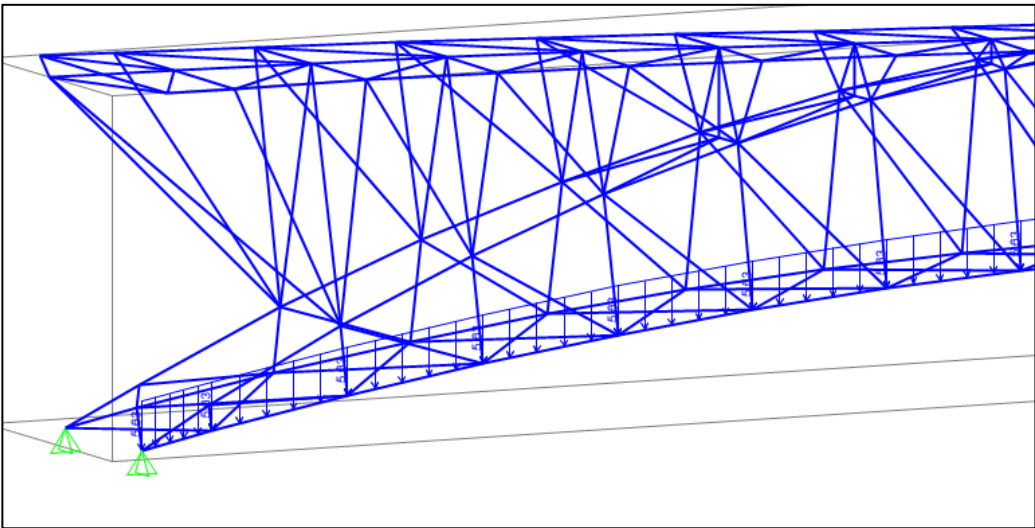


Ilustración 22: colocación de la carga (CVT\_2\_A) al modelo en SAP2000



Ilustración 23: colocación de la carga (CVT\_2\_P ) al modelo en SAP2000

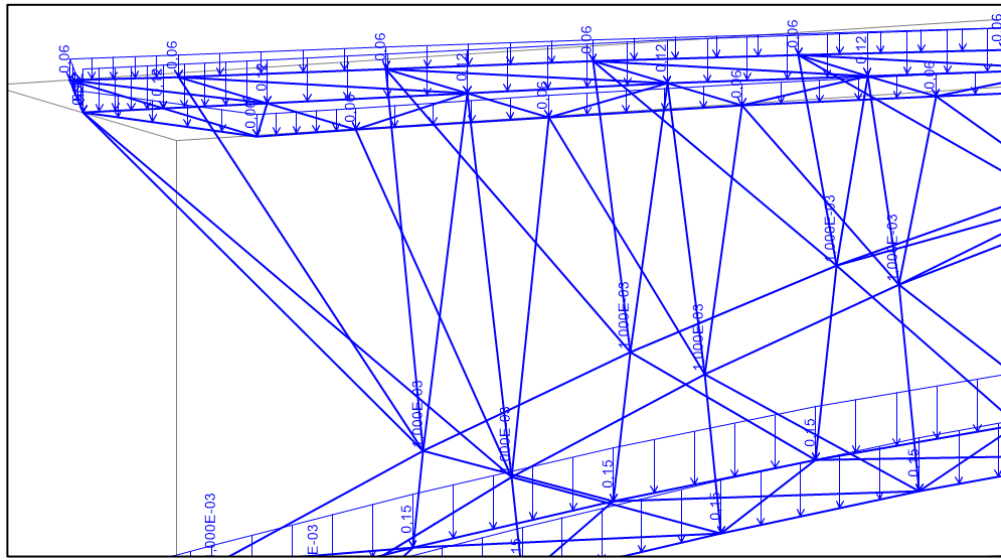


Ilustración 24: colocación de la carga (SCP) Sobre carga permanente al modelo en SAP2000

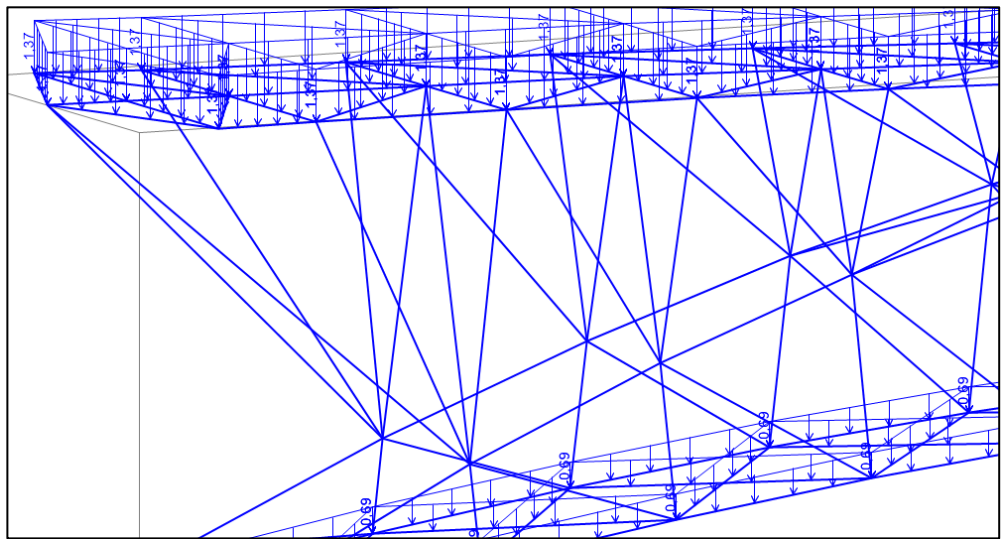


Ilustración 25: colocación de la carga (WB) al modelo en SAP2000

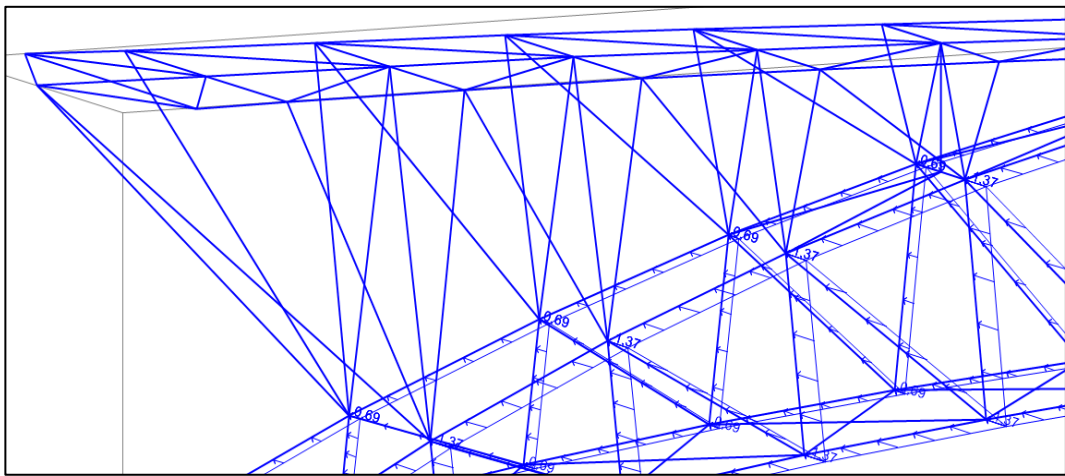


Ilustración 26: colocación de la carga (WH) al modelo en SAP2000

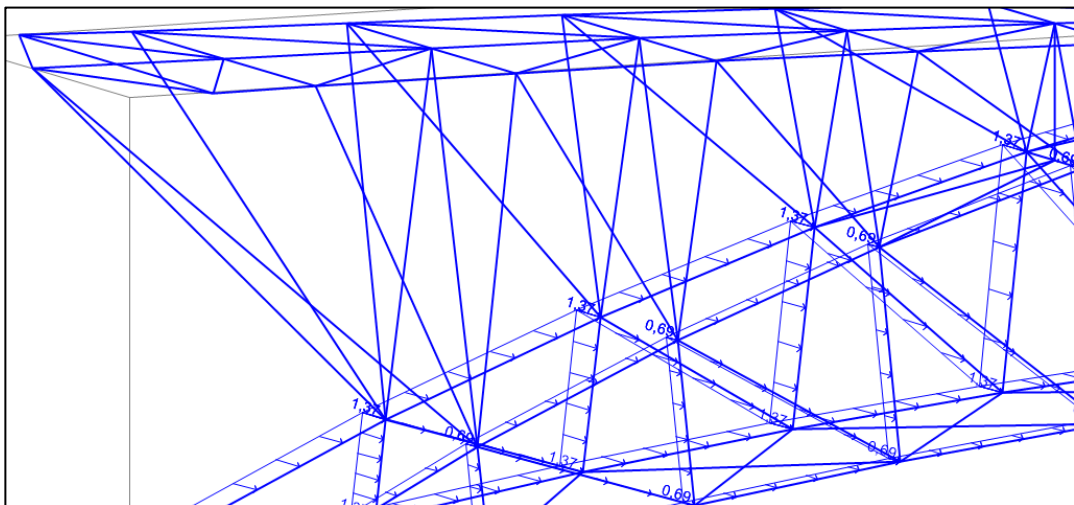


Ilustración 27: colocación de la carga (WH2) al modelo en SAP2000

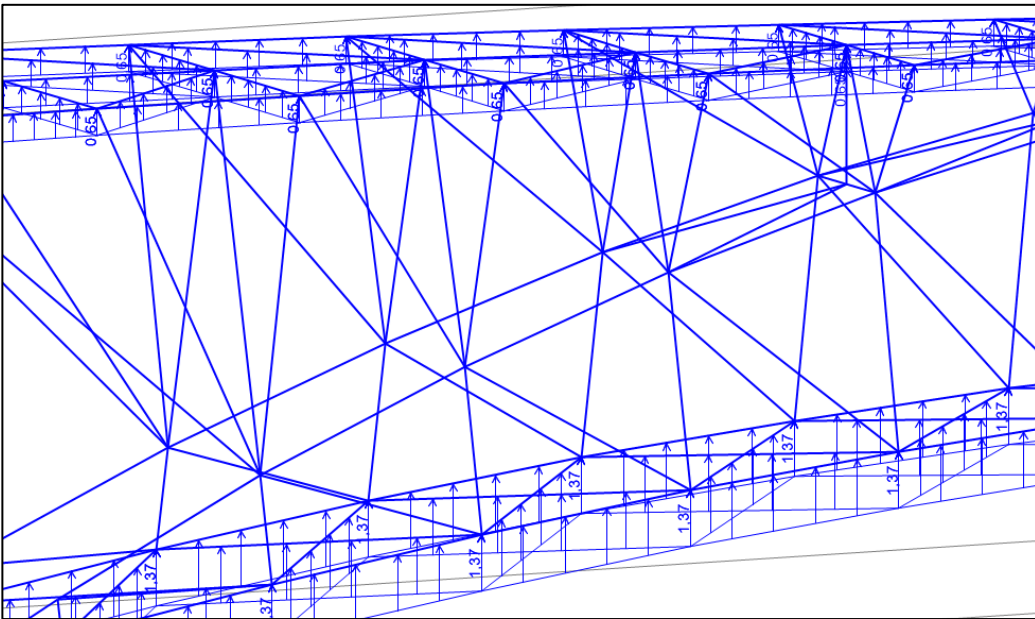


Ilustración 28: colocación de la carga (WS) al modelo en SAP2000

#### 10.9.1. Deflexión

Los miembros deben estar diseñados de manera que la deflexión debido a la carga viva de servicio peatonal no sobrepase  $L/500$  de la longitud del tramo. La deflexión de los brazos en voladizo (cantiléver) debido a la carga viva de servicio para peatones debe limitarse a  $L/300$  del brazo voladizo (cantiléver). La deflexión

Horizontal debido a la carga de viento lateral no excederá de  $L/500$  de la longitud del tramo.

### 11. Calculo de elementos según el título G-12 del reglamento colombiano de construcción sismo resistente NSR-10

#### 11.1. Diseño de elementos en guadua

Combinaciones de carga básicas: (según NSR10) Deben tenerse en cuenta y ser utilizados en aquellos casos especiales en los cuales el diseño se realiza por el método de los esfuerzos admisibles. Donde todos los elementos de la estructura

deberán estar diseñados, construidos y empalmados para resistir los esfuerzos provenientes de las combinaciones de carga de servicio presentadas en las ecuaciones siguientes:

Combinaciones de carga básicas: (según NSR10)

$$\mathbf{D + F} \quad (\mathbf{B.2.3-1})$$

$$\mathbf{D + H + F + L + T} \quad (\mathbf{B.2.3-2})$$

$$\mathbf{D + H + F + (L_r ó G ó L_e)} \quad (\mathbf{B.2.3-3})$$

$$\mathbf{D + H + F + 0.75(L + T) + 0.75(L_r ó G ó L_e)} \quad (\mathbf{B.2.3-4})$$

$$\mathbf{D + H + F + W} \quad (\mathbf{B.2.3-5})$$

$$\mathbf{D + H + F + 0.7E} \quad (\mathbf{B.2.3-6})$$

$$\mathbf{D + H + F + 0.75W + 0.75L + 0.75(L_r ó G ó L_e)} \quad (\mathbf{B.2.3-7})$$

$$\mathbf{D + H + F + 0.75(0.7E) + 0.75L + 0.75(L_r ó G ó L_e)} \quad (\mathbf{B.2.3-8})$$

$$\mathbf{0.6D + W + H} \quad (\mathbf{B.2.3-9})$$

$$\mathbf{0.6D + 0.7E + H} \quad (\mathbf{B.2.3-10})$$

De este modo se ingresan estas combinaciones al programa SAP-2000

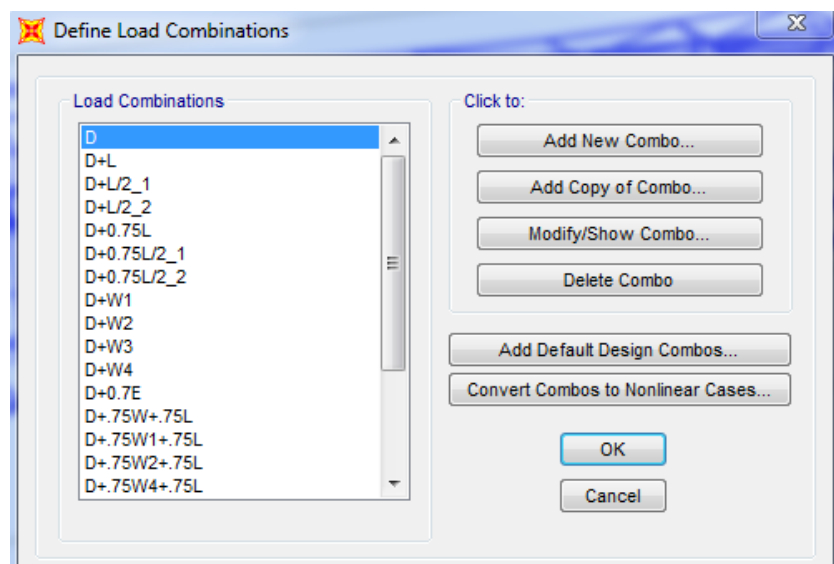


Ilustración 29: Definición de cargas básicas en SAP-2000

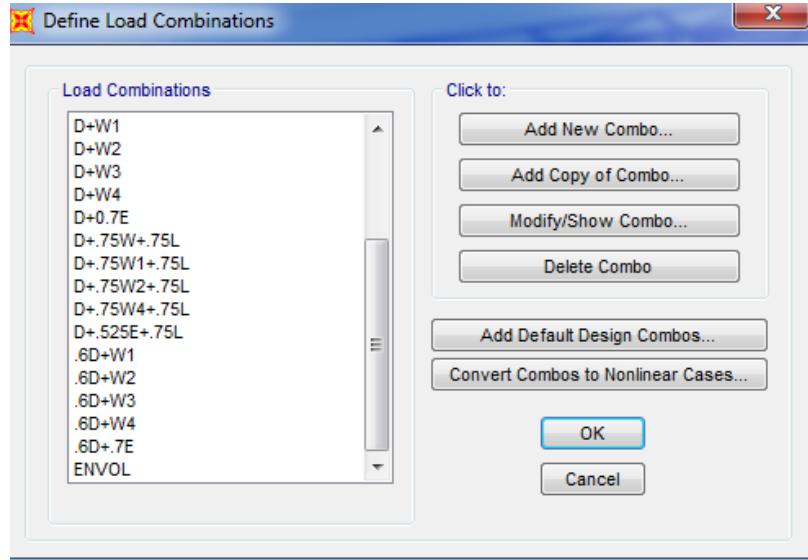


Ilustración 30: Definición de cargas básicas en SAP-2000 CONTINUACION

## 11.2. Esfuerzos admisibles y módulos de elasticidad

Toda guadua que cumpla con los requisitos de calidad para guadua estructural y de clasificación visual por defectos, debe utilizar para efectos de cálculo los valores de esfuerzos admisibles y módulos de elasticidad consignados en las tablas de las siguientes tablas

| Flexión  | Tensión II | Compresión | Tensión ⊥ | Corte II | Unidades           |
|----------|------------|------------|-----------|----------|--------------------|
| $F_{kb}$ | $F_{kt}$   | $F_{kc}$   | $F_{kp}$  | $F_{kv}$ |                    |
| 15       | 18         | 14         | 1.4       | 1.2      | Mpa                |
| 153      | 183.6      | 142.8      | 14.28     | 12.24    | Kg/cm <sup>2</sup> |

|| = compresión paralela al eje longitudinal.

⊥ = compresión perpendicular al eje longitudinal

Tabla 13: Esfuerzos admisibles  $F_i$  CH=(12%) Fuente: NSR 10 CAPITULO G12

| Módulo promedio E0.5 | Módulo percentil 5 E0.05 | Módulo mínimo Emin | Unidades           |
|----------------------|--------------------------|--------------------|--------------------|
| 9500                 | 7500                     | 4000               | MPa                |
| 96900                | 76500                    | 40800              | Kg/cm <sup>2</sup> |

- Valor usado para el análisis de elementos estructurales E<sub>0.5</sub>
- Caso de condiciones de servicio críticas, que requieran un nivel de seguridad superior y cálculo de deflexiones E<sub>0.05</sub>

Tabla 14: Módulos de elasticidad, Ei (MPa), CH=12% Fuente: NSR 10 CAPITULO G12

Para el análisis de elementos estructurales se debe utilizar E0.5, como módulo de elasticidad del material. El E min se debe utilizar para calcular los coeficientes de estabilidad de vigas (CL) y de Columnas (Cp). El E0.05 se debe utilizar para calcular las deflexiones cuando las condiciones de servicio sean críticas o requieran un nivel de seguridad superior al promedio. En todo caso, la escogencia del módulo de elasticidad indicado dependerá del criterio del ingeniero calculista.

### 11.2.1. Coeficientes de modificación

Con base en los valores de las Tablas de Esfuerzos admisibles F<sub>i</sub> y del Módulo de elasticidad E<sub>i</sub>; afectados por los coeficientes de modificación a que haya lugar por razón es del: Tamaño, nudos, grietas, contenido de humedad, duración de la carga, esbeltez y cualquier otra condición modificatoria, se determinan las solicitudes admisibles de todo miembro estructural, según las prescripciones de los numerales siguientes, con los esfuerzos admisibles modificados de acuerdo con la fórmula general:

$$F'_i = F_i C_D C_m C_t C_L C_F C_r C_p C_e$$

Donde:

|        |   |
|--------|---|
| $i$    | = tiene el mismo significado que en el numeral anterior                     |
| $C_D$  | = coeficiente de modificación por duración de carga                         |
| $C_m$  | = coeficiente de modificación por contenido de humedad                      |
| $C_t$  | = coeficiente de modificación por temperatura                               |
| $C_L$  | = coeficiente de modificación por estabilidad lateral de vigas              |
| $C_F$  | = coeficiente de modificación por forma                                     |
| $C_r$  | = coeficiente de modificación por redistribución de cargas, acción conjunta |
| $C_p$  | = coeficiente de modificación por estabilidad de columnas                   |
| $C_c$  | = coeficiente de modificación por cortante                                  |
| $F_i$  | = esfuerzo admisible en la solicitud $i$                                    |
| $F'_i$ | = esfuerzo admisible modificado para la solicitud $i$                       |

Los coeficientes de modificación de aplicación general se indican en los numerales siguientes; los que dependen de la clase de solicitud se estipulan en las secciones del Capítulo G.12 correspondientes.

### 11.3. Diseño de elementos sometidos a flexión

El diseño de elementos a flexión en guadua rolliza seguirá los mismos procedimientos básicos usados en el diseño de vigas de otros materiales estructurales. Debido a que la guadua angustifolia kunth presenta una relación MOR/MOE (módulo de ruptura/módulo de elasticidad) muy alta, lo que la convierte en un material muy flexible, el análisis a flexión estará regido por el control de las deflexiones admisibles, salvo en algunas excepciones, no obstante, siempre se debe comprobar la resistencia a la flexión, corte y aplastamiento.

En el diseño de miembros o elementos de guadua sometidos a flexión se deben verificar los siguientes efectos y en ningún caso pueden sobrepasar los esfuerzos admisibles modificados para cada solicitud: Deflexiones; Flexión incluyendo estabilidad lateral en vigas compuestas; Cortante paralelo a la fibra; Aplastamiento (compresión perpendicular a la fibra). Se debe garantizar que los apoyos de un elemento de guadua rolliza sometido a flexión no fallen por aplastamiento (compresión perpendicular), en la medida de lo posible estos deben terminar en nudos, si esto no ocurre o los nudos no proveen la suficiente resistencia, se deben llenar los entrenudos (cañutos) de los apoyos con mortero de cemento. Cuando exista una carga concentrada sobre un elemento, ésta debe estar aplicada sobre un nudo; en todo caso se deben tomar las medidas necesarias para evitar una falla por corte paralelo a la fibra, y/o aplastamiento en el punto de aplicación. En estos casos se recomienda llenar los entrenudos adyacentes a la carga con mortero de cemento. Cuando en la construcción de vigas se utiliza más de un

culmo (vigas de sección compuesta), estos deben estar unidos entre sí con pernos o varilla roscada y cintas metálicas (zunchos), que garanticen el trabajo en conjunto. Estos conectores deben diseñarse para resistir las fuerzas que se generan en la unión.

### 11.3.1. Luz de diseño

La luz de diseño considerada para vigas con apoyo simple, o en voladizo, será la luz libre entre caras de soporte más la mitad de la longitud del apoyo en cada extremo. En el caso de vigas continuas la luz de diseño considerada será la distancia centro a centro de apoyos.

### 11.3.2. Deflexiones

La guadua angustifolia kunth presenta una relación mor/moe muy alta, lo que obliga a que el diseño de elementos a flexión este regido por las deflexiones admisibles. A continuación se establecen los requisitos y limitaciones de las deflexiones admisibles, obtención de la sección requerida y deflexiones inmediatas y diferidas. Las deflexiones en elementos de guadua se deben calcular de acuerdo a las formulas de la teoría elástica tradicional, se debe considerar la deflexión producida por la flexión y si el caso de análisis lo amerita se debe realizar una corrección del módulo de elasticidad E'05 por cortante (G). Para el cálculo de la deflexión en vigas simplemente apoyadas se utilizaran las formulas de la tabla siguiente:

| Condición de carga                   | Deflexión   |
|--------------------------------------|---|
| Carga Puntual en el centro de la luz | $\Delta = \frac{Pl^3}{48EI} K$ (G.12.8-2)                   |
| Carga distribuida                    | $\Delta = \frac{5}{384} \frac{\omega l^4}{EI} K$ (G.12.8-3) |

Tabla 15: Cálculo de deflexiones Fuente NSR10 CAPITULO G12

Para otras condiciones de carga se deben utilizar las formulas de la teoría de la elasticidad. En las formulas de la tabla 15, K corresponde a un factor tabulado de deflexión el cual se puede obtener en la tabla 16

| Condición de servicio                 | Cargas vivas<br>(l/k) | Viento o Granizo<br>(l/k) | Cargas totales<br>(l/k)<br>Nota 2 |
|---------------------------------------|-----------------------|---------------------------|-----------------------------------|
| <b>Elementos de techo / Cubiertas</b> |                       |                           |                                   |
| <b>Cubiertas inclinadas</b>           |                       |                           |                                   |
| Cielo rasos de pañete o yeso          | l/360                 | l/360                     | l/240                             |
| Otros cielo rasos                     | l/240                 | l/240                     | l/180                             |
| Sin cielo raso                        | l/240                 | l/240                     | l/180                             |
| Techos planos                         | Nota 1                | Nota 1                    | l/300                             |
| Techos industriales                   | -                     | -                         | l/200                             |
| <b>Entrepisos</b>                     |                       |                           |                                   |
| Elementos de entrapiso                | l/360                 | -                         | l/240                             |
| Entrepisos rígidos                    | -                     | -                         | l/360                             |
| <b>Muros exteriores</b>               |                       |                           |                                   |
| Con acabados frágiles                 | -                     | l/240                     | -                                 |
| Con acabados flexibles                | -                     | l/120                     | -                                 |

Notas:

1. Dependiendo del tipo de cielo raso
2. Por evaluación de cargas totales, a largo plazo estas no deben invertir pendientes de drenaje en techos.
3. Considerando únicamente la deflexión inicial G.12.8.9.7

Tabla 16: Deflexiones admisibles  $\delta$  (mm) Fuente NSR10 CAPITULO G12

Las deflexiones de vigas, viguetas, entablados, pies derechos, se calcularán con el módulo de elasticidad promedio  $E0.5'$ , no obstante, si las condiciones de servicio son severas o el nivel de seguridad requerido es muy alto, se podrá utilizar el módulo de elasticidad del percentil 0.05,  $E0.05'$ , o el módulo de elasticidad mínimo,  $E_{min}$ , en todo caso la escogencia del módulo dependerá del criterio del ingeniero diseñador estructural.

### 11.3.3. Análisis de vibraciones según documento SETRA

| TABLE: Modal Periods And Frequencies |          |          |          |             |             |                                    |
|--------------------------------------|----------|----------|----------|-------------|-------------|------------------------------------|
| OutputCase                           | StepType | StepNum  | Period   | Frequency   | CircFreq    | Eigenvalue                         |
| Text                                 | Text     | Unitless | Sec      | Cyc/sec     | rad/sec     | rad <sup>2</sup> /sec <sup>2</sup> |
| MODAL                                | Mode     | 1        | 0.122902 | 8.136589997 | 51.12370272 | 2613.63298                         |
| MODAL                                | Mode     | 2        | 0.106028 | 9.431489489 | 59.25979618 | 3511.723443                        |
| MODAL                                | Mode     | 3        | 0.093913 | 10.64811486 | 66.90407882 | 4476.155763                        |
| MODAL                                | Mode     | 4        | 0.060468 | 16.5376555  | 103.9091541 | 10797.1123                         |
| MODAL                                | Mode     | 5        | 0.056144 | 17.81135425 | 111.9120393 | 12524.30455                        |
| MODAL                                | Mode     | 6        | 0.056008 | 17.85472115 | 112.1845216 | 12585.36689                        |
| MODAL                                | Mode     | 7        | 0.044638 | 22.40249888 | 140.7590518 | 19813.11066                        |
| MODAL                                | Mode     | 8        | 0.043306 | 23.09131357 | 145.0870022 | 21050.2382                         |
| MODAL                                | Mode     | 9        | 0.043163 | 23.16803288 | 145.5690438 | 21190.34651                        |
| MODAL                                | Mode     | 10       | 0.037436 | 26.71189905 | 167.8358117 | 28168.85967                        |

Tabla 17: Periodos y frecuencias para 10 modos de vibración

| <b>Modos de vibración</b> |  | <b>Horizontal lateral, frecuencia cic/s</b> | <b>Vertical y longitudinal, frecuencia cic/s</b> |
|---------------------------|--|---|--|
| <b>1</b>                  |  | 8.14  |  |
| <b>2</b>                  |  | 9.43  |  |
| <b>3</b>                  |  | 10.65                                       |  |
| <b>4</b>                  |  |   | 16.53  |
| <b>5</b>                  |  | 17.81                                       |  |
| <b>6</b>                  |  | 17.85                                       |  |
| <b>7</b>                  |  |   | 22.40  |
| <b>8</b>                  |  | 23.09                                       |  |
| <b>9</b>                  |  |   | 23.17  |
| <b>10</b>                 |  | 26.71                                       |  |

Para vibraciones verticales y longitudinales las frecuencias son superiores a 16.53 Hertz de conformidad al documento Setra estaría en Rango 4: riesgo insignificante de resonancia.

Para vibraciones laterales se tienen valores superiores a 8.14 Hertz, superior a 2.5 Hertz del documento setra, Rango 4: riesgo insignificante de resonancia.

Todos los periodos son periodos cortos de conformidad al espectro elástico de diseño del CCP14.

Tabla 18: resultados de solicitudes de tensión en elementos SAP2000

| ELEMENTO | AXIAL |       | LONGITUD | V2    |       | M3      |         |
|----------|-------|-------|----------|-------|-------|---------|---------|
|          | T(KN) | C(KN) | (m)      | T(KN) | C(KN) | T(KN-m) | M(KN-m) |
| 11       | 327.7 | 333.5 | 1.32     | 5.1   | 4.6   | 6.5     | 6.2     |
| 12       | 248.9 | 253.3 | 2.54     | 6.8   | 1.3   | 6.9     | 7.1     |
| 13       | 153.4 | 176.1 | 2.53     | 7.5   | 2.1   | 2.8     | 3.5     |
| 14       | 65.6  | 109.3 | 2.52     | 7.8   | 2.2   | 1.0     | 2.6     |
| 15       | 64.4  | 107.3 | 2.51     | 7.4   | 1.9   | 0.8     | 2.5     |
| 16       | 71.4  | 110.9 | 2.51     | 7.6   | 2.2   | 1.0     | 3.2     |
| 17       | 126.3 | 150.8 | 2.50     | 7.3   | 1.9   | 1.2     | 3.1     |
| 18       | 171.6 | 183.5 | 2.50     | 7.6   | 2.1   | 2.0     | 3.9     |
| 19       | 201.2 | 204.8 | 2.50     | 8.3   | 2.1   | 2.9     | 6.2     |
| 52       | 274.8 | 389.3 | 1.46     | 19.7  | 18.5  | 28.6    | 27.5    |
| 53       | 8.5   | 4.7   | 0.42     | 3.8   | 2.0   | 0.3     | 0.7     |
| 51       | 274.5 | 385.9 | 2.77     | 14.7  | 8.7   | 56.1    | 51.3    |
| 83       | 1.0   | 0.9   | 2.50     | 0.1   | 0.1   | 0.2     | 0.3     |
| 54       | 12.5  | 6.1   | 1.18     | 5.7   | 3.9   | 3.3     | 2.3     |
| 50       | 277.2 | 380.6 | 2.70     | 8.4   | 11.8  | 55.7    | 51.1    |
| 82       | 6.4   | 6.1   | 2.62     | 0.3   | 0.3   | 0.4     | 0.4     |
| 75       | 13.8  | 8.0   | 1.82     | 5.0   | 3.8   | 3.8     | 3.2     |
| 81       | 8.6   | 7.9   | 2.90     | 0.4   | 0.3   | 0.4     | 0.4     |
| 49       | 283.0 | 381.7 | 2.65     | 3.1   | 5.4   | 31.5    | 29.2    |
| 74       | 14.3  | 80.1  | 2.36     | 4.3   | 3.5   | 3.6     | 3.5     |
| 80       | 7.3   | 6.8   | 3.26     | 0.5   | 0.4   | 0.5     | 0.4     |
| 48       | 253.4 | 356.6 | 2.60     | 3.7   | 4.0   | 22.0    | 21.5    |
| 73       | 13.4  | 7.5   | 2.80     | 3.8   | 3.0   | 3.0     | 3.4     |
| 79       | 7.0   | 7.2   | 2.59     | 0.6   | 0.4   | 0.5     | 0.4     |
| 47       | 219.2 | 342.6 | 2.56     | 3.6   | 4.0   | 13.9    | 13.3    |
| 78       | 12.3  | 7.0   | 3.14     | 3.5   | 2.6   | 2.2     | 2.8     |
| 20       | 9.9   | 6.5   | 3.89     | 0.4   | 0.5   | 0.4     | 0.4     |
| 46       | 199.9 | 337.7 | 2.53     | 3.0   | 3.1   | 5.5     | 6.0     |
| 72       | 11.0  | 6.0   | 3.36     | 3.3   | 2.4   | 1.8     | 1.7     |
| 77       | 6.8   | 6.1   | 4.11     | 0.5   | 0.3   | 0.3     | 0.3     |

La tabla completa se encuentra en el anexo 4. Diseño de elementos en guadua

Tabla 19: Diseño de elementos en guadua según título G12 NSR200

| CÁLCULO DE ELEMENTOS EN GUADUA SEGÚN LA NSR-10 ,TÍTULO G.12                        |                        |  |                |
|--|------------------------|--|----------------|
| <b>1.0 ELEMENTO</b>  | Tipo de solicitudación |  | <b>Sección</b> |
|  | 308                    | Compresión   | G1             |
| Longitud del elemento (m)  |                        | 1.3  |                |
| Solicitudación a compresión (kN)   |                        | 4.9  |                |
| Solicitudación a Tensión (kN)  |                        |  |                |
| Solicitudación a flexión (kN * m)  |                        | 2.98   |                |
| Solicitudación cortante (kN)   |                        | 0.962  |                |
| <b>2.0 ELEMENTOS SOLICITADOS A COMPRESIÓN</b>                                      |                        |  |                |
| <b>PROPIEDADES DEL ELEMENTO</b>  |                        |  |                |
| Numero de Culmos   |                        | 1  |                |
| Numero de Guadas por Culmo   |                        | 2  |                |
| Diametro externo[D]  |                        | 120 mm   |                |
| Diametro interno[d]  |                        | 96 mm  |                |
| Espesor [t]  |                        | 12 mm  |                |
| Long. no soportada lateralmente, lu  |                        | 1.3 m  |                |
| Coefficiente de long. Efectiva, k  |                        | 1  |                |
| Longitud efectiva [Le]   |                        | 1.3 m  |                |
| Inercia [I]  |                        | 6.01E-06 m4  |                |
| Inercia total [I]  |                        | 1.20E-05 m4  |                |
| Area neta [A]  |                        | 4071.50 mm2  |                |
| Area neta total [A]  |                        | 8143.01 mm2  |                |
| Radio de giro [r]  |                        | 71.25 mm   |                |
| Esbelitez, ck  |                        | 59.37  |                |
| Esbelitez [I]  |                        | 18.25 col. Corta                                   |                |
| Modulo de sección [s]  |                        | 344449.00 mm3                                      |                |
| <b>3.0 PROPIEDADES DE LA GUADUA (NSR-10)</b>                                       |                        |  |                |
| Modulo de elasticidad promedio [E0.5]  |                        | 9500   | MPa            |
| Modulo percentil 5 [E0.05]   |                        | 7500   | MPa            |
| Modulo minimo [Emin]   |                        | 4000   | MPa            |
| Esf. Admisible a flexion [Fb]  |                        | 15   | MPa            |
| Esf. Admisible a traccion [Ft]   |                        | 18   | MPa            |
| Esf. Admisible a compresion paralela al eje longitudinal [Fc]                      |                        | 14   | MPa            |
| Esf. Admisible a compresion perpendicular al eje longitudinal [Fp]                 |                        | 1.4  | MPa            |
| Esf. Admisible a corte [Fv]  |                        | 1.2  | MPa            |
| <b>4.0 COEFICIENTES DE MODIFICACION</b>  |                        |  |                |
| Por duracion de carga [CD]   |                        | 1  |                |
| Por contenido de humedad [Cm]  |                        | 1  |                |
| Por temperatura [Ct]   |                        | 1  |                |
| Por estabilidad lateral de vigas [CL]  |                        | 1  |                |
| Por forma [CF]   |                        | 1.12   |                |
| Por redistribucion de cargas [Cr]  |                        | 1  |                |
| Por estabilidad de columnas [Cp]   |                        | 0.57   |                |
| Por cortante [Cc]  |                        | 1  |                |
| <b>5.0 Propiedades del material afectados por los coeficientes de modificación</b> |                        |  |                |
| Esf. Admisible a flexion [F'b]   |                        | 16.8   | MPa            |
| Esf. Admisible a traccion [F't]  |                        | 18   | MPa            |
| Esf. Admisible a compresion paralela al eje longitudinal [F'c]                     |                        | 7.98   | MPa            |
| Esf. Admisible a compresion perpendicular al eje longitudinal [F'p]                |                        | 1.4  | MPa            |
| Esf. Admisible a corte [F'v]   |                        | 1.2  | MPa            |
| <b>6.0 Revision por compresion axial</b>   |                        |  |                |
| Esfuerzo maximo, fc  |                        | 0.60   | MPa            |
| <b>7.0 Revision por flexocompresion</b>  |                        |  |                |
| Fuerza de compresion actuante, Na  |                        | 4.9  | kN             |
| Momento actuante   |                        | 2.9800   | kN.m           |
| Esbelitez Ck   |                        | 59.37  | col. Corta     |
| Esf. de compresion paralelo a la fibra actuante [fc]                               |                        | 0.60   | MPa            |
| Esf. de flexion actuante [fb]  |                        | 8.7  | MPa            |
| Carga critica de euler, Ncr  |                        | 526436   | N              |
| Coeficiente de magnificacion de momentos [km]                                      |                        | 1.01   |                |
| Relacion   | 0.60                   | OK   |                |
|  |                        | $\frac{f_c}{F'_c} + \frac{k_m f_b}{F'_b} \leq 1.0$ |                |

Tabla 20: Diseño de elementos en guadua según título G12 NSR200 Continuacion

| 13.0 DISEÑO DE ELEMENTOS A FLEXION  |                |                  |                |   |      |   |      |   |      |    |      |    |      |    |      |
|---|----------------|------------------|----------------|---|------|---|------|---|------|----|------|----|------|----|------|
| PROPIEDADES DEL ELEMENTO  |                |                  |                |   |      |   |      |   |      |    |      |    |      |    |      |
| Numero de Culmos  | 1              |                  |                |   |      |   |      |   |      |    |      |    |      |    |      |
| Diametro externo[De]  | 120 mm         |                  |                |   |      |   |      |   |      |    |      |    |      |    |      |
| Diametro interno[d]   | 96             |                  |                |   |      |   |      |   |      |    |      |    |      |    |      |
| Espesor [t]   | 12 mm          |                  |                |   |      |   |      |   |      |    |      |    |      |    |      |
| Longitud [L]  | 1.3000 m       |                  |                |   |      |   |      |   |      |    |      |    |      |    |      |
| Inercia [I]   | 6.01E-06 m4    |                  |                |   |      |   |      |   |      |    |      |    |      |    |      |
| Inercia total [I]   | 6.01E-06 m4    |                  |                |   |      |   |      |   |      |    |      |    |      |    |      |
| Area neta [A]   | 4072 mm2       |                  |                |   |      |   |      |   |      |    |      |    |      |    |      |
| Area neta total [A]   | 8143 mm2       |                  |                |   |      |   |      |   |      |    |      |    |      |    |      |
| Radio de giro [r]   | 38.42 mm       |                  |                |   |      |   |      |   |      |    |      |    |      |    |      |
| Esbeltex [I]  | 33.84          |                  |                |   |      |   |      |   |      |    |      |    |      |    |      |
| Modulo de seccion [s]   | 344449 mm3     |                  |                |   |      |   |      |   |      |    |      |    |      |    |      |
| 14 PROPIEDADES DE LA GUADUA (NSR10)   |                |                  |                |   |      |   |      |   |      |    |      |    |      |    |      |
| Modulo de elasticidad promedio [E0.5]   | 9500 MPa       |                  |                |   |      |   |      |   |      |    |      |    |      |    |      |
| Modulo percentil 5 [E0.05]  | 7500 MPa       |                  |                |   |      |   |      |   |      |    |      |    |      |    |      |
| Modulo minimo [Emin]  | 4000 MPa       |                  |                |   |      |   |      |   |      |    |      |    |      |    |      |
| Esf. Admisible a flexion [Fb]   | 15 MPa         |                  |                |   |      |   |      |   |      |    |      |    |      |    |      |
| Esf. Admisible a traccion [Ft]  | 18 MPa         |                  |                |   |      |   |      |   |      |    |      |    |      |    |      |
| Esf. Admisible a compresion paralela al eje longitudinal [Fc]   | 14 MPa         |                  |                |   |      |   |      |   |      |    |      |    |      |    |      |
| Esf. Admisible a compresion perpendicular al eje longitudinal [F]   | 1.4 MPa        |                  |                |   |      |   |      |   |      |    |      |    |      |    |      |
| Esf. Admisible a corte [Fv]   | 1.2 MPa        |                  |                |   |      |   |      |   |      |    |      |    |      |    |      |
| 15.0 COEFICIENTES DE MODIFICACION   |                |                  |                |   |      |   |      |   |      |    |      |    |      |    |      |
| Por duracion de carga [CD]  | 1              |                  |                |   |      |   |      |   |      |    |      |    |      |    |      |
| Por contenido de humedad [Cm]   | 1              |                  |                |   |      |   |      |   |      |    |      |    |      |    |      |
| Por temperatura [Ct]  | 1              |                  |                |   |      |   |      |   |      |    |      |    |      |    |      |
| Por estabilidad lateral de vigas [CL]   | 1              |                  |                |   |      |   |      |   |      |    |      |    |      |    |      |
| Por forma [CF]  | 1.12           |                  |                |   |      |   |      |   |      |    |      |    |      |    |      |
| Por redistribucion de cargas [Cr]   | 1              |                  |                |   |      |   |      |   |      |    |      |    |      |    |      |
| Por estabilidad de columnas [Cp]  | 0.71           |                  |                |   |      |   |      |   |      |    |      |    |      |    |      |
| Relación I/De   | 11             |                  |                |   |      |   |      |   |      |    |      |    |      |    |      |
| Por cortante [Cc]   | 0.86           |                  |                |   |      |   |      |   |      |    |      |    |      |    |      |
| Tabla G.12.8.3<br>Valores de Cc   |                |                  |                |   |      |   |      |   |      |    |      |    |      |    |      |
| <table border="1" style="margin-left: auto; margin-right: 0;"> <thead> <tr> <th>I/D<sub>e</sub></th> <th>C<sub>c</sub></th> </tr> </thead> <tbody> <tr><td>5</td><td>0.70</td></tr> <tr><td>7</td><td>0.75</td></tr> <tr><td>9</td><td>0.81</td></tr> <tr><td>11</td><td>0.86</td></tr> <tr><td>13</td><td>0.91</td></tr> <tr><td>15</td><td>0.93</td></tr> </tbody> </table> |                | I/D <sub>e</sub> | C <sub>c</sub> | 5 | 0.70 | 7 | 0.75 | 9 | 0.81 | 11 | 0.86 | 13 | 0.91 | 15 | 0.93 |
| I/D <sub>e</sub>  | C <sub>c</sub> |                  |                |   |      |   |      |   |      |    |      |    |      |    |      |
| 5   | 0.70           |                  |                |   |      |   |      |   |      |    |      |    |      |    |      |
| 7   | 0.75           |                  |                |   |      |   |      |   |      |    |      |    |      |    |      |
| 9   | 0.81           |                  |                |   |      |   |      |   |      |    |      |    |      |    |      |
| 11  | 0.86           |                  |                |   |      |   |      |   |      |    |      |    |      |    |      |
| 13  | 0.91           |                  |                |   |      |   |      |   |      |    |      |    |      |    |      |
| 15  | 0.93           |                  |                |   |      |   |      |   |      |    |      |    |      |    |      |
| 16.0 Propiedades del material afectados por los coeficientes  |                |                  |                |   |      |   |      |   |      |    |      |    |      |    |      |
| Esf. Admisible a flexion [F'b]  | 16.8 MPa       |                  |                |   |      |   |      |   |      |    |      |    |      |    |      |
| Esf. Admisible a traccion [F't]   | 18 MPa         |                  |                |   |      |   |      |   |      |    |      |    |      |    |      |
| Esf. Admisible a compresion paralela al eje longitudinal [F'c]  | 9.94 MPa       |                  |                |   |      |   |      |   |      |    |      |    |      |    |      |
| Esf. Admisible a compresion perpendicular al eje longitudinal [F]   | 1.4 MPa        |                  |                |   |      |   |      |   |      |    |      |    |      |    |      |
| Esf. Admisible a corte [F'v]  | 1.032 MPa      |                  |                |   |      |   |      |   |      |    |      |    |      |    |      |
| 17.0 DEFLEXIONES  |                |                  |                |   |      |   |      |   |      |    |      |    |      |    |      |
| CARGA DISTRIBUIDA   |                |                  |                |   |      |   |      |   |      |    |      |    |      |    |      |
| Carga muerta del elemento   | 1 kN/m         |                  |                |   |      |   |      |   |      |    |      |    |      |    |      |
| Carga viva del elemento   | 0.35 kN/m      |                  |                |   |      |   |      |   |      |    |      |    |      |    |      |
| Otras cargas  | 0 kN/m         |                  |                |   |      |   |      |   |      |    |      |    |      |    |      |
| Deflexion calculada [D]   | 0.76 mm        |                  |                |   |      |   |      |   |      |    |      |    |      |    |      |
| Deflexion leida en el software [D]  | 0.76           |                  |                |   |      |   |      |   |      |    |      |    |      |    |      |
| Deflexion de diseño [D]   | 0.76           |                  |                |   |      |   |      |   |      |    |      |    |      |    |      |
| Deflexion admisible   | 3.6 mm         |                  |                |   |      |   |      |   |      |    |      |    |      |    |      |
| 18.0 RESISTENCIA A FLEXION  |                |                  |                |   |      |   |      |   |      |    |      |    |      |    |      |
| Momento actuante [M]  | 2.9800 kN.m    |                  |                |   |      |   |      |   |      |    |      |    |      |    |      |
| Esfuerzo a flexion actuante [f <sub>b</sub> ]   | 8.65 MPa       |                  |                |   |      |   |      |   |      |    |      |    |      |    |      |
|   |                |                  |                |   |      |   |      |   |      |    |      |    |      |    |      |
|   |                |                  |                |   |      |   |      |   |      |    |      |    |      |    |      |
|   |                |                  |                |   |      |   |      |   |      |    |      |    |      |    |      |
| 19.0 CHEQUEO A CORTE  |                |                  |                |   |      |   |      |   |      |    |      |    |      |    |      |
| Fuerza de corte actuante [V]  | 0.9620 kN      |                  |                |   |      |   |      |   |      |    |      |    |      |    |      |
| Esf. Cortante paralelo a las fibras [f <sub>v</sub> ]   | 0.25 MPa       |                  |                |   |      |   |      |   |      |    |      |    |      |    |      |
|   | OK             |                  |                |   |      |   |      |   |      |    |      |    |      |    |      |
|   | OK             |                  |                |   |      |   |      |   |      |    |      |    |      |    |      |

Las tablas completas del cálculo de elementos se encuentran en el anexo 4. Diseño de elementos en guadua.

| 2 guaduas por cada elemento |     |
|-----------------------------|-----|
| 391                         | 392 |
| 326                         | 336 |
| 396                         | 395 |
| 325                         | 335 |
| 398                         | 397 |
| 324                         | 334 |
| 400                         | 399 |
| 323                         | 333 |
| 402                         | 401 |
| 322                         | 332 |
| 404                         | 403 |
| 321                         | 331 |
| 406                         | 405 |
| 320                         | 330 |
| 408                         | 407 |
| 319                         | 329 |
| 410                         | 409 |
| 318                         | 328 |
| 412                         | 411 |
| 203                         | 213 |

Tabla 21: resultado en cantidades de guadua

| 2.1                         |          |           |             |             |            |            |            |            |
|-----------------------------|----------|-----------|-------------|-------------|------------|------------|------------|------------|
| SectionName                 | Area     | TorsConst | I33         | I22         | S33        | S22        | R33        | R22        |
| Text                        | m2       | m4        | m4          | m4          | mm3        | mm3        | m          | m          |
| Constraine                  | 0.005969 | 0.000054  | 0.000027    | 0.000027    | 270000     | 270000     | 0.067268   | 0.067268   |
| G1                          | 0.004948 | 0.000014  | 3.27E-06    | 0.000006958 | 65421.53   | 116000     | 0.0375     | 0.0375     |
| G1-CUB                      | 0.004948 | 0.000014  | 0.000006958 | 0.000006958 | 116000     | 116000     | 0.0375     | 0.0375     |
| G1-CUB-DIAG                 | 0.004948 | 0.000014  | 0.000006958 | 0.000006958 | 116000     | 116000     | 0.0375     | 0.0375     |
| G1-Diag                     | 0.004948 | 0.000014  | 0.000006958 | 0.000006958 | 116000     | 116000     | 0.0375     | 0.0375     |
| G1X2                        | 0.009896 | 0.000027  | 6.54E-06    | 0.00005     | 130843.061 | 413000     | 0.0375     | 0.070755   |
| G2X2                        | 0.019792 | 0.000091  | 1.31E-05    | 0.000099    | 130843.063 | 826000     | 0.070755   | 0.070755   |
| G3                          | 0.014844 | 0.000041  | 5.70E-05    | 0.000057    | 4.40E+05   | 4.71E+05   | 0.062099   | 0.061695   |
| G3X2                        | 0.029688 | 0.00017   | 0.000327    | 1.96E-05    | 1815000    | 196264.592 | 0.104911   | 0.070755   |
| G5                          | 0.02474  | 0.000104  | 0.00012     | 0.000234    | 911000     | 1149000    | 0.06973    | 0.097315   |
| GTREBOL                     | 0.019792 | 0.000055  | 0.000136    | 1.31E-05    | 825000     | 130893.063 | 0.082759   | 0.056624   |
| Nuevos valores para G3 Y G5 |          |           |             |             |            |            |            |            |
| G3                          | 0.014844 | 0.000041  | 9.81E-06    | 0.000057    | 1.24E+05   | 4.71E+05   | 2.57E-02   | 0.061695   |
| G5                          | 0.02474  | 0.000104  | 1.64E-05    | 2.34E-04    | 1.49E+05   | 1.15E+06   | 0.02571138 | 0.09731529 |

Tabla 22: Resultados SAP2000

## **12. Conclusiones**

1. Antes de proceder con el diseño del puente, fue indispensable realizar los estudios básicos que permitieron tomar un conocimiento pleno de la zona, que generó la información básica, necesaria y suficiente que concluyó en el planteamiento de soluciones satisfactorias plasmadas en el proyecto definitivo, real, y ejecutable; Mediante el desarrollo de unos estudios básicos y previos para seguir con los estudios y cálculos correspondiente al dimensionamiento y calculo estructural.
2. En la etapa de pre-diseño de puentes peatonales en guadua, se debe tener en cuenta los métodos constructivos en este material ya que algunas pocas secciones, a la hora de ser amarradas con otras, se convierten en procesos muy complicados de superar en la etapa constructiva.
3. Como consecuencia de lo expuesto se aceptan los resultados del programa SAP-2000 y de la tabla de cálculo de elementos según el capítulo G.12 del reglamento colombiano de construcción sismorresistente NSR10 en sus niveles de frecuencias horizontales y verticales.
4. Los métodos, técnicas y resultados. Utilizados para el cálculo estructural de este puente, son de gran aporte a la normalización de las consideraciones y recomendaciones para la elaboración de diseños de este tipo de puentes en Colombia, para que los ingenieros civiles tengan un gran apoyo en este tema.

### **13. Planos estructurales de la superestructura del puente**

## BIBLIOGRAFIA

1. CARMIOL UMAÑA, Virginia. Bambú guadua, en puentes peatonales. En: Tecnología en marcha. Enero-marzo, 2010, vol. 23 no 1.
2. EHRENBERG, Rachel. Earth Has 3 Trillion Trees Per New Count [La tierra tiene 3 billones de árboles, según nuevo conteo] [En línea]. Nature magazine. 2015. Disponible en: <https://www.scientificamerican.com/article/earth-has-3-trillion-trees-per-new-count-video/>.
3. ECOHABITAR. La guadua: una maravilla natural de grandes bondades y prometedor futuro [En línea]. Bogotá, 2013. Disponible en: <http://www.ecohabitar.org/la-guadua-una-maravilla-natural-de-grandes-bondades-y-prometedor-futuro/>.
4. REDACCION M&M. Puentes en Guadua: Pasos sobre Material Constructivo Eficiente. En: Revista M&M. Edición no 72.
5. STAMM, Jörg. Diseño y construcción de puentes en guadua. [En línea]. Pereira, 2000. Disponible en: <http://oab2.ambientebogota.gov.co/es/documentacion-e-investigaciones/resultado-busqueda/diseno-y-construcion-de-puentes-en-guadua>.
6. LAMUS BAEZ, Augusto, URAZAN BONELLS, Carlos y ANDRADE PARDO, Sofía. La guadua angustifolia como alternativa para la construcción de puentes peatonales. 2014. Epsilon, no 23.
7. INSTITUTO COLOMBIANO DE NORMAS TÉCNICAS Y CERTIFICACIÓN. Cosecha y postcosecha del culmo de guadua angustifolia kunth. NTC-5300. Bogotá. 2006. 4 p.
8. INSTITUTO COLOMBIANO DE NORMAS TÉCNICAS Y CERTIFICACIÓN. Preservación y secado del culmo de guadua angustifolia kunth. NTC-5301. Bogotá. 2006. 3 p.
9. AASHTO Pedestrian Bridges Specifications
10. American Institute of Steel Construction (1995). Manual of Steel Construction Load y Resistance Factor Design, Copyright, USA.
11. Computers and Structures, Inc. (2008). SAP2000 Analysis Reference Manual, Computers and Structures, Inc. Berkeley, California, USA.
12. Computers and Structures, Inc. (2008). SAP2000 Version 14.2.5, A Computer Program for Linear and Nonlinear Static and Dynamic Analysis and Design of Three Dimensional Structures, Berkeley, California, USA.
13. Joints in Steel Construction – Simple Joints to Eurocode 3 (P358), SCI and BCSA, 2011.
14. Load and Resistance Factor Design Specifications (LRFD)
15. Norma Colombiana de Diseño de Puentes CCP-14
16. Reglamento Colombianas de Construcción Sismo Resistente (NSR-10)

17. Technical guide Footbridges, Assessment of vibrational behaviour of footbridges under pedestrian loading, publicado por Service d'Études techniques des routes at autoroutes SETRA, 2006

## **ANEXOS**

## 1. Cartera topográfica

| No. | Norte       | Este       | Cota     | Detalle | — | No | Norte       | Este       | Cota     | Detalle |
|-----|-------------|------------|----------|---------|---|----|-------------|------------|----------|---------|
| 1   | 1041960.381 | 973230.872 | 1597.565 | 2       |   | 35 | 1041874.148 | 973208.993 | 1583.650 | 3       |
| 2   | 1041960.525 | 973231.899 | 1597.613 | 1       |   | 36 | 1041876.193 | 973202.724 | 1583.200 | 2       |
| 3   | 1041961.118 | 973232.173 | 1597.584 | 3       |   | 37 | 1041876.110 | 973182.732 | 1577.018 | 2       |
| 4   | 1041961.867 | 973232.090 | 1597.575 | 2       |   | 38 | 1041873.405 | 973150.873 | 1575.404 | 3       |
| 5   | 1041962.317 | 973231.772 | 1597.601 | 2       |   | 39 | 1041873.164 | 973150.735 | 1576.363 | 3       |
| 6   | 1041962.195 | 973230.377 | 1597.628 | 1       |   | 40 | 1041873.316 | 973135.292 | 1574.867 | 3       |
| 7   | 1041960.381 | 973230.872 | 1597.565 | 2       |   | 41 | 1041919.229 | 973228.824 | 1588.140 | 2       |
| 8   | 1041978.519 | 973243.179 | 1598.517 | 2       |   | 42 | 1041918.751 | 973222.422 | 1587.583 | 1       |
| 9   | 1041972.063 | 973246.202 | 1598.294 | 3       |   | 43 | 1041918.041 | 973213.576 | 1586.696 | 1       |
| 10  | 1041961.448 | 973223.388 | 1597.630 | 1       |   | 44 | 1041923.515 | 973250.182 | 1589.457 | 3       |
| 11  | 1041850.718 | 973224.354 | 1587.855 | 2       |   | 45 | 1041922.344 | 973242.590 | 1588.876 | 2       |
| 12  | 1041844.396 | 973238.398 | 1588.558 | 3       |   | 46 | 1041920.291 | 973231.221 | 1588.054 | 2       |
| 13  | 1041861.279 | 973233.887 | 1587.959 | 1       |   | 47 | 1041902.862 | 973232.871 | 1587.874 | 3       |
| 14  | 1041856.585 | 973244.315 | 1588.481 | 3       |   | 48 | 1041902.856 | 973236.901 | 1587.962 | 3       |
| 15  | 1041844.396 | 973238.398 | 1588.600 | 2       |   | 49 | 1041903.395 | 973248.459 | 1588.853 | 3       |
| 16  | 1041856.585 | 973244.315 | 1588.481 | 1       |   | 50 | 1041901.996 | 973210.808 | 1586.142 | 1       |
| 17  | 1041862.932 | 973252.844 | 1588.421 | 2       |   | 51 | 1041902.043 | 973221.717 | 1586.820 | 1       |
| 18  | 1041862.575 | 973257.254 | 1588.630 | 1       |   | 52 | 1041902.412 | 973230.094 | 1587.426 | 3       |
| 19  | 1041864.421 | 973253.757 | 1588.442 | 3       |   | 53 | 1041920.069 | 973230.495 | 1587.996 | 1       |
| 20  | 1041864.918 | 973248.817 | 1588.161 | 3       |   | 54 | 1041917.829 | 973230.772 | 1588.450 | 1       |
| 21  | 1041862.932 | 973252.844 | 1588.421 | 1       |   | 55 | 1041906.164 | 973231.914 | 1588.160 | 1       |
| 22  | 1041850.718 | 973224.354 | 1587.855 | 2       |   | 56 | 1041902.693 | 973232.290 | 1587.644 | 2       |
| 23  | 1041853.989 | 973217.619 | 1587.608 | 3       |   | 57 | 1041902.554 | 973231.102 | 1587.552 | 2       |
| 24  | 1041855.449 | 973231.057 | 1588.016 | 3       |   | 58 | 1041906.054 | 973230.797 | 1588.156 | 3       |
| 25  | 1041856.843 | 973227.692 | 1587.936 | 1       |   | 59 | 1041917.586 | 973229.642 | 1588.427 | 3       |
| 26  | 1041850.718 | 973224.354 | 1587.855 | 1       |   | 60 | 1041919.942 | 973229.415 | 1587.942 | 3       |
| 27  | 1041855.449 | 973231.057 | 1588.016 | 3       |   | 61 | 1041961.326 | 973204.195 | 1598.372 | 3       |
| 28  | 1041861.279 | 973233.887 | 1587.959 | 3       |   | 62 | 1041960.592 | 973211.546 | 1597.259 | 2       |
| 29  | 1041856.585 | 973244.315 | 1588.481 | 1       |   | 63 | 1041958.698 | 973204.107 | 1598.300 | 2       |
| 30  | 1041858.937 | 973245.249 | 1588.154 | 1       |   | 64 | 1041957.522 | 973214.731 | 1597.004 | 2       |
| 31  | 1041863.611 | 973235.125 | 1587.970 | 2       |   | 65 | 1041902.782 | 973181.674 | 1583.716 | 3       |
| 32  | 1041861.279 | 973233.887 | 1587.959 | 2       |   | 66 | 1041902.715 | 973183.702 | 1583.742 | 2       |
| 33  | 1041856.585 | 973244.315 | 1588.481 | 2       |   | 67 | 1041904.714 | 973183.814 | 1583.759 | 2       |

| No. | Norte       | Este       | Cota     | Detalle |  | No. | Norte       | Este       | Cota     | Detalle |
|-----|-------------|------------|----------|---------|--|-----|-------------|------------|----------|---------|
| 34  | 1041874.081 | 973222.408 | 1585.599 | 1       |  | 68  | 1041904.824 | 973181.852 | 1583.759 | 1       |
| 69  | 1041902.782 | 973181.674 | 1583.716 | 1       |  | 103 | 1041949.775 | 973239.187 | 1596.895 | 2       |
| 70  | 1041876.246 | 973178.351 | 1578.134 | 2       |  | 104 | 1041949.525 | 973244.738 | 1596.508 | 2       |
| 71  | 1041876.292 | 973178.367 | 1578.114 | 3       |  | 105 | 1041949.119 | 973254.807 | 1598.670 | 2       |
| 72  | 1041876.246 | 973178.351 | 1578.134 | 3       |  | 106 | 1041946.416 | 973264.343 | 1597.660 | 2       |
| 73  | 1041877.306 | 973179.929 | 1578.295 | 2       |  | 107 | 1041946.323 | 973274.589 | 1598.051 | 2       |
| 74  | 1041876.292 | 973178.367 | 1578.114 | 3       |  | 108 | 1041947.096 | 973285.655 | 1597.690 | 2       |
| 75  | 1041877.417 | 973179.799 | 1578.294 | 2       |  | 109 | 1041947.562 | 973296.407 | 1597.599 | 3       |
| 76  | 1041877.125 | 973181.289 | 1578.313 | 3       |  | 110 | 1041947.877 | 973307.236 | 1597.279 | 2       |
| 77  | 1041876.506 | 973182.555 | 1578.295 | 1       |  | 111 | 1041947.804 | 973316.124 | 1596.652 | 1       |
| 78  | 1041876.875 | 973182.591 | 1578.285 | 3       |  | 112 | 1041934.916 | 973221.503 | 1587.853 | 3       |
| 79  | 1041876.875 | 973182.591 | 1578.285 | 1       |  | 113 | 1041934.164 | 973211.790 | 1587.597 | 1       |
| 80  | 1041877.402 | 973181.290 | 1578.383 | 3       |  | 114 | 1041933.436 | 973202.250 | 1587.281 | 2       |
| 81  | 1041877.306 | 973179.929 | 1578.295 | 3       |  | 115 | 1041932.588 | 973193.050 | 1587.010 | 2       |
| 82  | 1041877.125 | 973181.289 | 1578.313 | 2       |  | 116 | 1041931.982 | 973182.346 | 1587.265 | 2       |
| 83  | 1041877.402 | 973181.290 | 1578.383 | 3       |  | 117 | 1041930.798 | 973168.501 | 1587.353 | 2       |
| 84  | 1041877.417 | 973179.799 | 1578.294 | 3       |  | 118 | 1041929.759 | 973154.906 | 1587.012 | 3       |
| 85  | 1041877.306 | 973179.929 | 1578.295 | 1       |  | 119 | 1041928.531 | 973143.153 | 1586.523 | 3       |
| 86  | 1041926.180 | 973181.509 | 1584.348 | 1       |  | 120 | 1041927.883 | 973132.768 | 1586.102 | 3       |
| 87  | 1041927.424 | 973181.040 | 1584.358 | 2       |  | 121 | 1041961.396 | 973255.988 | 1598.858 | 2       |
| 88  | 1041927.490 | 973180.897 | 1584.374 | 3       |  | 122 | 1041957.540 | 973260.065 | 1598.372 | 3       |
| 89  | 1041926.180 | 973181.509 | 1584.348 | 1       |  | 123 | 1041955.232 | 973267.453 | 1597.693 | 2       |
| 90  | 1041926.474 | 973182.861 | 1584.407 | 3       |  | 124 | 1041954.309 | 973274.500 | 1597.697 | 2       |
| 91  | 1041926.305 | 973182.878 | 1584.390 | 1       |  | 125 | 1041953.638 | 973282.829 | 1597.506 | 2       |
| 92  | 1041925.996 | 973181.207 | 1584.333 | 2       |  | 126 | 1041953.370 | 973290.037 | 1597.264 | 3       |
| 93  | 1041926.180 | 973181.509 | 1584.348 | 3       |  | 127 | 1041953.515 | 973297.717 | 1597.006 | 3       |
| 94  | 1041938.849 | 973145.638 | 1587.381 | 2       |  | 128 | 1041953.679 | 973304.699 | 1596.673 | 3       |
| 95  | 1041937.247 | 973163.278 | 1588.943 | 1       |  | 129 | 1041953.860 | 973311.865 | 1596.437 | 2       |
| 96  | 1041939.072 | 973172.372 | 1589.464 | 2       |  | 130 | 1041947.556 | 973171.358 | 1589.996 | 2       |
| 97  | 1041941.381 | 973181.770 | 1590.416 | 3       |  | 131 | 1041947.978 | 973175.391 | 1590.137 | 3       |
| 98  | 1041943.672 | 973191.182 | 1591.555 | 3       |  | 132 | 1041948.862 | 973183.466 | 1590.905 | 1       |
| 99  | 1041946.034 | 973199.892 | 1592.422 | 3       |  | 133 | 1041950.725 | 973192.761 | 1591.773 | 3       |
| 100 | 1041949.466 | 973211.104 | 1593.586 | 2       |  | 134 | 1041951.490 | 973195.958 | 1591.955 | 2       |

| No. | Norte       | Este       | Cota     | Detalle |  | No. | Norte       | Este       | Cota     | Detalle |
|-----|-------------|------------|----------|---------|--|-----|-------------|------------|----------|---------|
| 101 | 1041950.765 | 973221.704 | 1594.841 | 1       |  | 135 | 1041951.528 | 973198.718 | 1592.469 | 2       |
| 102 | 1041950.432 | 973232.444 | 1596.189 | 1       |  | 136 | 1041953.378 | 973203.840 | 1593.014 | 2       |
| 137 | 1041954.034 | 973208.865 | 1593.178 | 3       |  | 171 | 1041931.932 | 973212.439 | 1586.430 | 2       |
| 138 | 1041954.168 | 973215.455 | 1594.038 | 2       |  | 172 | 1041934.127 | 973222.920 | 1587.396 | 3       |
| 139 | 1041954.637 | 973223.024 | 1595.209 | 3       |  | 173 | 1041938.601 | 973237.681 | 1589.119 | 2       |
| 140 | 1041954.955 | 973229.871 | 1596.354 | 2       |  | 174 | 1041939.747 | 973243.399 | 1589.875 | 2       |
| 141 | 1041941.900 | 973131.777 | 1586.395 | 3       |  | 175 | 1041917.091 | 973132.028 | 1579.741 | 1       |
| 142 | 1041942.535 | 973139.241 | 1586.904 | 2       |  | 176 | 1041919.038 | 973143.084 | 1580.699 | 2       |
| 143 | 1041942.575 | 973146.439 | 1587.342 | 1       |  | 177 | 1041921.209 | 973155.274 | 1581.680 | 1       |
| 144 | 1041942.380 | 973155.082 | 1588.118 | 2       |  | 178 | 1041923.616 | 973168.164 | 1582.753 | 1       |
| 145 | 1041942.624 | 973163.035 | 1588.792 | 3       |  | 179 | 1041925.852 | 973180.063 | 1583.770 | 3       |
| 146 | 1041944.442 | 973170.189 | 1589.367 | 1       |  | 180 | 1041950.330 | 973316.403 | 1595.711 | 1       |
| 147 | 1041946.491 | 973335.403 | 1594.767 | 3       |  | 181 | 1041949.773 | 973308.293 | 1596.407 | 3       |
| 148 | 1041946.512 | 973325.716 | 1594.449 | 1       |  | 182 | 1041949.669 | 973299.027 | 1596.800 | 1       |
| 149 | 1041946.346 | 973316.131 | 1594.253 | 3       |  | 183 | 1041949.759 | 973290.581 | 1597.026 | 1       |
| 150 | 1041946.069 | 973305.444 | 1593.566 | 3       |  | 184 | 1041949.752 | 973279.690 | 1597.457 | 1       |
| 151 | 1041945.297 | 973295.738 | 1593.059 | 3       |  | 185 | 1041950.542 | 973267.270 | 1597.639 | 2       |
| 152 | 1041944.330 | 973286.168 | 1592.296 | 3       |  | 186 | 1041952.947 | 973255.284 | 1598.323 | 2       |
| 153 | 1041943.465 | 973275.796 | 1592.143 | 3       |  | 187 | 1041955.743 | 973248.952 | 1598.173 | 2       |
| 154 | 1041942.833 | 973265.325 | 1592.299 | 3       |  | 188 | 1041955.706 | 973236.400 | 1596.993 | 3       |
| 155 | 1041943.509 | 973256.743 | 1591.103 | 2       |  | 189 | 1041956.205 | 973225.334 | 1596.844 | 1       |
| 156 | 1041943.411 | 973247.779 | 1591.009 | 1       |  | 190 | 1041957.522 | 973214.731 | 1597.004 | 3       |
| 157 | 1041941.423 | 973227.201 | 1588.439 | 3       |  | 191 | 1041964.037 | 973253.264 | 1599.105 | 2       |
| 158 | 1041942.399 | 973217.165 | 1587.847 | 3       |  | 192 | 1041959.902 | 973253.139 | 1598.465 | 3       |
| 159 | 1041942.567 | 973205.803 | 1587.451 | 3       |  | 193 | 1041959.336 | 973251.830 | 1598.277 | 1       |
| 160 | 1041940.667 | 973195.393 | 1587.316 | 2       |  | 194 | 1041963.429 | 973255.687 | 1599.208 | 3       |
| 161 | 1041938.599 | 973184.037 | 1587.236 | 1       |  | 195 | 1041958.406 | 973255.714 | 1598.475 | 2       |
| 162 | 1041937.464 | 973174.249 | 1587.117 | 1       |  | 196 | 1041956.647 | 973256.418 | 1598.484 | 2       |
| 163 | 1041935.964 | 973165.351 | 1586.923 | 2       |  | 197 | 1041983.449 | 973254.298 | 1599.402 | 3       |
| 164 | 1041936.156 | 973158.829 | 1586.742 | 2       |  | 198 | 1041975.793 | 973251.577 | 1598.859 | 3       |
| 165 | 1041937.100 | 973148.432 | 1586.590 | 3       |  | 199 | 1041968.976 | 973249.508 | 1598.318 | 3       |
| 166 | 1041936.800 | 973143.812 | 1586.497 | 2       |  | 200 | 1041963.625 | 973249.031 | 1598.037 | 2       |
| 167 | 1041927.853 | 973183.263 | 1584.166 | 1       |  | 201 | 1041960.449 | 973250.204 | 1598.118 | 1       |

| No. | Norte       | Este        | Cota       | Detalle |  | No. | Norte       | Este       | Cota     | Detalle |
|-----|-------------|-------------|------------|---------|--|-----|-------------|------------|----------|---------|
| 168 | 1041927.179 | 973186.454  | 1584.396   | 2       |  | 202 | 1041959.336 | 973251.830 | 1598.277 | 3       |
| 169 | 1041928.793 | 973195.698  | 1585.148   | 1       |  | 203 | 1041956.647 | 973256.418 | 1598.484 | 1       |
| 170 | 1041930.501 | 973204.811  | 1585.852   | 2       |  | 204 | 1041955.753 | 973258.400 | 1598.324 | 1       |
| 205 | 1041954.226 | 973263.945  | 1597.730   | 3       |  | 239 | 1041882.547 | 973164.920 | 1577.587 | 3       |
| 206 | 1041953.304 | 973271.045  | 1597.609   | 1       |  | 240 | 1041881.563 | 973149.903 | 1576.286 | 3       |
| 207 | 1041952.962 | 973278.596  | 1597.536   | 2       |  | 241 | 1041880.492 | 973135.188 | 1574.736 | 1       |
| 208 | 1041952.808 | 973285.252  | 1597.407   | 2       |  | 242 | 1041864.045 | 973219.305 | 1585.151 | 1       |
| 209 | 1041952.624 | 973293.136  | 1597.050   | 1       |  | 243 | 1041872.692 | 973226.257 | 1585.929 | 3       |
| 210 | 1041952.685 | 973300.826  | 1596.734   | 3       |  | 244 | 1041876.865 | 973229.793 | 1586.369 | 2       |
| 211 | 1041953.022 | 973308.724  | 1596.405   | 1       |  | 245 | 1041877.118 | 973135.120 | 1574.899 | 3       |
| 212 | 1041953.046 | 973317.046  | 1595.837   | 1       |  | 246 | 1041878.166 | 973150.240 | 1576.778 | 1       |
| 213 | 1041960.592 | 973211.546  | 1597.259   | 2       |  | 247 | 1041878.794 | 973164.585 | 1577.946 | 3       |
| 214 | 1041959.534 | 973221.791  | 1597.073   | 2       |  | 248 | 1041879.562 | 973177.712 | 1579.240 | 2       |
| 215 | 1041958.638 | 973230.384  | 1596.880   | 2       |  | 249 | 1041879.990 | 973191.445 | 1581.447 | 1       |
| 216 | 1041959.316 | 973238.874  | 1597.398   | 3       |  | 250 | 1041879.643 | 973202.297 | 1582.938 | 3       |
| 217 | 1041965.213 | 973244.331  | 1597.971   | 2       |  | 251 | 1041879.130 | 973214.911 | 1584.484 | 2       |
| 218 | 1041966.885 | 973246.110  | 1598.145   | 3       |  | 252 | 1041879.574 | 973227.275 | 1586.203 | 3       |
| 219 | 1598.485    | 1041972.183 | 973247.702 | 2       |  | 253 | 1041879.271 | 973227.432 | 1586.218 | 2       |
| 220 | 1041979.247 | 973250.320  | 1599.099   | 1       |  | 254 | 1041867.084 | 973218.193 | 1585.136 | 3       |
| 221 | 1041988.011 | 973253.310  | 1599.384   | 1       |  | 255 | 1041947.521 | 973173.460 | 1589.876 | 2       |
| 222 | 1041883.206 | 973292.793  | 1596.407   | 3       |  | 256 | 1041948.074 | 973178.991 | 1590.128 | 1       |
| 223 | 1041884.425 | 973285.578  | 1594.658   | 3       |  | 257 | 1041949.226 | 973185.723 | 1590.860 | 2       |
| 224 | 1041885.390 | 973278.578  | 1593.063   | 3       |  | 258 | 1041950.629 | 973192.626 | 1591.581 | 1       |
| 225 | 1041886.388 | 973269.005  | 1591.257   | 1       |  | 259 | 1041951.490 | 973195.958 | 1591.955 | 2       |
| 226 | 1041887.093 | 973258.967  | 1589.577   | 1       |  | 260 | 1041951.330 | 973198.694 | 1592.180 | 2       |
| 227 | 1041887.499 | 973253.442  | 1588.820   | 3       |  | 261 | 1041953.500 | 973204.755 | 1592.828 | 2       |
| 228 | 1041884.302 | 973253.164  | 1588.931   | 1       |  | 262 | 1041881.247 | 973135.172 | 1574.635 | 3       |
| 229 | 1041884.268 | 973258.081  | 1589.468   | 1       |  | 263 | 1041881.754 | 973144.487 | 1575.629 | 1       |
| 230 | 1041883.777 | 973266.504  | 1590.886   | 3       |  | 264 | 1041883.165 | 973163.237 | 1577.367 | 2       |
| 231 | 1041883.032 | 973275.093  | 1592.426   | 1       |  | 265 | 1041883.736 | 973172.843 | 1578.330 | 2       |
| 232 | 1041881.734 | 973284.313  | 1594.352   | 1       |  | 266 | 1041883.902 | 973182.735 | 1579.662 | 2       |
| 233 | 1041880.357 | 973292.307  | 1596.281   | 2       |  | 267 | 1041884.166 | 973192.747 | 1581.112 | 2       |
| 234 | 1041884.067 | 973228.013  | 1586.398   | 1       |  | 268 | 1041884.423 | 973203.292 | 1582.615 | 3       |

| No. | Norte       | Este       | Cota     | Detalle |  | No. | Norte       | Este       | Cota     | Detalle |
|-----|-------------|------------|----------|---------|--|-----|-------------|------------|----------|---------|
| 235 | 1041883.991 | 973218.062 | 1584.736 | 1       |  | 269 | 1041884.572 | 973213.097 | 1583.971 | 2       |
| 236 | 1041883.700 | 973202.654 | 1582.649 | 3       |  | 270 | 1041884.464 | 973223.276 | 1585.374 | 1       |
| 237 | 1041883.505 | 973191.225 | 1580.910 | 2       |  | 271 | 1041889.458 | 973331.117 | 1594.792 | 1       |
| 238 | 1041883.130 | 973177.661 | 1578.998 | 3       |  | 272 | 1041889.568 | 973317.225 | 1593.667 | 1       |
| 273 | 1041889.749 | 973299.871 | 1592.316 | 2       |  | 307 | 1041904.307 | 973271.235 | 1590.409 | 1       |
| 274 | 1041890.029 | 973279.916 | 1590.700 | 1       |  | 308 | 1041904.192 | 973280.844 | 1591.122 | 3       |
| 275 | 1041890.263 | 973259.863 | 1589.182 | 2       |  | 309 | 1041904.049 | 973292.869 | 1591.942 | 3       |
| 276 | 1041890.408 | 973244.123 | 1588.136 | 3       |  | 310 | 1041904.088 | 973300.117 | 1592.357 | 3       |
| 277 | 1041890.707 | 973229.047 | 1587.030 | 2       |  | 311 | 1041904.307 | 973302.477 | 1592.488 | 1       |
| 278 | 1041890.873 | 973213.503 | 1585.710 | 1       |  | 312 | 1041904.892 | 973307.297 | 1592.744 | 1       |
| 279 | 1041891.092 | 973197.020 | 1584.423 | 2       |  | 313 | 1041905.279 | 973309.658 | 1592.897 | 2       |
| 280 | 1041891.270 | 973180.733 | 1583.072 | 3       |  | 314 | 1041905.808 | 973312.011 | 1593.008 | 2       |
| 281 | 1041891.146 | 973164.973 | 1581.816 | 2       |  | 315 | 1041906.488 | 973314.356 | 1593.113 | 2       |
| 282 | 1041891.128 | 973150.495 | 1580.695 | 3       |  | 316 | 1041907.364 | 973316.594 | 1593.232 | 3       |
| 283 | 1041890.893 | 973135.975 | 1579.503 | 1       |  | 317 | 1041908.368 | 973318.810 | 1593.326 | 2       |
| 284 | 1041927.798 | 973182.769 | 1583.782 | 1       |  | 318 | 1041909.600 | 973320.832 | 1593.420 | 1       |
| 285 | 1041926.608 | 973186.034 | 1584.082 | 2       |  | 319 | 1041911.253 | 973322.616 | 1593.500 | 3       |
| 286 | 1041929.720 | 973202.557 | 1585.473 | 2       |  | 320 | 1041913.364 | 973323.810 | 1593.619 | 2       |
| 287 | 1041932.525 | 973217.776 | 1586.734 | 3       |  | 321 | 1041915.629 | 973324.604 | 1593.637 | 3       |
| 288 | 1041935.823 | 973235.299 | 1588.287 | 2       |  | 322 | 1041918.045 | 973324.764 | 1593.619 | 2       |
| 289 | 1041938.581 | 973251.123 | 1589.705 | 1       |  | 323 | 1041920.350 | 973324.352 | 1593.590 | 2       |
| 290 | 1041940.758 | 973263.502 | 1590.711 | 1       |  | 324 | 1041922.608 | 973323.319 | 1593.557 | 3       |
| 291 | 1041945.108 | 973302.527 | 1593.294 | 1       |  | 325 | 1041924.468 | 973321.993 | 1593.453 | 2       |
| 292 | 1041945.594 | 973314.845 | 1593.839 | 1       |  | 326 | 1041925.895 | 973319.884 | 1593.427 | 1       |
| 293 | 1041945.890 | 973326.027 | 1594.334 | 2       |  | 327 | 1041927.058 | 973317.786 | 1593.340 | 3       |
| 294 | 1041946.102 | 973337.296 | 1594.697 | 2       |  | 328 | 1041928.065 | 973315.513 | 1593.245 | 2       |
| 295 | 1041916.963 | 973132.969 | 1579.648 | 1       |  | 329 | 1041928.840 | 973313.152 | 1593.133 | 3       |
| 296 | 1041919.745 | 973148.829 | 1580.965 | 2       |  | 330 | 1041929.462 | 973310.863 | 1593.053 | 3       |
| 297 | 1041923.032 | 973166.714 | 1582.480 | 2       |  | 331 | 1041929.874 | 973308.316 | 1592.894 | 2       |
| 298 | 1041925.780 | 973181.279 | 1583.703 | 2       |  | 332 | 1041930.125 | 973303.516 | 1592.654 | 1       |
| 299 | 1041903.770 | 973183.785 | 1583.401 | 2       |  | 333 | 1041930.320 | 973299.467 | 1592.466 | 2       |
| 300 | 1041901.753 | 973188.241 | 1584.012 | 1       |  | 334 | 1041930.180 | 973296.069 | 1592.250 | 1       |
| 301 | 1041901.488 | 973206.826 | 1585.459 | 1       |  | 335 | 1041928.507 | 973279.349 | 1591.102 | 1       |

| No. | Norte       | Este       | Cota     | Detalle |  | No. | Norte       | Este       | Cota     | Detalle |
|-----|-------------|------------|----------|---------|--|-----|-------------|------------|----------|---------|
| 302 | 1041901.570 | 973214.921 | 1586.148 | 3       |  | 336 | 1041927.166 | 973269.685 | 1590.447 | 1       |
| 303 | 1041901.849 | 973222.670 | 1586.767 | 2       |  | 337 | 1041925.652 | 973259.755 | 1589.844 | 1       |
| 304 | 1041902.349 | 973230.774 | 1587.323 | 2       |  | 338 | 1041922.650 | 973243.262 | 1588.684 | 1       |
| 305 | 1041902.748 | 973239.181 | 1588.004 | 3       |  | 339 | 1041920.335 | 973230.745 | 1587.793 | 2       |
| 306 | 1041903.601 | 973256.870 | 1589.306 | 3       |  | 340 | 1041920.080 | 973229.062 | 1587.624 | 1       |
| 341 | 1041919.939 | 973226.686 | 1587.540 | 1       |  | 375 | 1041901.077 | 973210.423 | 1585.796 | 2       |
| 342 | 1041918.365 | 973213.696 | 1586.536 | 3       |  | 376 | 1041901.617 | 973226.804 | 1587.110 | 1       |
| 343 | 1041916.431 | 973197.770 | 1585.238 | 3       |  | 377 | 1041902.658 | 973245.875 | 1588.600 | 2       |
| 344 | 1041914.373 | 973180.746 | 1583.800 | 3       |  | 378 | 1041903.888 | 973270.326 | 1590.458 | 1       |
| 345 | 1041913.246 | 973173.623 | 1583.171 | 2       |  | 379 | 1041903.617 | 973295.203 | 1592.185 | 2       |
| 346 | 1041909.261 | 973151.955 | 1581.394 | 2       |  | 380 | 1041903.648 | 973300.099 | 1592.451 | 3       |
| 347 | 1041906.349 | 973135.231 | 1579.931 | 3       |  | 381 | 1041904.176 | 973304.946 | 1592.763 | 2       |
| 348 | 1041901.291 | 973135.289 | 1579.733 | 2       |  | 382 | 1041904.890 | 973309.765 | 1593.005 | 2       |
| 349 | 1041901.697 | 973163.363 | 1582.026 | 1       |  | 383 | 1041906.003 | 973314.275 | 1593.208 | 2       |
| 350 | 1041901.838 | 973180.130 | 1583.330 | 3       |  | 384 | 1041907.506 | 973317.969 | 1593.384 | 1       |
| 351 | 1041902.754 | 973181.820 | 1583.416 | 1       |  | 385 | 1041908.692 | 973320.242 | 1593.484 | 2       |
| 352 | 1041945.056 | 973337.136 | 1594.869 | 2       |  | 386 | 1041910.923 | 973322.872 | 1593.583 | 3       |
| 353 | 1041944.952 | 973326.044 | 1594.488 | 1       |  | 387 | 1041913.488 | 973324.368 | 1593.707 | 3       |
| 354 | 1041944.584 | 973314.868 | 1594.049 | 2       |  | 388 | 1041916.531 | 973325.205 | 1593.744 | 2       |
| 355 | 1041944.026 | 973302.797 | 1593.434 | 3       |  | 389 | 1041919.307 | 973325.080 | 1593.714 | 1       |
| 356 | 1041939.824 | 973263.609 | 1590.832 | 1       |  | 390 | 1041922.003 | 973324.218 | 1593.656 | 2       |
| 357 | 1041937.303 | 973248.356 | 1589.572 | 1       |  | 391 | 1041924.574 | 973322.486 | 1593.580 | 1       |
| 358 | 1041934.145 | 973230.667 | 1587.945 | 2       |  | 392 | 1041926.170 | 973320.490 | 1593.489 | 2       |
| 359 | 1041931.103 | 973214.401 | 1586.517 | 3       |  | 393 | 1041927.599 | 973317.780 | 1593.380 | 3       |
| 360 | 1041927.961 | 973198.055 | 1585.196 | 3       |  | 394 | 1041928.824 | 973314.855 | 1593.248 | 2       |
| 361 | 1041924.144 | 973177.442 | 1583.491 | 1       |  | 395 | 1041929.749 | 973311.857 | 1593.116 | 3       |
| 362 | 1041921.064 | 973160.843 | 1582.046 | 1       |  | 396 | 1041930.270 | 973308.990 | 1592.973 | 1       |
| 363 | 1041918.242 | 973145.245 | 1581.070 | 3       |  | 397 | 1041930.501 | 973305.879 | 1592.821 | 1       |
| 364 | 1041916.126 | 973133.028 | 1579.680 | 1       |  | 398 | 1041930.694 | 973302.275 | 1592.622 | 1       |
| 365 | 1041936.004 | 973331.494 | 1594.439 | 2       |  | 399 | 1041930.808 | 973299.024 | 1592.475 | 1       |
| 366 | 1041933.164 | 973331.594 | 1594.386 | 1       |  | 400 | 1041930.607 | 973295.145 | 1592.234 | 3       |
| 367 | 1041927.999 | 973335.081 | 1594.545 | 1       |  | 401 | 1041930.023 | 973288.768 | 1591.824 | 1       |
| 368 | 1041921.340 | 973337.330 | 1594.646 | 2       |  | 402 | 1041928.634 | 973276.670 | 1590.974 | 2       |

| No. | Norte       | Este       | Cota     | Detalle |  | No. | Norte       | Este       | Cota     | Detalle |
|-----|-------------|------------|----------|---------|--|-----|-------------|------------|----------|---------|
| 369 | 1041913.611 | 973337.289 | 1594.694 | 1       |  | 403 | 1041926.444 | 973262.160 | 1590.025 | 3       |
| 370 | 1041905.419 | 973334.125 | 1594.601 | 2       |  | 404 | 1041924.439 | 973250.275 | 1589.184 | 1       |
| 371 | 1041901.453 | 973327.611 | 1594.249 | 3       |  | 405 | 1041921.777 | 973236.058 | 1588.220 | 3       |
| 372 | 1041900.005 | 973329.593 | 1594.410 | 3       |  | 406 | 1041920.725 | 973229.112 | 1587.766 | 3       |
| 373 | 1041899.554 | 973334.605 | 1594.745 | 3       |  | 407 | 1041918.944 | 973214.343 | 1586.634 | 2       |
| 374 | 1041901.211 | 973197.735 | 1584.784 | 1       |  | 408 | 1041917.197 | 973200.108 | 1585.479 | 1       |
| 409 | 1041915.483 | 973185.624 | 1584.234 | 2       |  | 443 | 1041891.912 | 973152.314 | 1580.915 | 2       |
| 410 | 1041914.743 | 973179.682 | 1583.725 | 1       |  | 444 | 1041892.153 | 973168.784 | 1582.242 | 2       |
| 411 | 1041912.926 | 973168.576 | 1582.800 | 2       |  | 445 | 1041892.234 | 973183.546 | 1583.429 | 3       |
| 412 | 1041906.880 | 973135.340 | 1579.995 | 1       |  | 446 | 1041892.033 | 973199.487 | 1584.731 | 1       |
| 413 | 1041909.791 | 973151.793 | 1581.374 | 2       |  | 447 | 1041891.744 | 973218.306 | 1586.218 | 1       |
| 414 | 1041912.926 | 973168.576 | 1582.800 | 1       |  | 448 | 1041891.508 | 973236.168 | 1587.574 | 3       |
| 415 | 1041916.676 | 973185.937 | 1584.283 | 1       |  | 449 | 1041891.271 | 973253.565 | 1588.863 | 1       |
| 416 | 1041920.089 | 973204.026 | 1585.788 | 1       |  | 450 | 1041890.952 | 973279.898 | 1590.854 | 3       |
| 417 | 1041923.063 | 973220.116 | 1587.089 | 3       |  | 451 | 1041890.693 | 973299.903 | 1592.508 | 1       |
| 418 | 1041926.164 | 973236.978 | 1588.354 | 3       |  | 452 | 1041890.425 | 973321.422 | 1594.137 | 2       |
| 419 | 1041929.096 | 973253.708 | 1589.642 | 1       |  | 453 | 1041890.246 | 973331.424 | 1594.950 | 1       |
| 420 | 1041931.719 | 973271.260 | 1590.884 | 2       |  | 454 | 1041888.032 | 973183.468 | 1583.062 | 1       |
| 421 | 1041933.015 | 973280.233 | 1591.547 | 1       |  | 455 | 1041884.658 | 973202.944 | 1582.004 | 3       |
| 422 | 1041934.001 | 973290.360 | 1592.198 | 2       |  | 456 | 1041887.001 | 973136.580 | 1578.390 | 3       |
| 423 | 1041934.603 | 973299.922 | 1592.756 | 2       |  | 457 | 1041946.069 | 973305.444 | 1593.566 | 3       |
| 424 | 1041935.299 | 973311.227 | 1593.406 | 3       |  | 458 | 1041961.867 | 973232.090 | 1597.575 | 2       |
| 425 | 1041935.819 | 973321.454 | 1593.973 | 3       |  | 459 | 1041923.616 | 973168.164 | 1582.753 | 1       |
| 426 | 1041936.004 | 973331.494 | 1594.439 | 3       |  | 460 | 1041950.629 | 973192.626 | 1591.581 | 3       |
| 427 | 1041899.554 | 973334.605 | 1594.745 | 2       |  | 461 | 1041925.895 | 973319.884 | 1593.427 | 2       |
| 428 | 1041899.532 | 973331.470 | 1594.553 | 1       |  | 462 | 1041890.408 | 973244.123 | 1588.136 | 3       |
| 429 | 1041899.358 | 973327.250 | 1594.253 | 1       |  | 463 | 1041940.758 | 973263.502 | 1590.711 | 1       |
| 430 | 1041899.546 | 973313.296 | 1593.366 | 2       |  | 464 | 1041874.148 | 973208.993 | 1583.650 | 3       |
| 431 | 1041899.622 | 973297.298 | 1592.311 | 3       |  | 465 | 1041935.819 | 973321.454 | 1593.973 | 2       |
| 432 | 1041899.786 | 973282.108 | 1591.238 | 1       |  | 466 | 1041902.782 | 973181.674 | 1583.716 | 1       |
| 433 | 1041900.054 | 973266.225 | 1590.074 | 2       |  | 467 | 1041926.164 | 973236.978 | 1588.354 | 1       |
| 434 | 1041900.200 | 973248.581 | 1588.727 | 1       |  | 468 | 1041890.246 | 973331.424 | 1594.959 | 3       |
| 435 | 1041900.387 | 973232.030 | 1587.492 | 3       |  | 469 | 1041901.574 | 973134.602 | 1579.890 | 2       |

| No. | Norte       | Este       | Cota     | Detalle |  | No. | Norte       | Este       | Cota     | Detalle |
|-----|-------------|------------|----------|---------|--|-----|-------------|------------|----------|---------|
| 436 | 1041900.487 | 973218.207 | 1586.432 | 2       |  | 470 | 1041901.453 | 973327.611 | 1594.249 | 1       |
| 437 | 1041901.211 | 973197.735 | 1584.784 | 3       |  | 471 | 1041914.212 | 973182.472 | 1584.138 | 1       |
| 438 | 1041901.425 | 973180.245 | 1583.385 | 1       |  | 472 | 1041892.033 | 973199.487 | 1584.731 | 2       |
| 439 | 1041901.364 | 973169.050 | 1582.475 | 2       |  | 473 | 1041903.022 | 973165.152 | 1582.948 | 1       |
| 440 | 1041901.113 | 973153.236 | 1581.233 | 3       |  | 474 | 1041975.793 | 973251.577 | 1598.859 | 1       |
| 441 | 1041900.901 | 973135.482 | 1579.832 | 2       |  | 475 | 1041923.571 | 973255.061 | 1590.429 | 2       |
| 442 | 1041891.683 | 973135.602 | 1579.583 | 2       |  | 476 | 1041949.759 | 973290.581 | 1597.026 | 1       |
| 477 | 1041926.124 | 973281.284 | 1592.307 | 3       |  | 511 | 1041872.595 | 973242.358 | 1587.942 | 1       |
| 478 | 1041956.647 | 973256.418 | 1598.484 | 1       |  | 512 | 1041876.719 | 973160.610 | 1577.624 | 3       |
| 479 | 1041908.013 | 973273.407 | 1591.437 | 2       |  | 513 | 1041887.872 | 973228.156 | 1587.090 | 3       |
| 480 | 1041883.032 | 973275.093 | 1592.426 | 1       |  | 514 | 1041957.540 | 973260.065 | 1598.372 | 1       |
| 481 | 1041910.237 | 973300.153 | 1593.445 | 1       |  | 515 | 1041935.964 | 973165.351 | 1586.923 | 1       |
| 482 | 1041888.027 | 973251.749 | 1588.743 | 2       |  | 516 | 1041944.442 | 973170.189 | 1589.367 | 1       |
| 483 | 1041890.297 | 973202.171 | 1585.423 | 2       |  | 517 | 1041947.521 | 973173.460 | 1589.876 | 3       |
| 484 | 1041890.292 | 973221.720 | 1586.634 | 3       |  | 518 | 1041891.146 | 973164.973 | 1581.816 | 2       |
| 485 | 1041953.378 | 973203.840 | 1593.014 | 2       |  | 519 | 1041881.754 | 973144.487 | 1575.629 | 3       |
| 486 | 1041943.411 | 973247.779 | 1591.009 | 2       |  | 520 | 1041904.049 | 973292.869 | 1591.942 | 2       |
| 487 | 1041936.800 | 973143.812 | 1586.497 | 3       |  | 521 | 1041916.963 | 973132.969 | 1579.648 | 1       |
| 488 | 1041931.932 | 973212.439 | 1586.430 | 3       |  | 522 | 1041933.436 | 973202.250 | 1587.281 | 2       |
| 489 | 1041901.849 | 973222.670 | 1586.767 | 3       |  | 523 | 1041949.466 | 973211.104 | 1593.586 | 2       |
| 490 | 1041918.045 | 973324.764 | 1593.619 | 2       |  | 524 | 1041900.054 | 973266.225 | 1590.074 | 1       |
| 491 | 1041906.488 | 973314.356 | 1593.113 | 3       |  | 525 | 1041934.145 | 973230.667 | 1587.945 | 2       |
| 492 | 1041930.125 | 973303.516 | 1592.654 | 1       |  | 526 | 1041921.064 | 973160.843 | 1582.046 | 3       |
| 493 | 1041928.531 | 973143.153 | 1586.523 | 2       |  | 527 | 1041928.824 | 973314.855 | 1593.248 | 2       |
| 494 | 1041938.849 | 973145.638 | 1587.381 | 3       |  | 528 | 1041901.996 | 973210.808 | 1586.142 | 1       |
| 495 | 1041855.449 | 973231.057 | 1588.016 | 2       |  | 529 | 1041901.935 | 973200.228 | 1585.111 | 3       |
| 496 | 1041928.634 | 973276.670 | 1590.974 | 3       |  | 530 | 1041927.490 | 973180.897 | 1584.374 | 3       |
| 497 | 1041900.005 | 973329.593 | 1594.410 | 1       |  | 531 | 1041904.770 | 973238.929 | 1588.793 | 1       |
| 498 | 1041935.180 | 973134.100 | 1585.839 | 1       |  | 532 | 1041877.402 | 973181.290 | 1578.383 | 2       |
| 499 | 1041919.307 | 973325.080 | 1593.714 | 2       |  | 533 | 1041914.807 | 973217.400 | 1587.315 | 2       |
| 500 | 1041966.176 | 973235.971 | 1597.833 | 2       |  | 534 | 1041968.976 | 973249.508 | 1598.318 | 2       |
| 501 | 1041891.271 | 973253.565 | 1588.863 | 3       |  | 535 | 1041918.156 | 973255.650 | 1590.212 | 2       |
| 502 | 1041903.049 | 973144.131 | 1581.361 | 3       |  | 536 | 1041879.990 | 973191.445 | 1581.447 | 1       |

| No. | Norte       | Este       | Cota     | Detalle |  | No. | Norte       | Este       | Cota     | Detalle |
|-----|-------------|------------|----------|---------|--|-----|-------------|------------|----------|---------|
| 503 | 1041965.213 | 973244.331 | 1597.971 | 3       |  | 537 | 1041906.148 | 973312.147 | 1593.240 | 2       |
| 504 | 1041920.368 | 973237.727 | 1589.181 | 3       |  | 538 | 1041879.271 | 973227.432 | 1586.218 | 3       |
| 505 | 1041926.474 | 973182.861 | 1584.407 | 1       |  | 539 | 1041927.496 | 973307.605 | 1593.877 | 1       |
| 506 | 1041902.568 | 973228.011 | 1587.335 | 1       |  | 540 | 1041877.889 | 973202.616 | 1583.254 | 3       |
| 507 | 1041956.205 | 973225.334 | 1596.844 | 3       |  | 541 | 1041889.843 | 973171.280 | 1583.319 | 3       |
| 508 | 1041903.820 | 973256.922 | 1589.444 | 3       |  | 542 | 1041953.679 | 973304.699 | 1596.673 | 2       |
| 509 | 1041879.574 | 973227.275 | 1586.203 | 2       |  | 543 | 1041920.069 | 973230.495 | 1587.996 | 2       |
| 510 | 1041923.526 | 973322.439 | 1593.649 | 1       |  | 544 | 1041951.695 | 973196.340 | 1592.253 | 2       |
| 545 | 1041964.265 | 973252.391 | 1599.176 | 1       |  | 579 | 1041925.652 | 973259.755 | 1589.844 | 2       |
| 546 | 1041962.195 | 973230.377 | 1597.628 | 3       |  | 580 | 1041876.193 | 973202.724 | 1583.200 | 1       |
| 547 | 1041884.572 | 973213.097 | 1583.971 | 2       |  | 581 | 1041936.004 | 973331.494 | 1594.439 | 2       |
| 548 | 1041928.840 | 973313.152 | 1593.133 | 2       |  | 582 | 1041864.918 | 973248.817 | 1588.161 | 3       |
| 549 | 1041914.373 | 973180.746 | 1583.800 | 3       |  | 583 | 1041900.200 | 973248.581 | 1588.727 | 2       |
| 550 | 1041920.080 | 973229.062 | 1587.624 | 3       |  | 584 | 1041904.176 | 973304.946 | 1592.763 | 1       |
| 551 | 1041949.525 | 973244.738 | 1596.508 | 2       |  | 585 | 1041935.475 | 973231.942 | 1588.144 | 1       |
| 552 | 1041899.546 | 973313.296 | 1593.366 | 1       |  | 586 | 1041913.611 | 973337.289 | 1594.694 | 1       |
| 553 | 1041924.144 | 973177.442 | 1583.491 | 1       |  | 587 | 1041932.412 | 973139.531 | 1586.137 | 2       |
| 554 | 1041916.676 | 973185.937 | 1584.283 | 1       |  | 588 | 1041901.211 | 973197.735 | 1584.784 | 1       |
| 555 | 1041903.888 | 973270.326 | 1590.458 | 1       |  | 589 | 1041902.094 | 973165.116 | 1582.356 | 3       |
| 556 | 1041901.876 | 973156.100 | 1581.626 | 1       |  | 590 | 1041959.534 | 973221.791 | 1597.073 | 1       |
| 557 | 1041947.856 | 973281.607 | 1597.856 | 2       |  | 591 | 1041922.173 | 973246.324 | 1589.841 | 2       |
| 558 | 1041903.852 | 973188.019 | 1584.740 | 1       |  | 592 | 1041952.808 | 973285.252 | 1597.407 | 2       |
| 559 | 1041901.113 | 973153.236 | 1581.233 | 3       |  | 593 | 1041928.311 | 973281.054 | 1591.338 | 2       |
| 560 | 1041906.793 | 973173.618 | 1583.754 | 3       |  | 594 | 1041955.743 | 973248.952 | 1598.173 | 1       |
| 561 | 1041902.856 | 973236.901 | 1587.962 | 2       |  | 595 | 1041909.634 | 973265.252 | 1590.772 | 2       |
| 562 | 1041916.273 | 973199.579 | 1585.574 | 3       |  | 596 | 1041881.734 | 973284.313 | 1594.352 | 1       |
| 563 | 1041949.773 | 973308.293 | 1596.407 | 3       |  | 597 | 1041904.285 | 973291.898 | 1592.064 | 3       |
| 564 | 1041923.597 | 973290.655 | 1592.818 | 3       |  | 598 | 1041880.436 | 973252.324 | 1588.608 | 1       |
| 565 | 1041881.563 | 973149.903 | 1576.286 | 3       |  | 599 | 1041889.510 | 973202.355 | 1585.903 | 1       |
| 566 | 1041919.337 | 973323.061 | 1594.449 | 3       |  | 600 | 1041889.199 | 973221.849 | 1587.374 | 2       |
| 567 | 1041884.302 | 973253.164 | 1588.931 | 2       |  | 601 | 1041954.034 | 973208.865 | 1593.178 | 1       |
| 568 | 1041928.464 | 973298.809 | 1593.337 | 1       |  | 602 | 1041939.747 | 973243.399 | 1589.875 | 1       |
| 569 | 1041882.564 | 973232.585 | 1587.060 | 1       |  | 603 | 1041941.900 | 973131.777 | 1586.395 | 2       |

| No. | Norte       | Este       | Cota     | Detalle |  | No. | Norte       | Este       | Cota     | Detalle |
|-----|-------------|------------|----------|---------|--|-----|-------------|------------|----------|---------|
| 570 | 1041884.161 | 973183.064 | 1579.075 | 1       |  | 604 | 1041934.127 | 973222.920 | 1587.396 | 3       |
| 571 | 1041890.462 | 973211.830 | 1586.069 | 2       |  | 605 | 1041891.092 | 973197.020 | 1584.423 | 1       |
| 572 | 1041887.597 | 973147.016 | 1579.506 | 2       |  | 606 | 1041890.263 | 973259.863 | 1589.182 | 3       |
| 573 | 1041945.297 | 973295.738 | 1593.059 | 1       |  | 607 | 1041905.808 | 973312.011 | 1593.008 | 2       |
| 574 | 1041961.118 | 973232.173 | 1597.584 | 3       |  | 608 | 1041946.323 | 973274.589 | 1598.051 | 1       |
| 575 | 1041925.852 | 973180.063 | 1583.770 | 3       |  | 609 | 1041929.759 | 973154.906 | 1587.012 | 2       |
| 576 | 1041949.226 | 973185.723 | 1590.860 | 3       |  | 610 | 1041937.247 | 973163.278 | 1588.943 | 3       |
| 577 | 1041924.468 | 973321.993 | 1593.453 | 3       |  | 611 | 1041856.843 | 973227.692 | 1587.936 | 3       |
| 578 | 1041913.364 | 973323.810 | 1593.619 | 3       |  | 612 | 1041939.824 | 973263.609 | 1590.832 | 2       |
| 613 | 1041908.692 | 973320.242 | 1593.484 | 3       |  | 647 | 1041903.569 | 973227.905 | 1587.921 | 2       |
| 614 | 1041930.086 | 973134.708 | 1586.055 | 3       |  | 648 | 1041876.875 | 973182.591 | 1578.285 | 1       |
| 615 | 1041933.164 | 973331.594 | 1594.386 | 3       |  | 649 | 1041910.636 | 973210.014 | 1586.618 | 3       |
| 616 | 1041964.423 | 973232.014 | 1597.632 | 2       |  | 650 | 1041880.357 | 973292.307 | 1596.281 | 3       |
| 617 | 1041902.658 | 973245.875 | 1588.600 | 2       |  | 651 | 1041904.291 | 973300.593 | 1592.588 | 3       |
| 618 | 1041902.993 | 973156.045 | 1582.189 | 3       |  | 652 | 1041879.562 | 973177.712 | 1579.240 | 3       |
| 619 | 1041979.247 | 973250.320 | 1599.099 | 3       |  | 653 | 1041910.396 | 973319.277 | 1594.291 | 2       |
| 620 | 1041918.794 | 973227.594 | 1588.356 | 3       |  | 654 | 1041876.865 | 973229.793 | 1586.369 | 3       |
| 621 | 1041876.292 | 973178.367 | 1578.114 | 1       |  | 655 | 1041926.856 | 973317.538 | 1593.570 | 1       |
| 622 | 1041902.157 | 973218.484 | 1586.665 | 2       |  | 656 | 1041877.777 | 973209.331 | 1583.891 | 1       |
| 623 | 1041959.902 | 973253.139 | 1598.465 | 1       |  | 657 | 1041887.852 | 973171.270 | 1582.185 | 1       |
| 624 | 1041903.667 | 973248.072 | 1588.818 | 3       |  | 658 | 1041953.860 | 973311.865 | 1596.437 | 2       |
| 625 | 1041883.991 | 973218.062 | 1584.736 | 1       |  | 659 | 1041890.492 | 973136.327 | 1579.712 | 2       |
| 626 | 1041912.285 | 973322.861 | 1593.780 | 1       |  | 660 | 1041951.528 | 973198.718 | 1592.469 | 1       |
| 627 | 1041867.125 | 973245.090 | 1588.060 | 1       |  | 661 | 1041958.698 | 973204.107 | 1598.300 | 2       |
| 628 | 1041877.519 | 973169.649 | 1578.272 | 2       |  | 662 | 1041967.469 | 973251.128 | 1598.486 | 1       |
| 629 | 1041884.939 | 973227.087 | 1586.464 | 3       |  | 663 | 1041884.464 | 973223.276 | 1585.374 | 1       |
| 630 | 1041955.232 | 973267.453 | 1597.693 | 2       |  | 664 | 1041928.065 | 973315.513 | 1593.245 | 3       |
| 631 | 1041906.054 | 973230.797 | 1588.156 | 3       |  | 665 | 1041925.780 | 973181.279 | 1583.703 | 3       |
| 632 | 1041947.556 | 973171.358 | 1589.996 | 1       |  | 666 | 1041935.823 | 973235.299 | 1588.287 | 1       |
| 633 | 1041946.102 | 973337.296 | 1594.697 | 3       |  | 667 | 1041949.119 | 973254.807 | 1598.670 | 3       |
| 634 | 1041903.770 | 973183.785 | 1583.401 | 3       |  | 668 | 1041934.603 | 973299.922 | 1592.756 | 1       |
| 635 | 1041883.165 | 973163.237 | 1577.367 | 2       |  | 669 | 1041944.026 | 973302.797 | 1593.434 | 1       |
| 636 | 1041904.192 | 973280.844 | 1591.122 | 1       |  | 670 | 1041920.089 | 973204.026 | 1585.788 | 1       |

| No. | Norte       | Este       | Cota     | Detalle |  | No. | Norte       | Este       | Cota     | Detalle |
|-----|-------------|------------|----------|---------|--|-----|-------------|------------|----------|---------|
| 637 | 1041906.349 | 973135.231 | 1579.931 | 1       |  | 671 | 1041890.693 | 973299.903 | 1592.508 | 1       |
| 638 | 1041934.164 | 973211.790 | 1587.597 | 2       |  | 672 | 1041907.330 | 973143.179 | 1580.966 | 3       |
| 639 | 1041950.765 | 973221.704 | 1594.841 | 3       |  | 673 | 1041948.234 | 973297.700 | 1597.640 | 3       |
| 640 | 1041931.719 | 973271.260 | 1590.884 | 3       |  | 674 | 1041909.508 | 973183.111 | 1584.693 | 3       |
| 641 | 1041920.725 | 973229.112 | 1587.766 | 2       |  | 675 | 1041892.153 | 973168.784 | 1582.242 | 2       |
| 642 | 1041912.926 | 973168.576 | 1582.800 | 2       |  | 676 | 1041910.520 | 973165.335 | 1583.409 | 1       |
| 643 | 1041929.749 | 973311.857 | 1593.116 | 1       |  | 677 | 1041920.291 | 973231.221 | 1588.054 | 1       |
| 644 | 1041951.479 | 973245.503 | 1597.872 | 3       |  | 678 | 1041915.408 | 973192.115 | 1584.913 | 3       |
| 645 | 1041903.336 | 973192.547 | 1584.946 | 1       |  | 679 | 1041953.022 | 973308.724 | 1596.405 | 3       |
| 646 | 1041927.424 | 973181.040 | 1584.358 | 1       |  | 680 | 1041911.713 | 973283.791 | 1592.343 | 2       |
| 681 | 1041877.118 | 973135.120 | 1574.899 | 1       |  | 715 | 1041871.505 | 973229.880 | 1587.846 | 3       |
| 682 | 1041919.833 | 973308.632 | 1593.966 | 1       |  | 716 | 1041887.270 | 973221.663 | 1586.696 | 2       |
| 683 | 1041887.499 | 973253.442 | 1588.820 | 2       |  | 717 | 1041954.168 | 973215.455 | 1594.038 | 2       |
| 684 | 1041915.702 | 973318.036 | 1594.356 | 1       |  | 718 | 1041940.667 | 973195.393 | 1587.316 | 2       |
| 685 | 1041887.797 | 973238.800 | 1587.813 | 3       |  | 719 | 1041942.535 | 973139.241 | 1586.904 | 1       |
| 686 | 1041890.742 | 973192.534 | 1584.405 | 2       |  | 720 | 1041941.423 | 973227.201 | 1588.439 | 3       |
| 687 | 1041889.428 | 973212.043 | 1586.597 | 3       |  | 721 | 1041901.570 | 973214.921 | 1586.148 | 3       |
| 688 | 1041884.189 | 973148.132 | 1577.435 | 1       |  | 722 | 1041915.629 | 973324.604 | 1593.637 | 1       |
| 689 | 1041944.330 | 973286.168 | 1592.296 | 1       |  | 723 | 1041905.279 | 973309.658 | 1592.897 | 3       |
| 690 | 1041960.525 | 973231.899 | 1597.613 | 1       |  | 724 | 1041947.096 | 973285.655 | 1597.690 | 1       |
| 691 | 1041927.853 | 973183.263 | 1584.166 | 2       |  | 725 | 1041930.798 | 973168.501 | 1587.353 | 2       |
| 692 | 1041902.748 | 973239.181 | 1588.004 | 2       |  | 726 | 1041939.072 | 973172.372 | 1589.464 | 3       |
| 693 | 1041889.749 | 973299.871 | 1592.316 | 1       |  | 727 | 1041850.718 | 973224.354 | 1587.855 | 3       |
| 694 | 1041911.253 | 973322.616 | 1593.500 | 2       |  | 728 | 1041926.444 | 973262.160 | 1590.025 | 3       |
| 695 | 1041927.166 | 973269.685 | 1590.447 | 3       |  | 729 | 1041905.419 | 973334.125 | 1594.601 | 1       |
| 696 | 1041873.316 | 973135.292 | 1574.867 | 3       |  | 730 | 1041941.504 | 973138.863 | 1586.637 | 3       |
| 697 | 1041945.056 | 973337.136 | 1594.869 | 2       |  | 731 | 1041922.003 | 973324.218 | 1593.656 | 2       |
| 698 | 1041862.932 | 973252.844 | 1588.421 | 3       |  | 732 | 1041962.750 | 973237.251 | 1597.664 | 3       |
| 699 | 1041929.096 | 973253.708 | 1589.642 | 1       |  | 733 | 1041902.412 | 973230.094 | 1587.426 | 2       |
| 700 | 1041904.890 | 973309.765 | 1593.005 | 3       |  | 734 | 1041910.080 | 973199.869 | 1585.837 | 3       |
| 701 | 1041936.958 | 973239.202 | 1588.892 | 1       |  | 735 | 1041972.183 | 973247.702 | 1598.485 | 1       |
| 702 | 1041913.488 | 973324.368 | 1593.707 | 3       |  | 736 | 1041915.174 | 973238.278 | 1588.889 | 2       |
| 703 | 1041971.338 | 973245.685 | 1598.320 | 3       |  | 737 | 1041876.246 | 973178.351 | 1578.134 | 1       |

| No. | Norte       | Este       | Cota     | Detalle |  | No. | Norte       | Este       | Cota     | Detalle |
|-----|-------------|------------|----------|---------|--|-----|-------------|------------|----------|---------|
| 704 | 1041891.744 | 973218.306 | 1586.218 | 1       |  | 738 | 1041902.993 | 973218.488 | 1587.161 | 2       |
| 705 | 1041909.641 | 973155.990 | 1581.923 | 2       |  | 739 | 1041959.336 | 973251.830 | 1598.277 | 1       |
| 706 | 1041983.449 | 973254.298 | 1599.402 | 3       |  | 740 | 1041905.223 | 973256.726 | 1590.164 | 2       |
| 707 | 1041924.407 | 973254.833 | 1589.688 | 1       |  | 741 | 1041879.130 | 973214.911 | 1584.484 | 1       |
| 708 | 1041949.752 | 973279.690 | 1597.457 | 3       |  | 742 | 1041918.241 | 973324.511 | 1593.760 | 2       |
| 709 | 1041927.115 | 973271.785 | 1590.780 | 1       |  | 743 | 1041873.802 | 973235.625 | 1587.748 | 2       |
| 710 | 1041958.406 | 973255.714 | 1598.475 | 1       |  | 744 | 1041878.928 | 973177.517 | 1579.138 | 3       |
| 711 | 1041905.968 | 973273.656 | 1591.402 | 2       |  | 745 | 1041888.656 | 973231.819 | 1587.263 | 3       |
| 712 | 1041886.388 | 973269.005 | 1591.257 | 1       |  | 746 | 1041954.309 | 973274.500 | 1597.697 | 1       |
| 713 | 1041905.745 | 973300.499 | 1593.301 | 1       |  | 747 | 1041906.164 | 973231.914 | 1588.160 | 2       |
| 714 | 1041879.486 | 973256.551 | 1589.174 | 1       |  | 748 | 1041947.978 | 973175.391 | 1590.137 | 1       |
| 749 | 1041945.890 | 973326.027 | 1594.334 | 3       |  | 783 | 1041946.416 | 973264.343 | 1597.660 | 2       |
| 750 | 1041891.128 | 973150.495 | 1580.695 | 2       |  | 784 | 1041899.358 | 973327.250 | 1594.253 | 1       |
| 751 | 1041883.736 | 973172.843 | 1578.330 | 2       |  | 785 | 1041902.715 | 973183.702 | 1583.742 | 3       |
| 752 | 1041904.307 | 973271.235 | 1590.409 | 3       |  | 786 | 1041900.487 | 973218.207 | 1586.432 | 3       |
| 753 | 1041919.745 | 973148.829 | 1580.965 | 3       |  | 787 | 1041903.617 | 973295.203 | 1592.185 | 2       |
| 754 | 1041926.608 | 973186.034 | 1584.082 | 3       |  | 788 | 1041905.884 | 973134.014 | 1580.135 | 1       |
| 755 | 1041950.432 | 973232.444 | 1596.189 | 3       |  | 789 | 1041947.959 | 973286.875 | 1597.760 | 3       |
| 756 | 1041899.786 | 973282.108 | 1591.238 | 1       |  | 790 | 1041902.147 | 973180.196 | 1583.490 | 3       |
| 757 | 1041931.103 | 973214.401 | 1586.517 | 2       |  | 791 | 1041901.364 | 973169.050 | 1582.475 | 2       |
| 758 | 1041909.791 | 973151.793 | 1581.374 | 1       |  | 792 | 1041910.190 | 973173.084 | 1583.906 | 3       |
| 759 | 1041930.270 | 973308.990 | 1592.973 | 3       |  | 793 | 1041902.862 | 973232.871 | 1587.874 | 3       |
| 760 | 1041950.030 | 973255.121 | 1598.635 | 2       |  | 794 | 1041915.261 | 973199.674 | 1586.050 | 1       |
| 761 | 1041901.907 | 973192.449 | 1584.464 | 3       |  | 795 | 1041952.685 | 973300.826 | 1596.734 | 3       |
| 762 | 1041926.305 | 973182.878 | 1584.390 | 2       |  | 796 | 1041927.989 | 973290.525 | 1592.918 | 2       |
| 763 | 1041903.024 | 973239.041 | 1588.208 | 3       |  | 797 | 1041954.226 | 973263.945 | 1597.730 | 1       |
| 764 | 1041876.506 | 973182.555 | 1578.295 | 3       |  | 798 | 1041923.921 | 973264.369 | 1590.847 | 3       |
| 765 | 1041917.455 | 973217.021 | 1587.481 | 1       |  | 799 | 1041884.268 | 973258.081 | 1589.468 | 1       |
| 766 | 1041885.390 | 973278.578 | 1593.063 | 3       |  | 800 | 1041922.369 | 973299.024 | 1593.327 | 2       |
| 767 | 1041911.216 | 973291.599 | 1592.956 | 2       |  | 801 | 1041881.777 | 973239.323 | 1587.845 | 3       |
| 768 | 1041883.130 | 973177.661 | 1578.998 | 2       |  | 802 | 1041889.724 | 973192.756 | 1585.131 | 3       |
| 769 | 1041907.406 | 973311.597 | 1593.998 | 1       |  | 803 | 1041887.276 | 973212.362 | 1585.790 | 1       |
| 770 | 1041874.501 | 973223.949 | 1585.749 | 3       |  | 804 | 1041882.521 | 973136.841 | 1575.717 | 1       |

| No. | Norte       | Este       | Cota     | Detalle |  | No. | Norte       | Este       | Cota     | Detalle |
|-----|-------------|------------|----------|---------|--|-----|-------------|------------|----------|---------|
| 771 | 1041929.229 | 973307.662 | 1593.255 | 3       |  | 805 | 1041943.465 | 973275.796 | 1592.143 | 3       |
| 772 | 1041875.462 | 973209.668 | 1583.954 | 3       |  | 806 | 1041960.381 | 973230.872 | 1597.565 | 3       |
| 773 | 1041883.873 | 973172.245 | 1577.629 | 3       |  | 807 | 1041927.179 | 973186.454 | 1584.396 | 2       |
| 774 | 1041902.693 | 973232.290 | 1587.644 | 1       |  | 808 | 1041890.707 | 973229.047 | 1587.030 | 2       |
| 775 | 1041890.675 | 973146.782 | 1580.566 | 2       |  | 809 | 1041922.608 | 973323.319 | 1593.557 | 2       |
| 776 | 1041946.491 | 973335.403 | 1594.767 | 2       |  | 810 | 1041909.600 | 973320.832 | 1593.420 | 2       |
| 777 | 1041961.326 | 973204.195 | 1598.372 | 1       |  | 811 | 1041928.507 | 973279.349 | 1591.102 | 3       |
| 778 | 1041917.091 | 973132.028 | 1579.741 | 2       |  | 812 | 1041873.405 | 973150.873 | 1575.404 | 1       |
| 779 | 1041953.500 | 973204.755 | 1592.828 | 1       |  | 813 | 1041944.952 | 973326.044 | 1594.488 | 1       |
| 780 | 1041889.458 | 973331.117 | 1594.792 | 1       |  | 814 | 1041864.421 | 973253.757 | 1588.442 | 3       |
| 781 | 1041916.431 | 973197.770 | 1585.238 | 1       |  | 815 | 1041930.808 | 973299.024 | 1592.475 | 3       |
| 782 | 1041920.335 | 973230.745 | 1587.793 | 2       |  | 816 | 1041906.003 | 973314.275 | 1593.208 | 1       |
| 817 | 1041938.514 | 973247.889 | 1589.679 | 2       |  | 851 | 1041966.885 | 973246.110 | 1598.145 | 3       |
| 818 | 1041921.340 | 973337.330 | 1594.646 | 3       |  | 852 | 1041912.499 | 973227.964 | 1588.050 | 3       |
| 819 | 1041961.086 | 973224.656 | 1597.526 | 2       |  | 853 | 1041877.306 | 973179.929 | 1578.295 | 1       |
| 820 | 1041901.077 | 973210.423 | 1585.796 | 2       |  | 854 | 1041901.968 | 973210.355 | 1585.917 | 2       |
| 821 | 1041908.965 | 973155.981 | 1582.511 | 2       |  | 855 | 1041957.522 | 973214.731 | 1597.004 | 3       |
| 822 | 1041958.638 | 973230.384 | 1596.880 | 1       |  | 856 | 1041904.982 | 973248.073 | 1589.505 | 3       |
| 823 | 1041922.652 | 973246.212 | 1589.225 | 3       |  | 857 | 1041879.643 | 973202.297 | 1582.938 | 1       |
| 824 | 1041952.962 | 973278.596 | 1597.536 | 3       |  | 858 | 1041909.825 | 973320.444 | 1593.654 | 2       |
| 825 | 1041925.100 | 973272.105 | 1591.367 | 3       |  | 859 | 1041868.866 | 973237.235 | 1587.884 | 1       |
| 826 | 1041963.429 | 973255.687 | 1599.208 | 2       |  | 860 | 1041879.099 | 973181.775 | 1579.725 | 1       |
| 827 | 1041905.370 | 973265.184 | 1590.738 | 3       |  | 861 | 1041887.845 | 973160.835 | 1580.811 | 3       |
| 828 | 1041883.206 | 973292.793 | 1596.407 | 3       |  | 862 | 1041953.638 | 973282.829 | 1597.506 | 3       |
| 829 | 1041906.101 | 973291.908 | 1592.846 | 1       |  | 863 | 1041917.829 | 973230.772 | 1588.450 | 2       |
| 830 | 1041871.441 | 973254.221 | 1588.313 | 2       |  | 864 | 1041948.862 | 973183.466 | 1590.905 | 2       |
| 831 | 1041875.673 | 973135.035 | 1574.772 | 3       |  | 865 | 1041945.594 | 973314.845 | 1593.839 | 2       |
| 832 | 1041887.038 | 973225.479 | 1587.139 | 2       |  | 866 | 1041902.754 | 973181.820 | 1583.416 | 2       |
| 833 | 1041954.637 | 973223.024 | 1595.209 | 2       |  | 867 | 1041883.902 | 973182.735 | 1579.662 | 1       |
| 834 | 1041938.601 | 973237.681 | 1589.119 | 2       |  | 868 | 1041903.601 | 973256.870 | 1589.306 | 2       |
| 835 | 1041942.575 | 973146.439 | 1587.342 | 1       |  | 869 | 1041909.261 | 973151.955 | 1581.394 | 3       |
| 836 | 1041942.399 | 973217.165 | 1587.847 | 2       |  | 870 | 1041929.720 | 973202.557 | 1585.473 | 3       |
| 837 | 1041901.488 | 973206.826 | 1585.459 | 3       |  | 871 | 1041949.775 | 973239.187 | 1596.895 | 3       |

| No. | Norte       | Este       | Cota     | Detalle |  | No. | Norte       | Este       | Cota     | Detalle |
|-----|-------------|------------|----------|---------|--|-----|-------------|------------|----------|---------|
| 838 | 1041901.697 | 973163.363 | 1582.026 | 3       |  | 872 | 1041933.015 | 973280.233 | 1591.547 | 3       |
| 839 | 1041904.892 | 973307.297 | 1592.744 | 2       |  | 873 | 1041918.944 | 973214.343 | 1586.634 | 1       |
| 840 | 1041947.562 | 973296.407 | 1597.599 | 3       |  | 874 | 1041918.242 | 973145.245 | 1581.070 | 1       |
| 841 | 1041931.982 | 973182.346 | 1587.265 | 3       |  | 875 | 1041930.501 | 973305.879 | 1592.821 | 2       |
| 842 | 1041941.381 | 973181.770 | 1590.416 | 3       |  | 876 | 1041948.576 | 973264.359 | 1597.718 | 3       |
| 843 | 1041856.585 | 973244.315 | 1588.481 | 2       |  | 877 | 1041904.103 | 973183.858 | 1583.646 | 2       |
| 844 | 1041924.439 | 973250.275 | 1589.184 | 2       |  | 878 | 1041891.683 | 973135.602 | 1579.583 | 1       |
| 845 | 1041910.923 | 973322.872 | 1593.583 | 1       |  | 879 | 1041902.035 | 973174.040 | 1583.009 | 3       |
| 846 | 1041937.143 | 973139.442 | 1586.353 | 1       |  | 880 | 1041923.515 | 973250.182 | 1589.457 | 2       |
| 847 | 1041924.574 | 973322.486 | 1593.580 | 1       |  | 881 | 1041916.377 | 973209.274 | 1586.856 | 1       |
| 848 | 1041961.101 | 973233.914 | 1597.574 | 3       |  | 882 | 1041884.425 | 973285.578 | 1594.658 | 2       |
| 849 | 1041918.751 | 973222.422 | 1587.583 | 3       |  | 883 | 1041904.540 | 973284.391 | 1591.566 | 1       |
| 850 | 1041910.730 | 973192.464 | 1585.401 | 3       |  | 884 | 1041882.547 | 973164.920 | 1577.587 | 1       |
| 885 | 1041912.013 | 973321.354 | 1594.361 | 1       |  | 919 | 1041884.724 | 973213.123 | 1583.236 | 3       |
| 886 | 1041872.692 | 973226.257 | 1585.929 | 2       |  | 920 | 1041890.847 | 973160.717 | 1581.891 | 2       |
| 887 | 1041925.736 | 973317.013 | 1594.177 | 2       |  | 921 | 1041942.833 | 973265.325 | 1592.299 | 3       |
| 888 | 1041877.817 | 973216.412 | 1584.653 | 2       |  | 922 | 1041936.156 | 973158.829 | 1586.742 | 1       |
| 889 | 1041890.848 | 973183.126 | 1583.747 | 3       |  | 923 | 1041928.793 | 973195.698 | 1585.148 | 1       |
| 890 | 1041902.554 | 973231.102 | 1587.552 | 2       |  | 924 | 1041902.349 | 973230.774 | 1587.323 | 3       |
| 891 | 1041889.763 | 973136.473 | 1580.154 | 3       |  | 925 | 1041920.350 | 973324.352 | 1593.590 | 3       |
| 892 | 1041946.512 | 973325.716 | 1594.449 | 1       |  | 926 | 1041908.368 | 973318.810 | 1593.326 | 3       |
| 893 | 1041853.989 | 973217.619 | 1587.608 | 2       |  | 927 | 1041930.180 | 973296.069 | 1592.250 | 2       |
| 894 | 1041919.038 | 973143.084 | 1580.699 | 3       |  | 928 | 1041876.110 | 973182.732 | 1577.018 | 1       |
| 895 | 1041951.330 | 973198.694 | 1592.180 | 2       |  | 929 | 1041944.584 | 973314.868 | 1594.049 | 2       |
| 896 | 1041927.058 | 973317.786 | 1593.340 | 3       |  | 930 | 1041862.575 | 973257.254 | 1588.630 | 3       |
| 897 | 1041927.798 | 973182.769 | 1583.782 | 2       |  | 931 | 1041930.607 | 973295.145 | 1592.234 | 1       |
| 898 | 1041938.581 | 973251.123 | 1589.705 | 1       |  | 932 | 1041899.532 | 973331.470 | 1594.553 | 3       |
| 899 | 1041978.519 | 973243.179 | 1598.517 | 1       |  | 933 | 1041940.127 | 973256.806 | 1590.430 | 2       |
| 900 | 1041899.554 | 973334.605 | 1594.745 | 1       |  | 934 | 1041916.531 | 973325.205 | 1593.744 | 3       |
| 901 | 1041904.714 | 973183.814 | 1583.759 | 1       |  | 935 | 1041968.357 | 973240.322 | 1598.040 | 3       |
| 902 | 1041923.063 | 973220.116 | 1587.089 | 2       |  | 936 | 1041891.508 | 973236.168 | 1587.574 | 1       |
| 903 | 1041890.425 | 973321.422 | 1594.137 | 1       |  | 937 | 1041901.797 | 973144.069 | 1580.719 | 2       |
| 904 | 1041904.945 | 973134.160 | 1580.865 | 1       |  | 938 | 1041959.316 | 973238.874 | 1597.398 | 3       |

| No. | Norte       | Este       | Cota     | Detalle |  | No.  | Norte       | Este       | Cota     | Detalle |
|-----|-------------|------------|----------|---------|--|------|-------------|------------|----------|---------|
| 905 | 1041863.611 | 973235.125 | 1587.970 | 2       |  | 939  | 1041921.135 | 973237.530 | 1588.561 | 1       |
| 906 | 1041913.331 | 973182.620 | 1584.820 | 2       |  | 940  | 1041953.304 | 973271.045 | 1597.609 | 1       |
| 907 | 1041892.234 | 973183.546 | 1583.429 | 2       |  | 941  | 1041925.929 | 973264.471 | 1590.299 | 3       |
| 908 | 1041906.380 | 973165.150 | 1583.085 | 2       |  | 942  | 1041955.706 | 973236.400 | 1596.993 | 2       |
| 909 | 1041919.229 | 973228.824 | 1588.140 | 3       |  | 943  | 1041904.513 | 973273.721 | 1590.722 | 2       |
| 910 | 1041914.232 | 973192.086 | 1585.558 | 1       |  | 944  | 1041875.518 | 973222.008 | 1585.599 | 2       |
| 911 | 1041949.669 | 973299.027 | 1596.800 | 3       |  | 945  | 1041872.017 | 973248.037 | 1588.117 | 3       |
| 912 | 1041918.082 | 973282.694 | 1592.331 | 1       |  | 946  | 1041875.370 | 973143.747 | 1575.910 | 1       |
| 913 | 1041952.947 | 973255.284 | 1598.323 | 2       |  | 947  | 1041888.918 | 973225.370 | 1587.455 | 1       |
| 914 | 1041912.458 | 973273.106 | 1591.492 | 2       |  | 948  | 1041954.955 | 973229.871 | 1596.354 | 1       |
| 915 | 1041887.093 | 973258.967 | 1589.577 | 1       |  | 949  | 1041938.599 | 973184.037 | 1587.236 | 2       |
| 916 | 1041911.509 | 973318.299 | 1594.486 | 2       |  | 950  | 1041942.380 | 973155.082 | 1588.118 | 3       |
| 917 | 1041887.619 | 973246.183 | 1588.458 | 2       |  | 951  | 1041942.567 | 973205.803 | 1587.451 | 1       |
| 918 | 1041887.611 | 973192.768 | 1583.845 | 2       |  | 952  | 1041891.270 | 973180.733 | 1583.072 | 2       |
| 953 | 1041901.291 | 973135.289 | 1579.733 | 2       |  | 987  | 1041927.961 | 973198.055 | 1585.196 | 1       |
| 954 | 1041904.307 | 973302.477 | 1592.488 | 3       |  | 988  | 1041906.880 | 973135.340 | 1579.995 | 1       |
| 955 | 1041947.877 | 973307.236 | 1597.279 | 2       |  | 989  | 1041930.694 | 973302.275 | 1592.622 | 1       |
| 956 | 1041931.974 | 973182.429 | 1587.278 | 2       |  | 990  | 1041947.771 | 973271.969 | 1597.915 | 3       |
| 957 | 1041943.672 | 973191.182 | 1591.555 | 2       |  | 991  | 1041902.155 | 973188.156 | 1584.157 | 3       |
| 958 | 1041961.448 | 973223.388 | 1597.630 | 2       |  | 992  | 1041900.901 | 973135.482 | 1579.832 | 3       |
| 959 | 1041937.303 | 973248.356 | 1589.572 | 3       |  | 993  | 1041903.254 | 973173.928 | 1583.701 | 1       |
| 960 | 1041915.483 | 973185.624 | 1584.234 | 1       |  | 994  | 1041903.395 | 973248.459 | 1588.853 | 1       |
| 961 | 1041926.170 | 973320.490 | 1593.489 | 3       |  | 995  | 1041918.259 | 973216.952 | 1586.935 | 1       |
| 962 | 1041964.121 | 973242.158 | 1597.808 | 3       |  | 996  | 1041953.046 | 973317.046 | 1595.837 | 2       |
| 963 | 1041902.043 | 973221.717 | 1586.820 | 1       |  | 997  | 1041917.556 | 973291.522 | 1592.855 | 3       |
| 964 | 1041903.228 | 973200.152 | 1585.736 | 1       |  | 998  | 1041878.794 | 973164.585 | 1577.946 | 1       |
| 965 | 1041925.996 | 973181.207 | 1584.333 | 1       |  | 999  | 1041914.132 | 973310.063 | 1594.149 | 2       |
| 966 | 1041909.984 | 973238.767 | 1588.882 | 2       |  | 1000 | 1041864.045 | 973219.305 | 1585.151 | 1       |
| 967 | 1041877.417 | 973179.799 | 1578.294 | 3       |  | 1001 | 1041929.756 | 973298.815 | 1592.680 | 3       |
| 968 | 1041909.294 | 973218.074 | 1587.203 | 3       |  | 1002 | 1041875.352 | 973216.209 | 1584.717 | 2       |
| 969 | 1041960.449 | 973250.204 | 1598.118 | 3       |  | 1003 | 1041890.022 | 973183.389 | 1584.390 | 2       |
| 970 | 1041911.434 | 973256.383 | 1590.187 | 1       |  | 1004 | 1041887.403 | 973202.678 | 1584.866 | 3       |
| 971 | 1041883.700 | 973202.654 | 1582.649 | 2       |  | 1005 | 1041889.852 | 973147.041 | 1580.968 | 2       |

| No.  | Norte       | Este       | Cota     | Detalle |  | No.  | Norte       | Este       | Cota     | Detalle |
|------|-------------|------------|----------|---------|--|------|-------------|------------|----------|---------|
| 972  | 1041915.624 | 973324.376 | 1593.813 | 1       |  | 1006 | 1041946.346 | 973316.131 | 1594.253 | 3       |
| 973  | 1041874.317 | 973231.245 | 1587.717 | 2       |  | 1007 | 1041962.317 | 973231.772 | 1597.601 | 2       |
| 974  | 1041879.260 | 973189.776 | 1581.237 | 2       |  | 1008 | 1041921.209 | 973155.274 | 1581.680 | 1       |
| 975  | 1041883.478 | 973161.583 | 1577.552 | 1       |  | 1009 | 1041951.490 | 973195.958 | 1591.955 | 3       |
| 976  | 1041953.370 | 973290.037 | 1597.264 | 1       |  | 1010 | 1041889.568 | 973317.225 | 1593.667 | 2       |
| 977  | 1041917.586 | 973229.642 | 1588.427 | 1       |  | 1011 | 1041918.365 | 973213.696 | 1586.536 | 3       |
| 978  | 1041950.431 | 973232.474 | 1596.180 | 2       |  | 1012 | 1041922.650 | 973243.262 | 1588.684 | 3       |
| 979  | 1041945.108 | 973302.527 | 1593.294 | 3       |  | 1013 | 1041874.081 | 973222.408 | 1585.599 | 2       |
| 980  | 1041890.893 | 973135.975 | 1579.503 | 2       |  | 1014 | 1041935.299 | 973311.227 | 1593.406 | 3       |
| 981  | 1041884.166 | 973192.747 | 1581.112 | 1       |  | 1015 | 1041904.824 | 973181.852 | 1583.759 | 2       |
| 982  | 1041929.874 | 973308.316 | 1592.894 | 2       |  | 1016 | 1041900.387 | 973232.030 | 1587.492 | 3       |
| 983  | 1041913.246 | 973173.623 | 1583.171 | 3       |  | 1017 | 1041903.648 | 973300.099 | 1592.451 | 2       |
| 984  | 1041919.939 | 973226.686 | 1587.540 | 2       |  | 1018 | 1041903.209 | 973134.423 | 1580.714 | 1       |
| 985  | 1041952.464 | 973240.509 | 1597.289 | 1       |  | 1019 | 1041858.937 | 973245.249 | 1588.154 | 1       |
| 986  | 1041899.622 | 973297.298 | 1592.311 | 3       |  | 1020 | 1041903.195 | 973179.867 | 1584.103 | 2       |
| 1021 | 1041901.425 | 973180.245 | 1583.385 | 1       |  | 1055 | 1041918.815 | 973272.803 | 1591.455 | 3       |
| 1022 | 1041912.002 | 973172.653 | 1583.965 | 3       |  | 1056 | 1041964.037 | 973253.264 | 1599.105 | 2       |
| 1023 | 1041960.592 | 973211.546 | 1597.259 | 2       |  | 1057 | 1041904.422 | 973265.274 | 1590.129 | 1       |
| 1024 | 1041917.696 | 973246.865 | 1589.722 | 2       |  | 1058 | 1041884.067 | 973228.013 | 1586.398 | 3       |
| 1025 | 1041952.624 | 973293.136 | 1597.050 | 2       |  | 1059 | 1041925.090 | 973320.617 | 1593.616 | 1       |
| 1026 | 1041929.264 | 973290.371 | 1592.065 | 3       |  | 1060 | 1041864.990 | 973254.655 | 1588.420 | 1       |
| 1027 | 1041955.753 | 973258.400 | 1598.324 | 2       |  | 1061 | 1041876.433 | 973150.073 | 1576.815 | 3       |
| 1028 | 1041916.911 | 973264.948 | 1590.838 | 1       |  | 1062 | 1041889.584 | 973226.409 | 1587.013 | 2       |
| 1029 | 1041883.777 | 973266.504 | 1590.886 | 2       |  | 1063 | 1041961.396 | 973255.988 | 1598.858 | 3       |
| 1030 | 1041915.610 | 973299.471 | 1593.387 | 3       |  | 1064 | 1041937.464 | 973174.249 | 1587.117 | 3       |
| 1031 | 1041881.275 | 973245.813 | 1588.354 | 1       |  | 1065 | 1041942.624 | 973163.035 | 1588.792 | 2       |
| 1032 | 1041884.385 | 973192.908 | 1580.466 | 3       |  | 1066 | 1041948.074 | 973178.991 | 1590.128 | 1       |
| 1033 | 1041884.813 | 973221.273 | 1585.323 | 3       |  | 1067 | 1041901.753 | 973188.241 | 1584.012 | 2       |
| 1034 | 1041889.977 | 973160.695 | 1582.125 | 3       |  | 1068 | 1041881.247 | 973135.172 | 1574.635 | 2       |
| 1035 | 1041943.509 | 973256.743 | 1591.103 | 1       |  | 1069 | 1041904.088 | 973300.117 | 1592.357 | 2       |
| 1036 | 1041937.100 | 973148.432 | 1586.590 | 1       |  | 1070 | 1041947.804 | 973316.124 | 1596.652 | 1       |
| 1037 | 1041930.501 | 973204.811 | 1585.852 | 1       |  | 1071 | 1041932.588 | 973193.050 | 1587.010 | 3       |
| 1038 | 1041890.873 | 973213.503 | 1585.710 | 1       |  | 1072 | 1041946.034 | 973199.892 | 1592.422 | 1       |

| No.  | Norte       | Este       | Cota     | Detalle |  | No.  | Norte       | Este       | Cota     | Detalle |
|------|-------------|------------|----------|---------|--|------|-------------|------------|----------|---------|
| 1039 | 1041890.029 | 973279.916 | 1590.700 | 3       |  | 1090 | 1041879.225 | 973198.711 | 1582.544 | 3       |
| 1040 | 1041907.364 | 973316.594 | 1593.232 | 1       |  | 1091 | 1041890.663 | 973171.051 | 1582.797 | 2       |
| 1041 | 1041930.320 | 973299.467 | 1592.466 | 1       |  | 1092 | 1041953.515 | 973297.717 | 1597.006 | 3       |
| 1042 | 1041927.883 | 973132.768 | 1586.102 | 2       |  | 1093 | 1041919.942 | 973229.415 | 1587.942 | 1       |
| 1043 | 1041934.916 | 973221.503 | 1587.853 | 2       |  | 1094 | 1041950.725 | 973192.761 | 1591.773 | 2       |
| 1044 | 1041861.279 | 973233.887 | 1587.959 | 2       |  | 1095 | 1041963.388 | 973256.329 | 1599.329 | 3       |
| 1045 | 1041930.023 | 973288.768 | 1591.824 | 1       |  | 1096 | 1041901.838 | 973180.130 | 1583.330 | 2       |
| 1046 | 1041907.506 | 973317.969 | 1593.384 | 3       |  | 1097 | 1041884.423 | 973203.292 | 1582.615 | 3       |
| 1047 | 1041941.409 | 973265.126 | 1591.019 | 2       |  | 1098 | 1041929.462 | 973310.863 | 1593.053 | 1       |
| 1048 | 1041927.999 | 973335.081 | 1594.545 | 3       |  | 1099 | 1041923.032 | 973166.714 | 1582.480 | 2       |
| 1049 | 1041962.458 | 973228.090 | 1597.545 | 1       |  | 1100 | 1041932.525 | 973217.776 | 1586.734 | 3       |
| 1050 | 1041901.617 | 973226.804 | 1587.110 | 1       |  | 1101 | 1041952.334 | 973244.310 | 1596.622 | 3       |
| 1051 | 1041906.235 | 973156.225 | 1582.345 | 2       |  | 1102 | 1041934.001 | 973290.360 | 1592.198 | 3       |
| 1052 | 1041988.011 | 973253.310 | 1599.384 | 2       |  | 1103 | 1041917.197 | 973200.108 | 1585.479 | 3       |
| 1053 | 1041919.711 | 973227.760 | 1587.836 | 1       |  | 1104 | 1041916.126 | 973133.028 | 1579.680 | 1       |
| 1054 | 1041950.542 | 973267.270 | 1597.639 | 2       |  | 1105 | 1041890.952 | 973279.898 | 1590.854 | 1       |
| 1073 | 1041972.063 | 973246.202 | 1598.294 | 2       |  | 1106 | 1041906.625 | 973143.482 | 1581.663 | 2       |
| 1074 | 1041921.777 | 973236.058 | 1588.220 | 1       |  | 1107 | 1041948.431 | 973306.386 | 1597.386 | 3       |
| 1075 | 1041914.743 | 973179.682 | 1583.725 | 2       |  | 1108 | 1041906.012 | 973183.787 | 1584.413 | 2       |
| 1076 | 1041927.599 | 973317.780 | 1593.380 | 3       |  | 1109 | 1041891.912 | 973152.314 | 1580.915 | 1       |
| 1077 | 1041873.164 | 973150.735 | 1576.363 | 2       |  | 1110 | 1041911.468 | 973165.186 | 1582.674 | 3       |
| 1078 | 1041918.041 | 973213.576 | 1586.696 | 2       |  | 1111 | 1041922.344 | 973242.590 | 1588.876 | 1       |
| 1079 | 1041906.300 | 973192.535 | 1585.204 | 2       |  | 1112 | 1041917.506 | 973209.158 | 1586.306 | 3       |
| 1080 | 1041926.180 | 973181.509 | 1584.348 | 3       |  | 1113 | 1041950.330 | 973316.403 | 1595.711 | 2       |
| 1081 | 1041907.952 | 973227.752 | 1587.934 | 1       |  | 1114 | 1041905.962 | 973284.286 | 1592.259 | 3       |
| 1082 | 1041877.125 | 973181.289 | 1578.313 | 1       |  | 1115 | 1041878.166 | 973150.240 | 1576.778 | 3       |
| 1083 | 1041903.055 | 973210.304 | 1586.454 | 3       |  | 1116 | 1041915.261 | 973323.023 | 1594.520 | 1       |
| 1084 | 1041963.625 | 973249.031 | 1598.037 | 1       |  | 1117 | 1041867.084 | 973218.193 | 1585.136 | 2       |
| 1085 | 1041912.018 | 973247.741 | 1589.594 | 3       |  | 1118 | 1041921.199 | 973317.567 | 1594.398 | 3       |
| 1086 | 1041883.505 | 973191.225 | 1580.910 | 2       |  | 1119 | 1041877.772 | 973222.539 | 1585.444 | 2       |
| 1087 | 1041907.740 | 973316.499 | 1593.456 | 1       |  | 1120 | 1041844.396 | 973238.398 | 1588.600 | 1       |
| 1088 | 1041880.492 | 973135.188 | 1574.736 | 2       |  |      |             |            |          |         |
| 1089 | 1041923.121 | 973320.768 | 1594.280 | 3       |  |      |             |            |          |         |

- 2. Plano de levantamiento topográfico**
- 3. CD con Tabla Periodos y frecuencias para 10 modos de vibración (completa)**
- 4. CD con tabla de cálculos de elementos en guadua según NSR10 (Completo)**